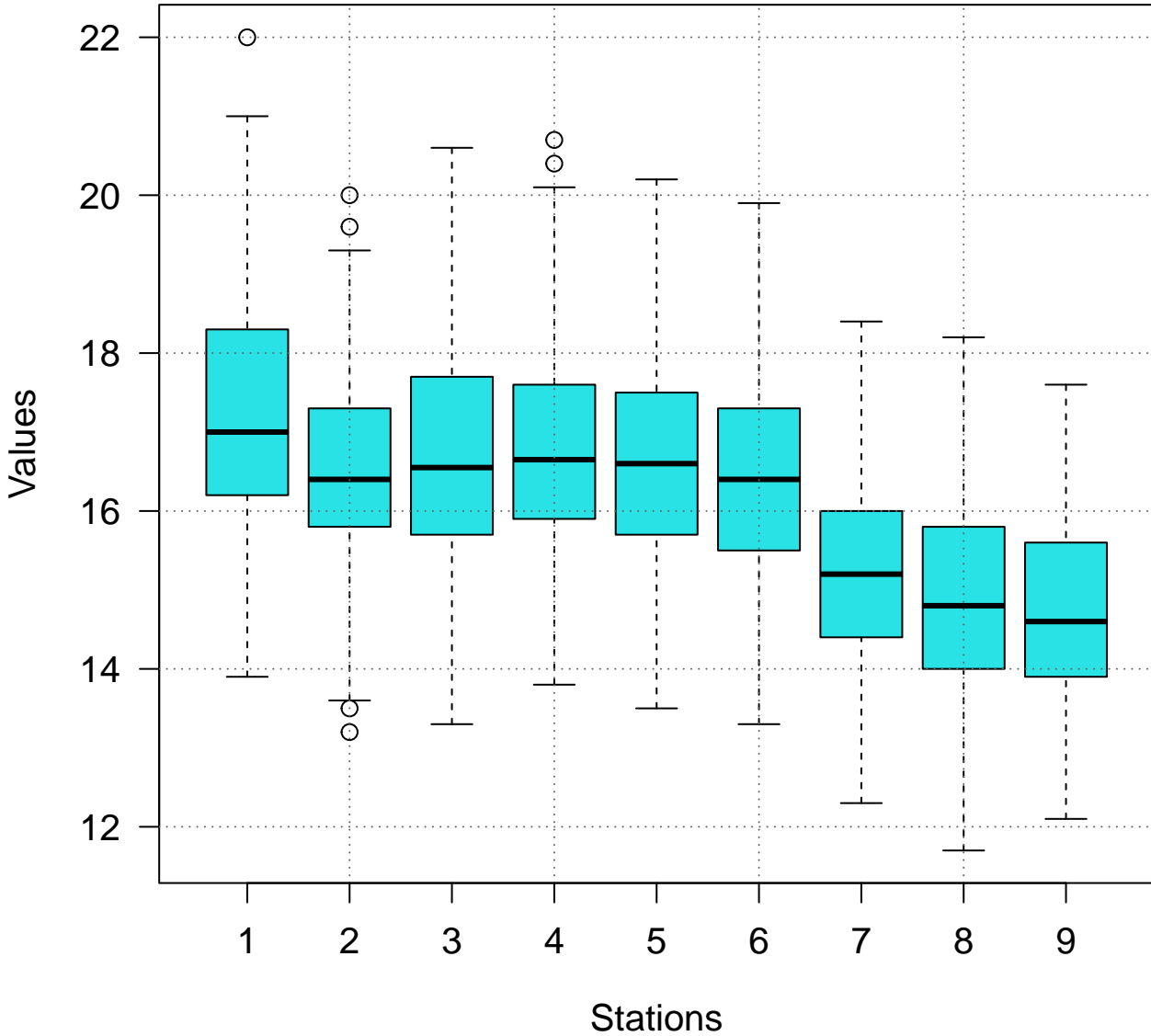


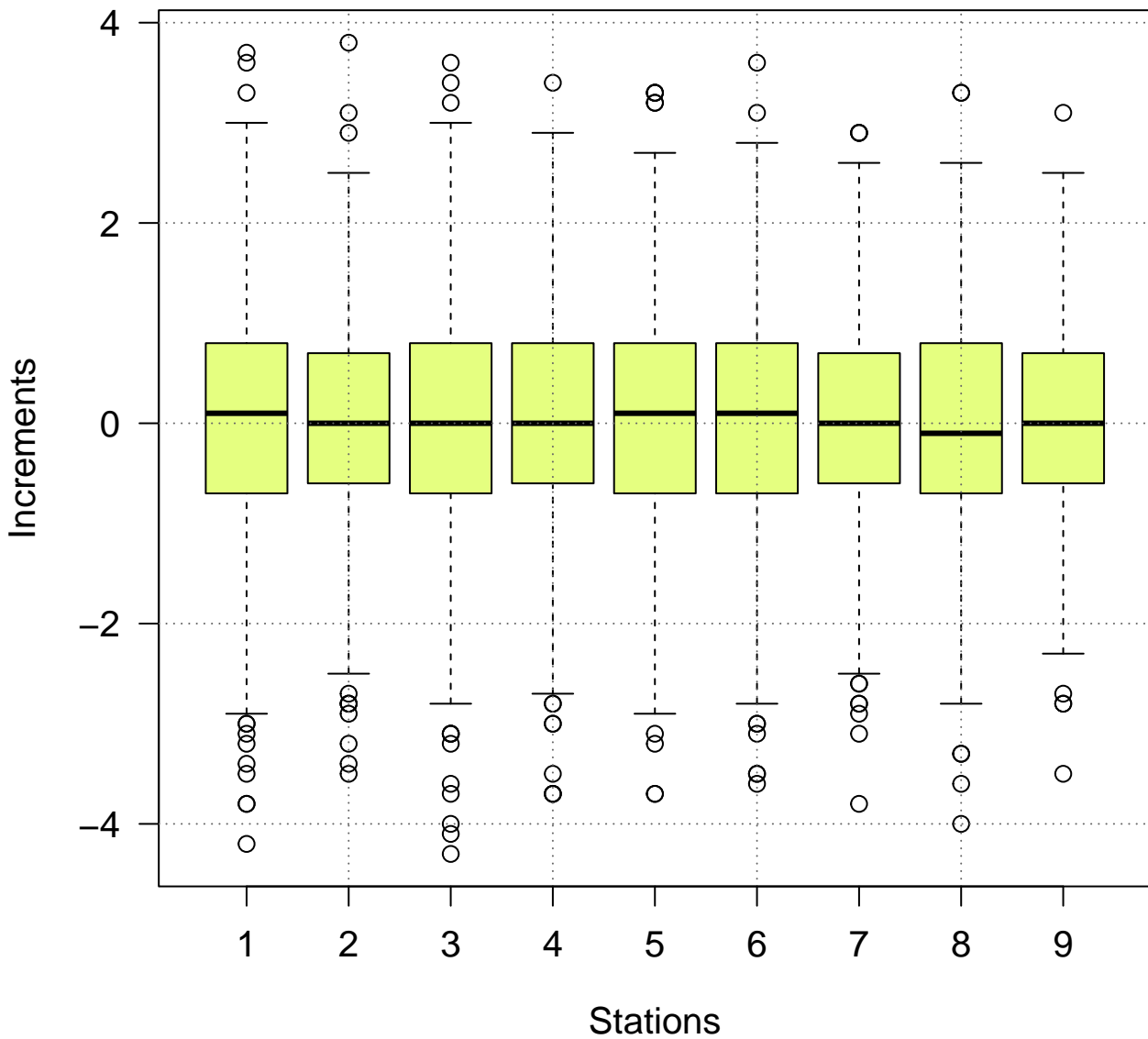
CLIMATOL 4.0.0

Homogenization
graphic output of
tmax-m
1965–2019

tmax-m data



tmax-m data increments

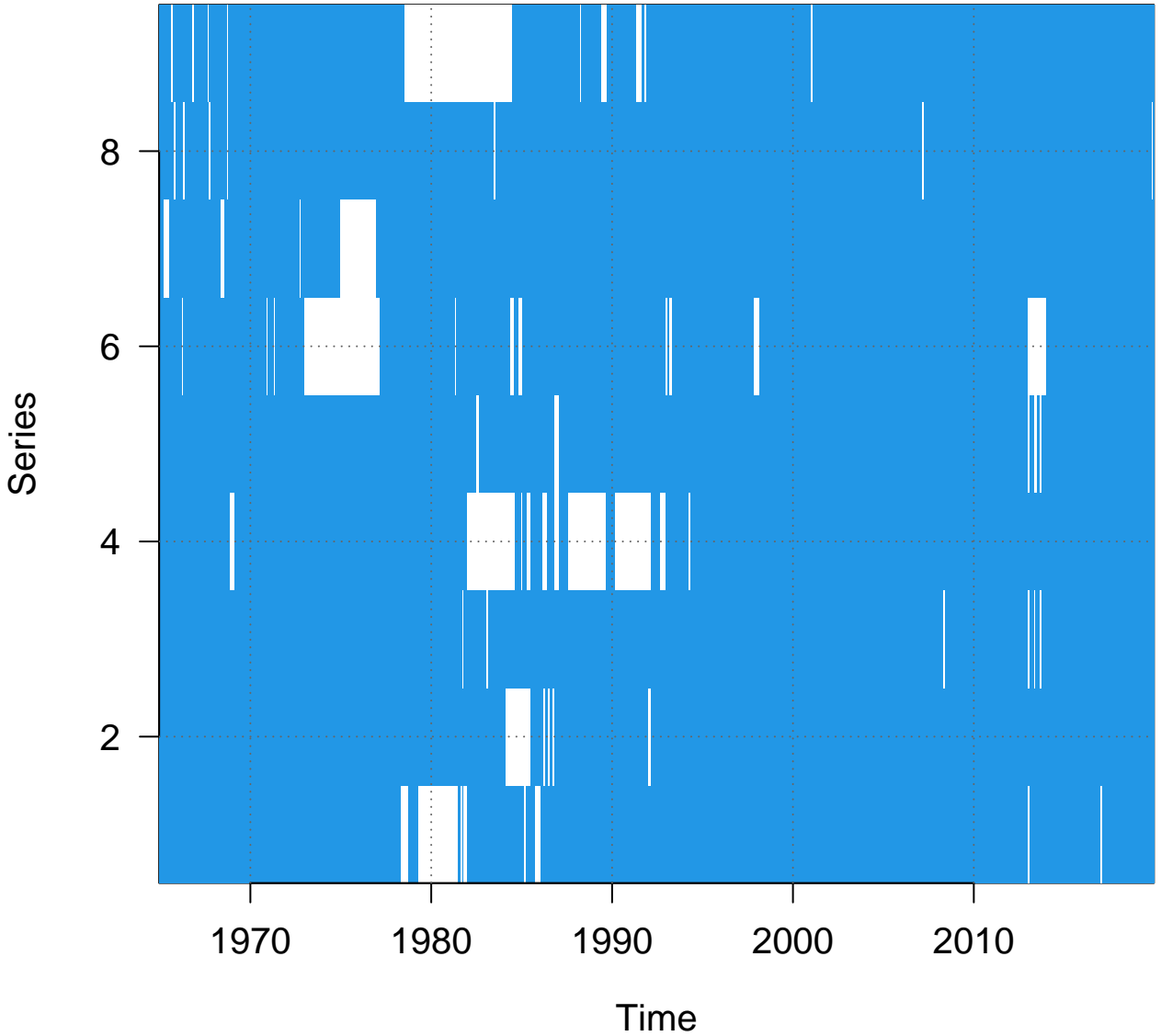


A 4x4 grid of blue dots on a white background. The dots are arranged in four rows and four columns, forming a square pattern. A dotted grid is visible in the background, with lines intersecting at the positions of the dots. The dots are located at the intersections of the first four vertical and horizontal dotted lines.

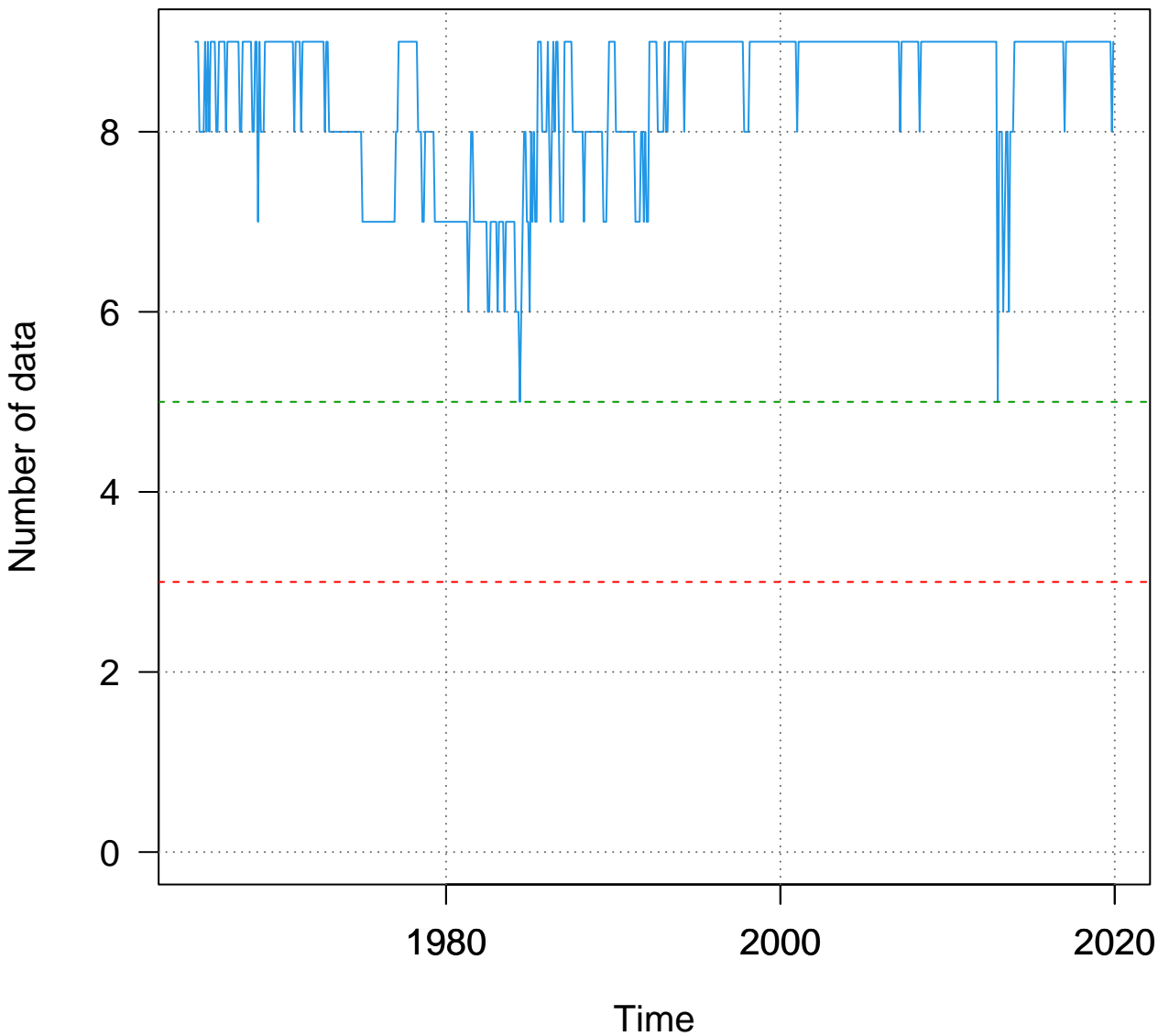
8

Stations

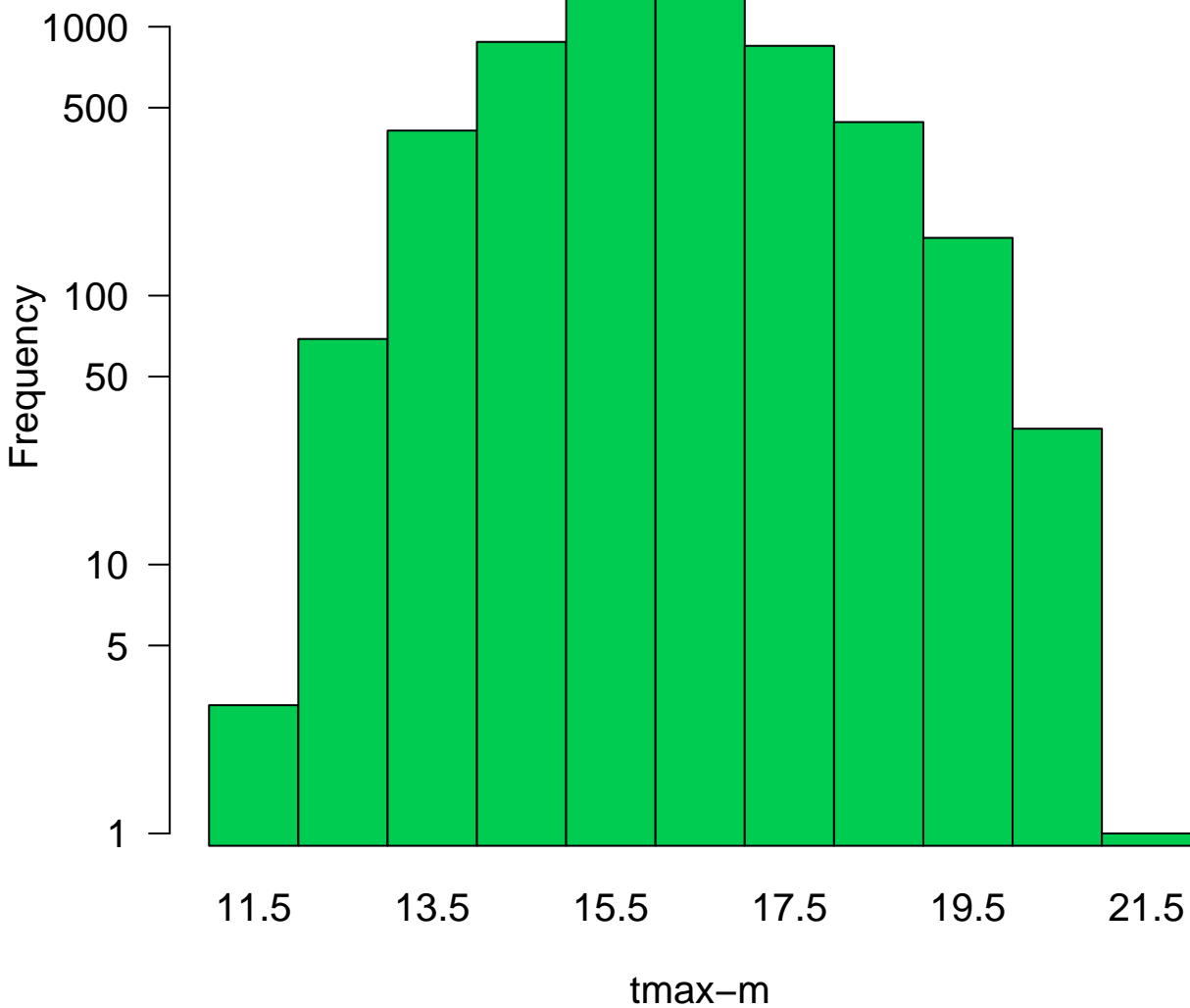
tmax-m data availability



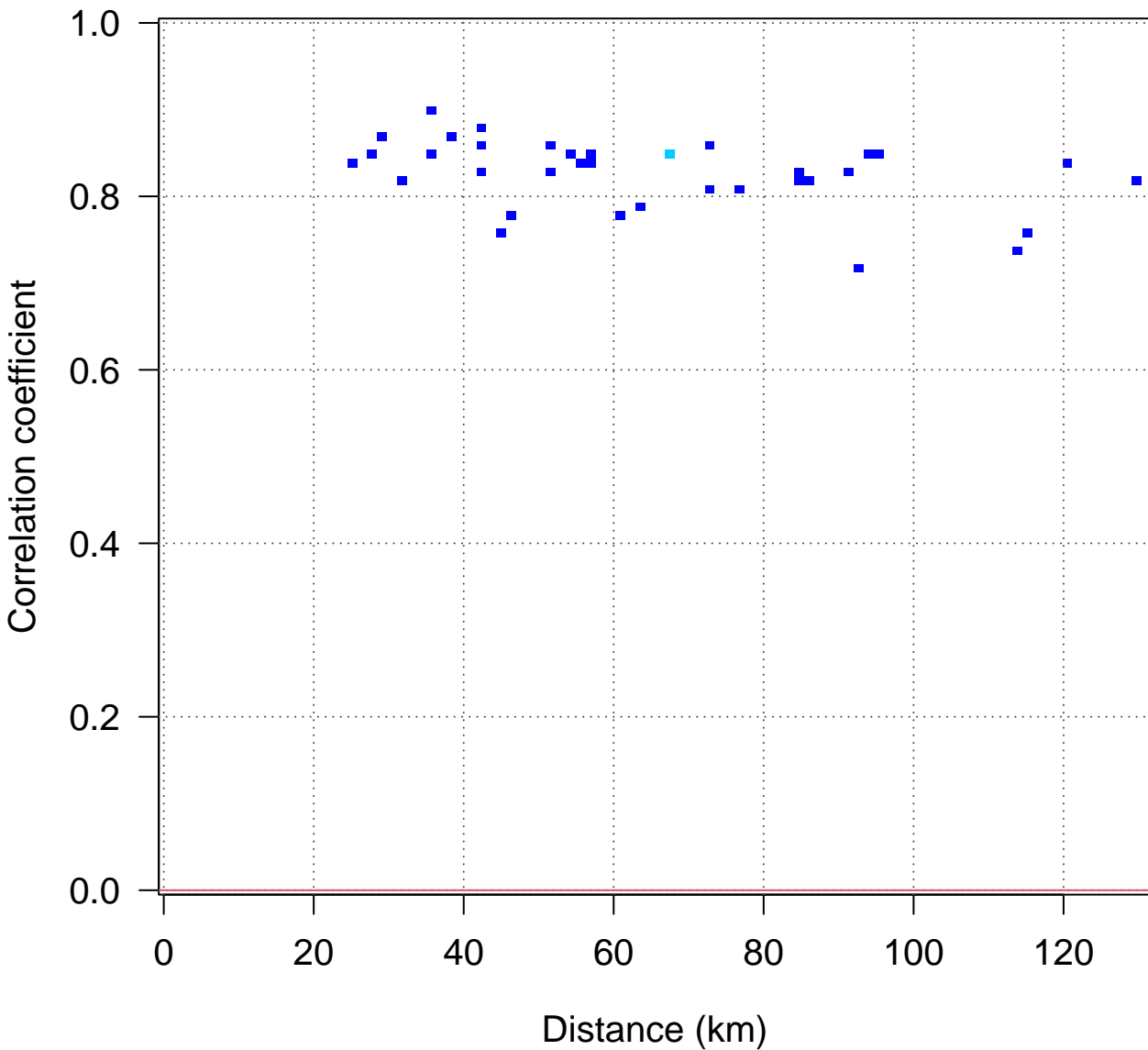
Number of tmax-m data in all stations



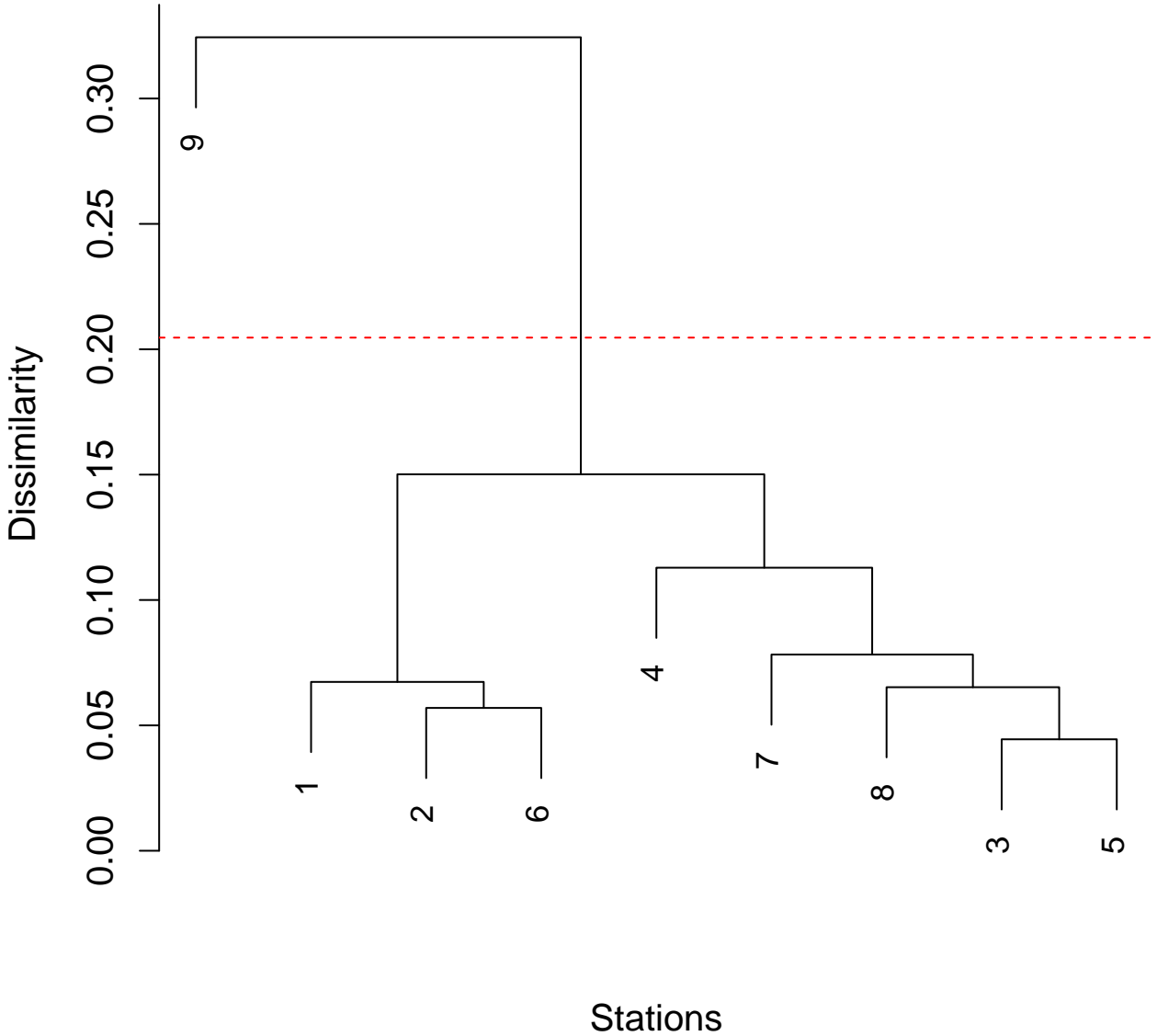
Histogram of all data



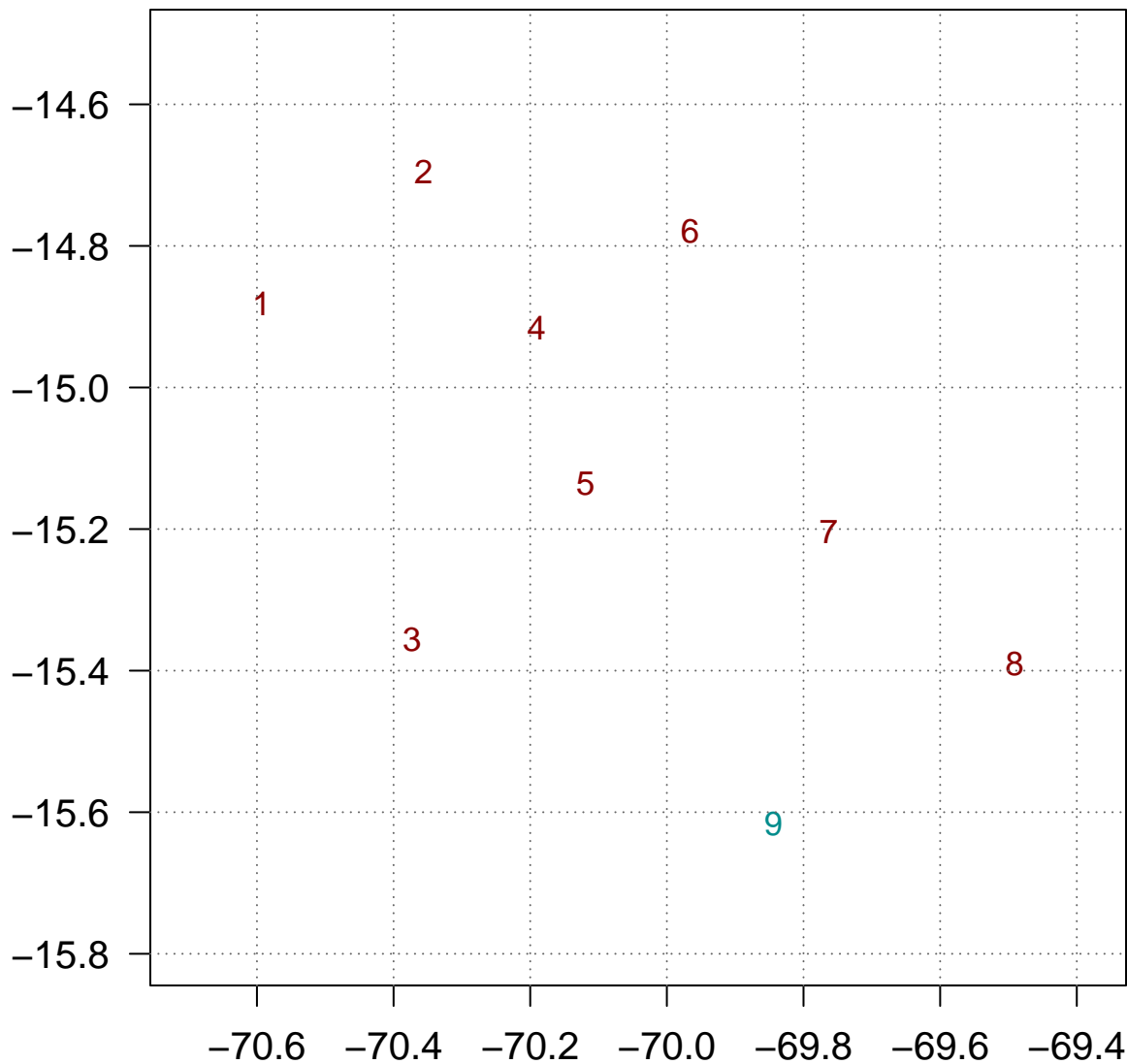
Correlogram of first difference tmax-m series



Dendrogram of station clusters



tmax-m station locations (2 clusters)

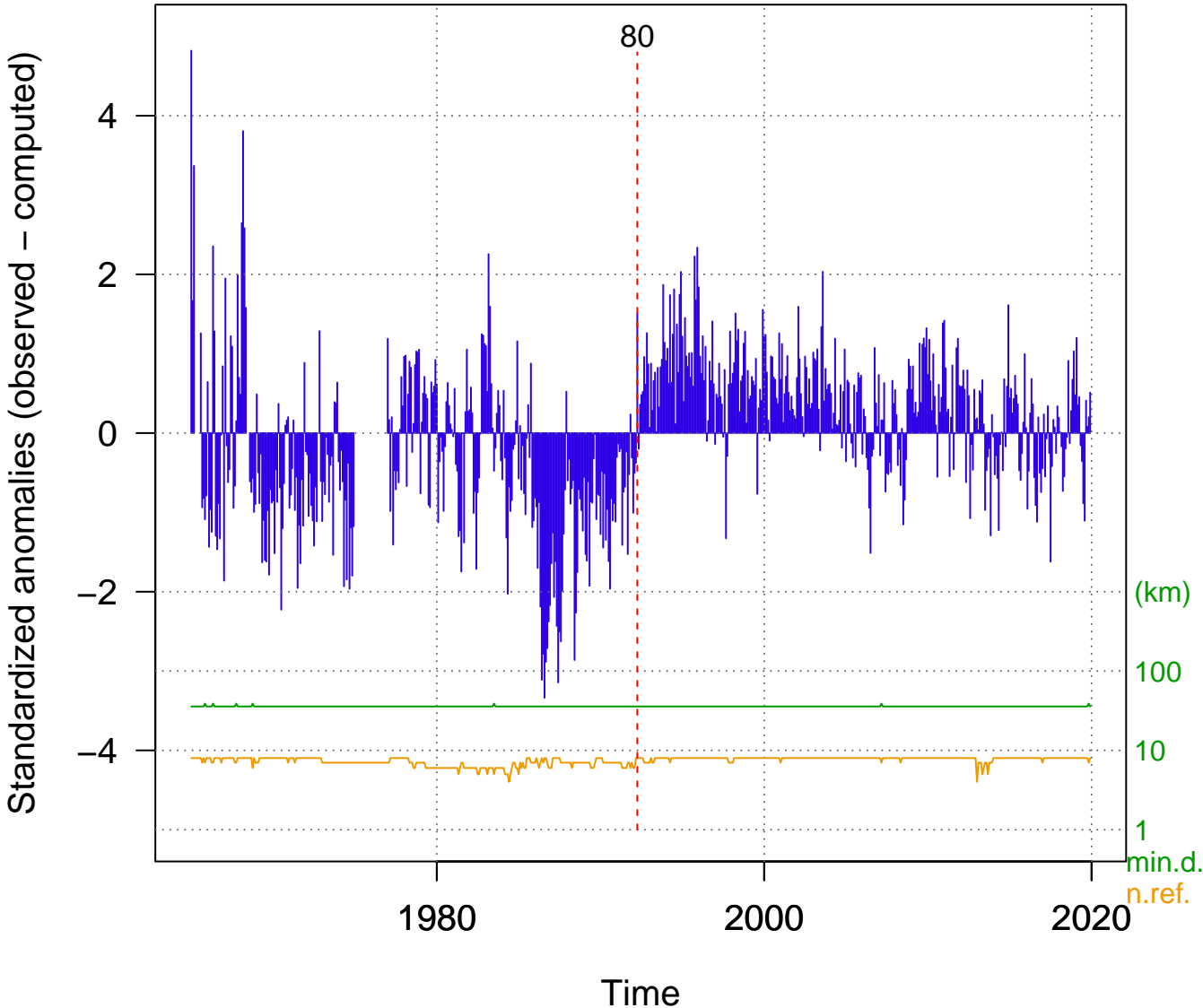


Stage 1

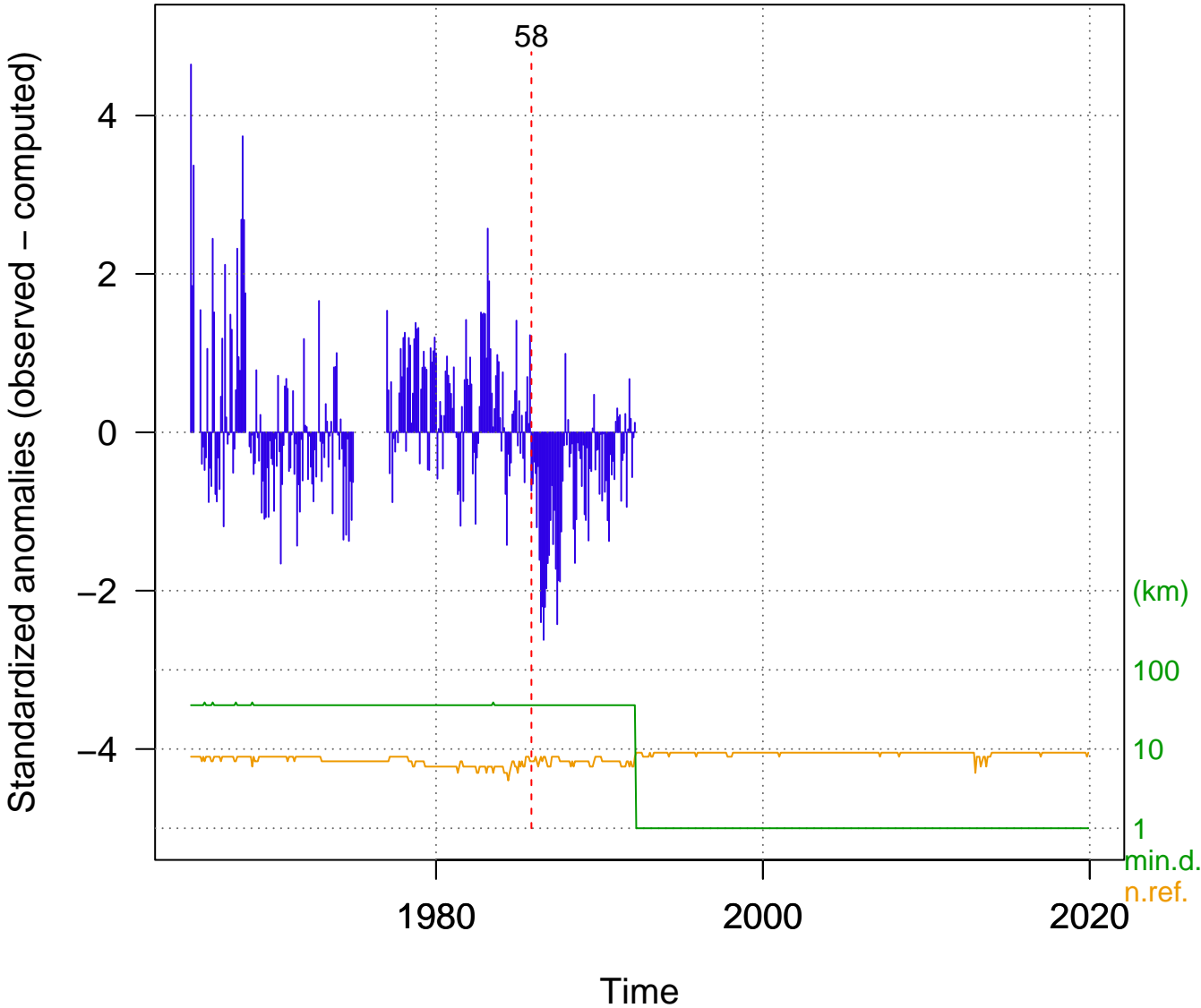
Binary splits on 60 term
stepped windows with
std=3, SNHT>25
and wd=0 km

tmax-m 7 (ho00000786)

HUANCANE

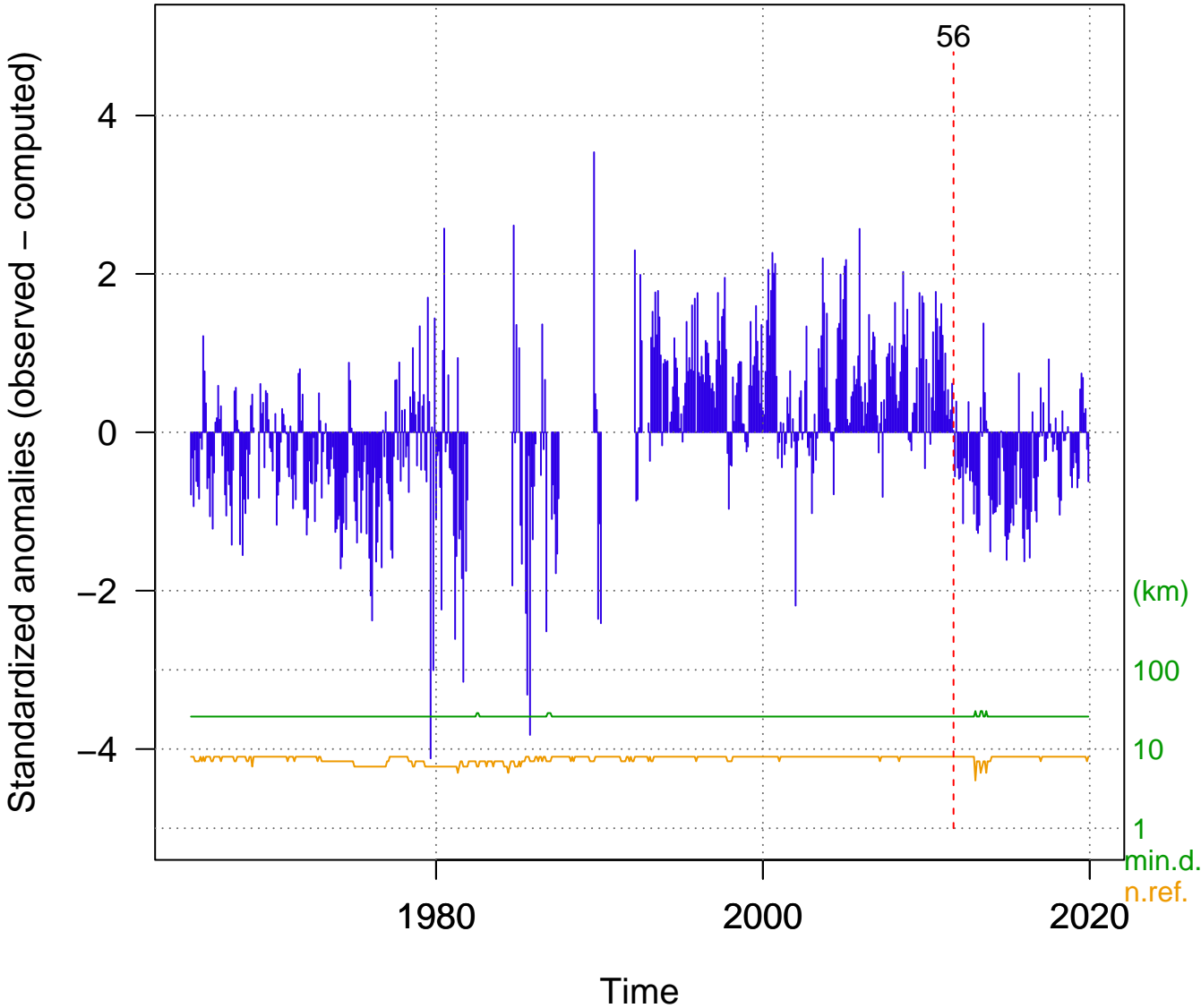


tmax-m 10 (ho00000786-2)
HUANCANE-2



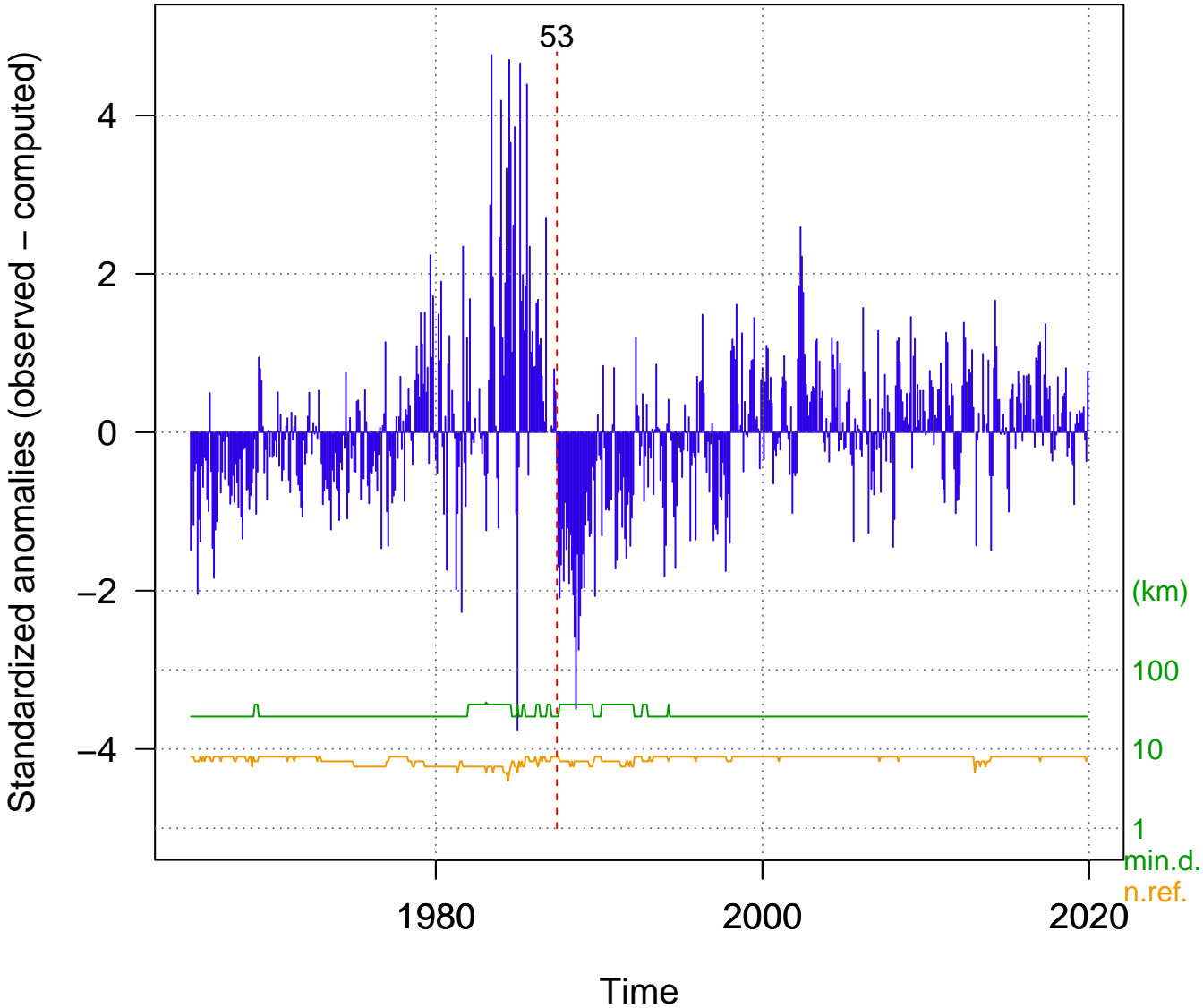
tmax-m 4 (ho00000781)

AZANGARO



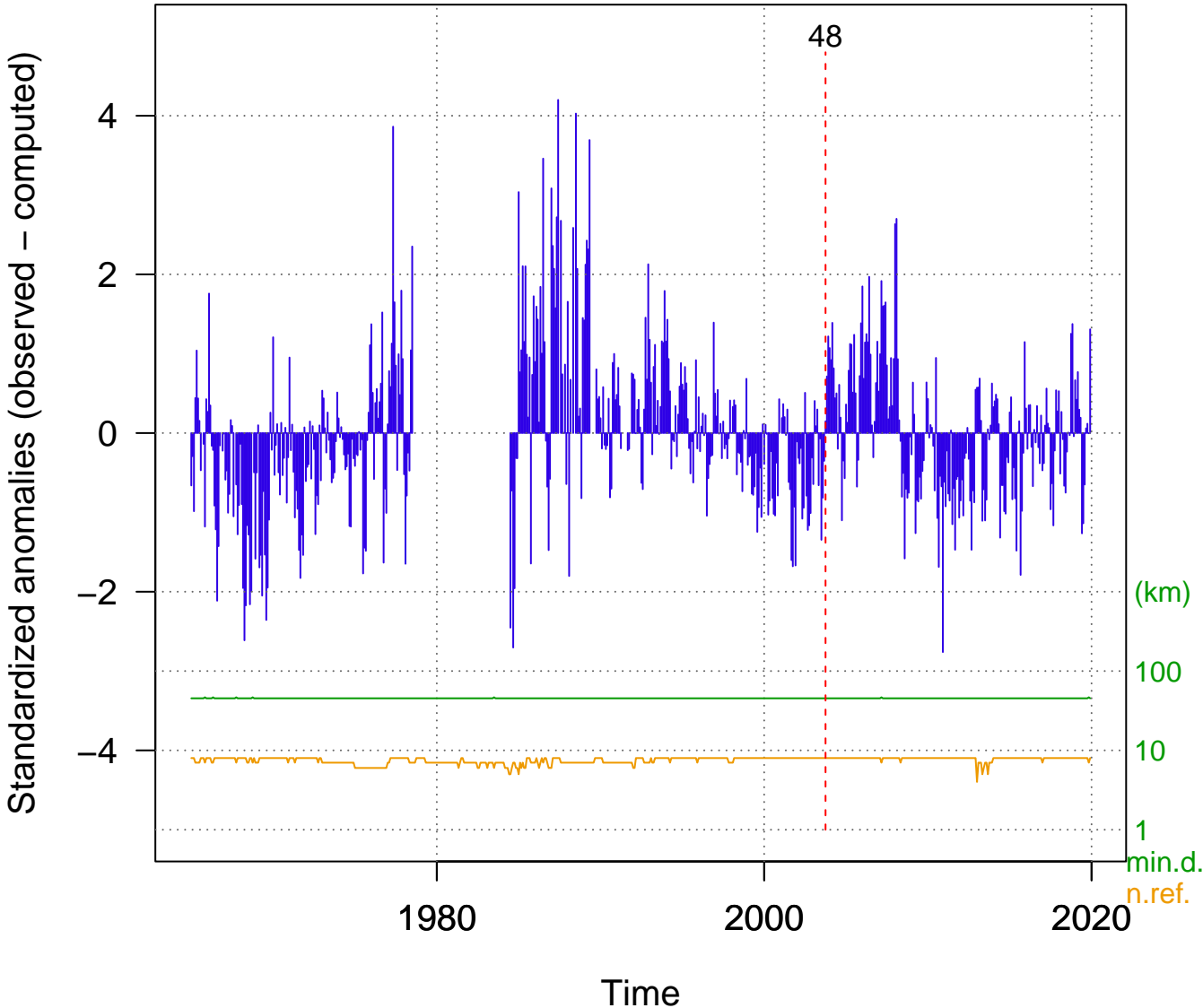
tmax-m 5 (ho00000783)

ARAPA



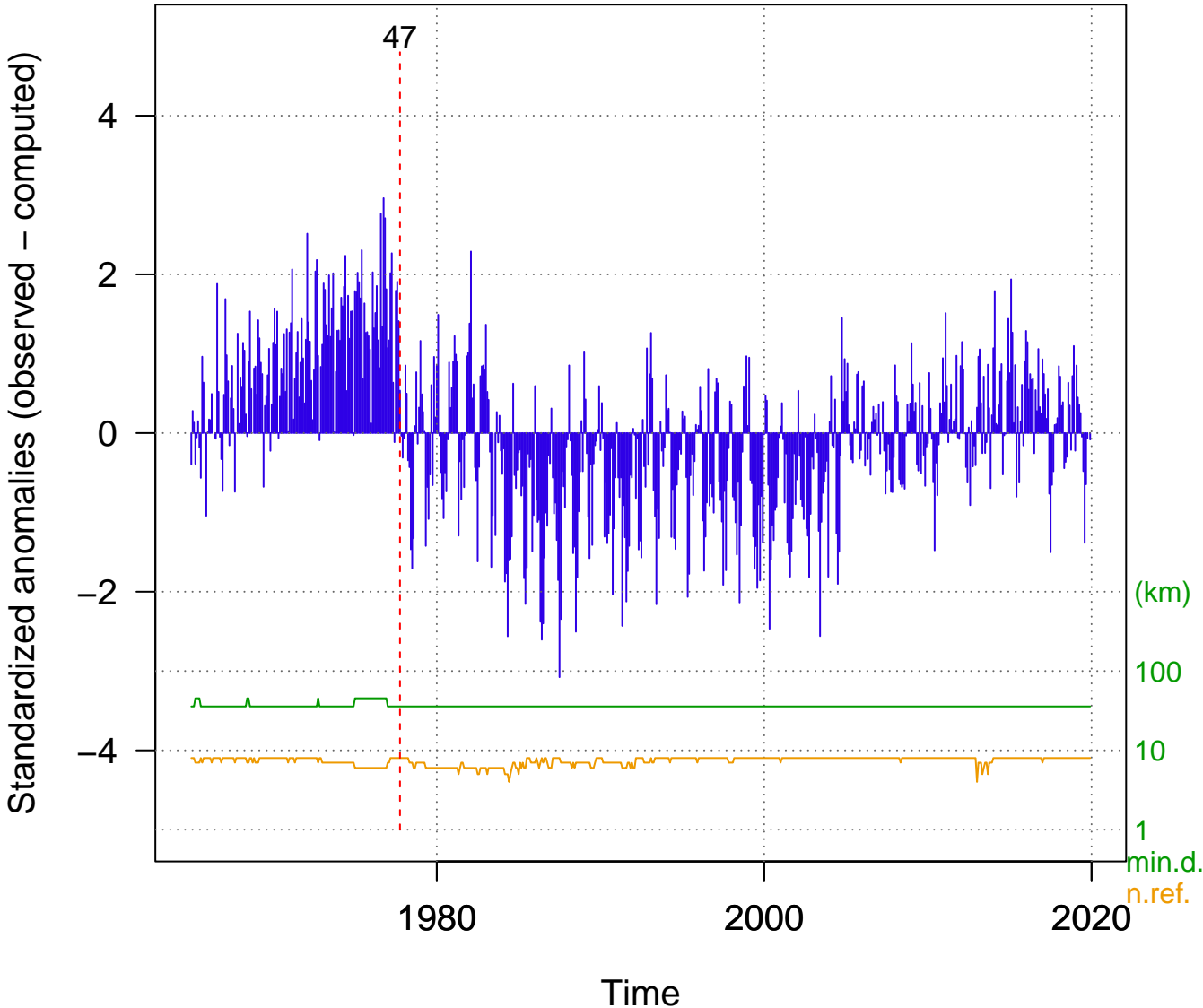
tmax-m 9 (ho00000788)

CAPACHICA



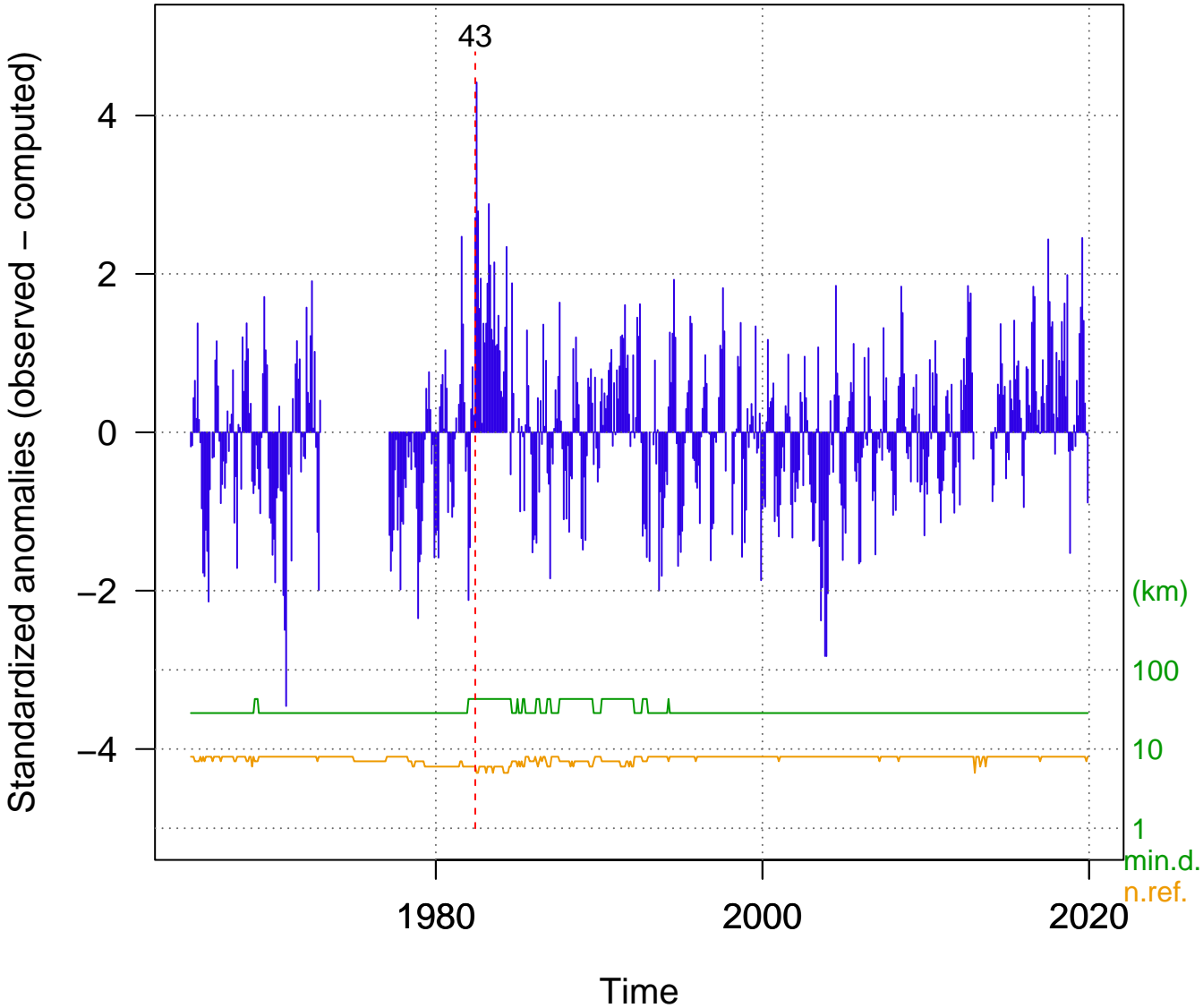
tmax-m 8 (ho00000787)

HUARAYAMOHO



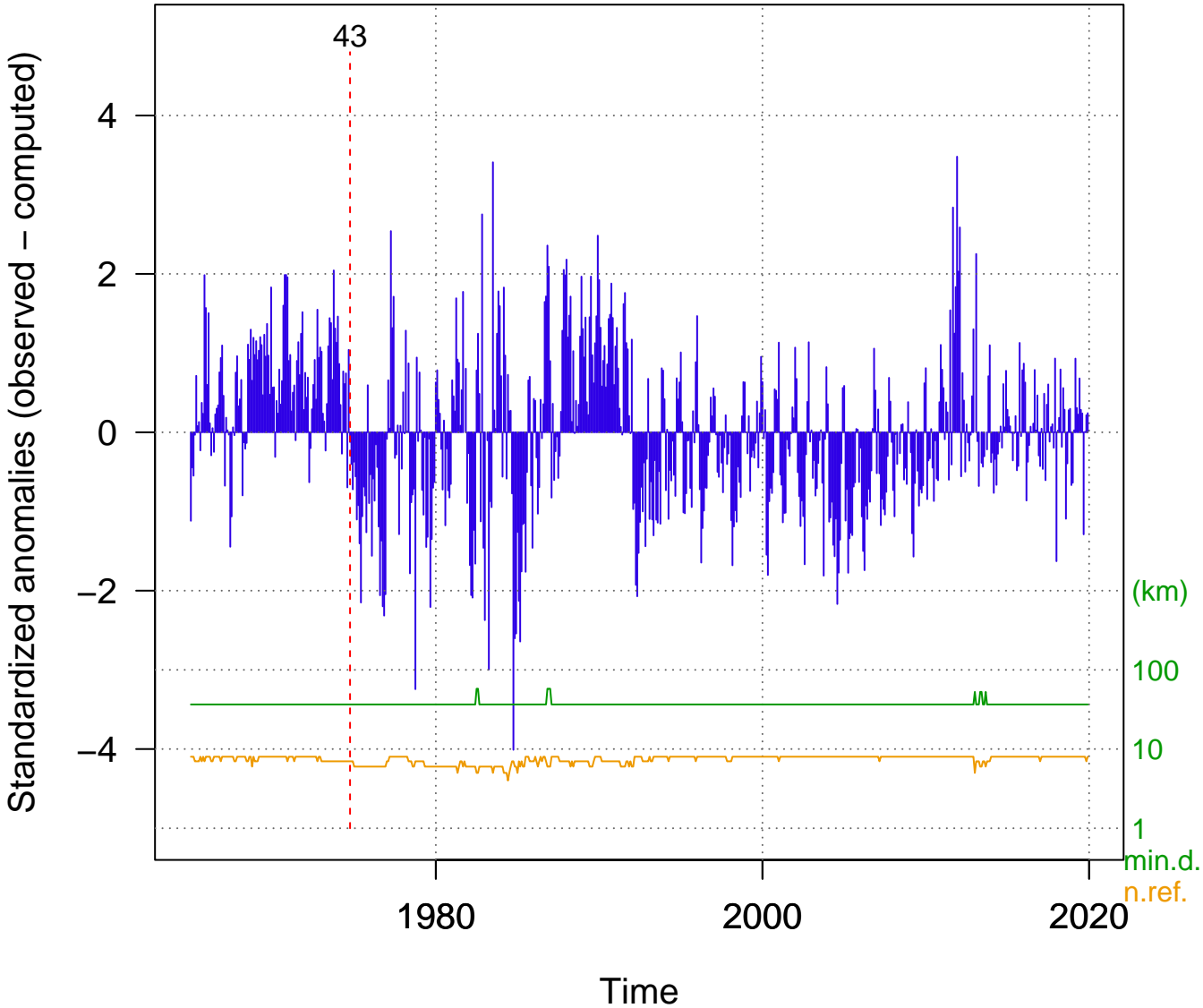
tmax-m 6 (ho00000785)

MUNANI



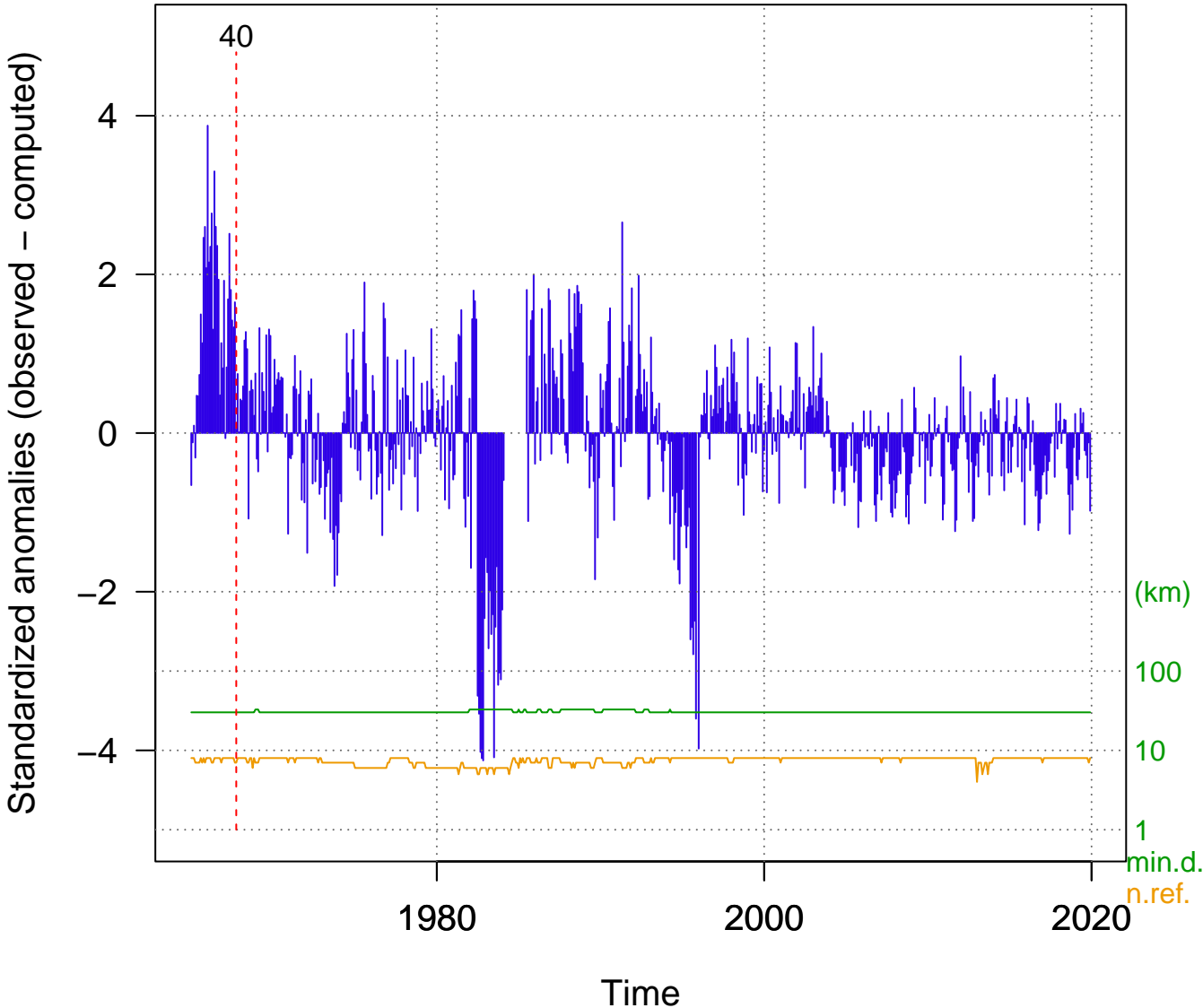
tmax-m 3 (ho00000779)

LAMPA



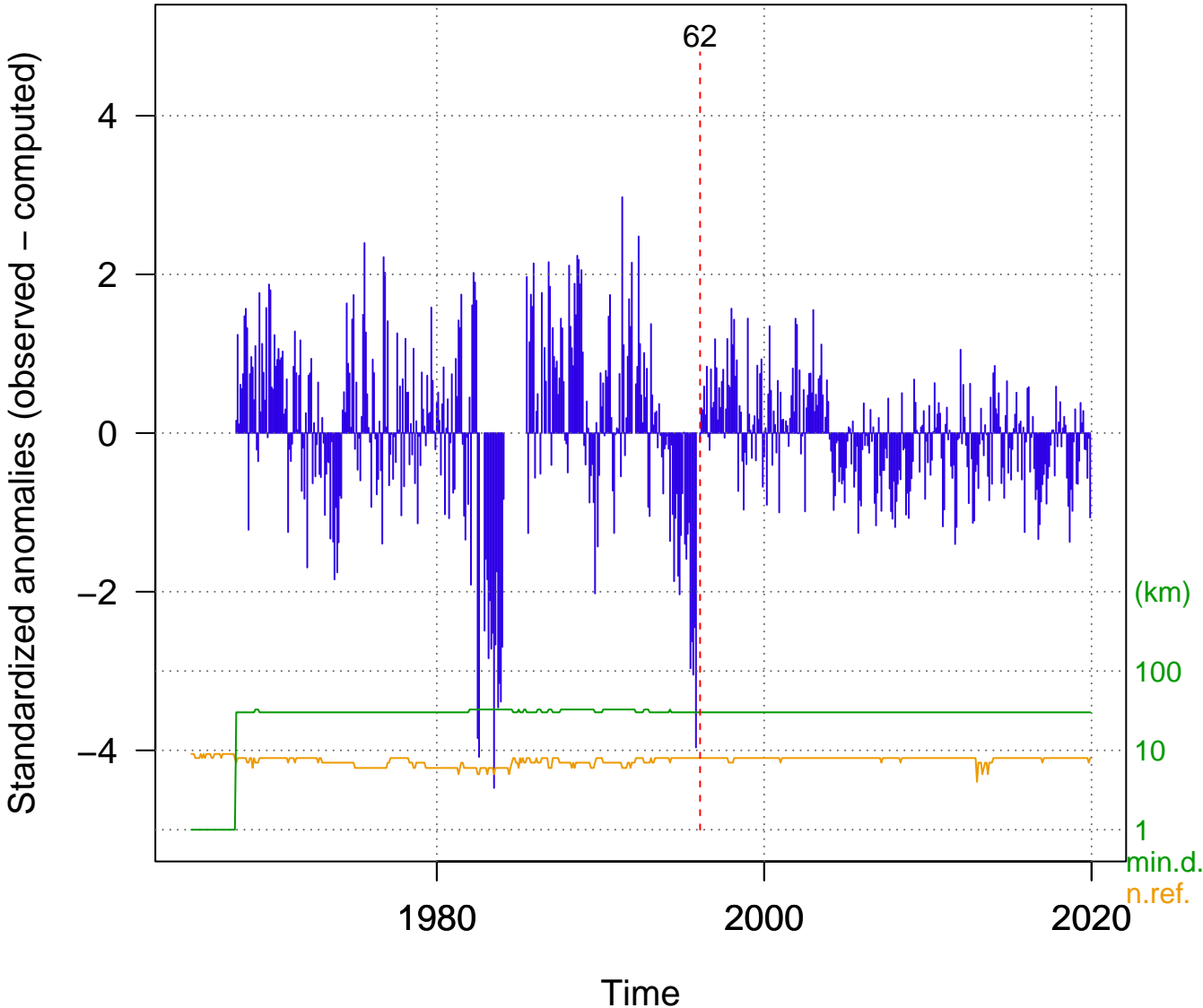
tmax-m 2 (ho00000778)

PROGRESO



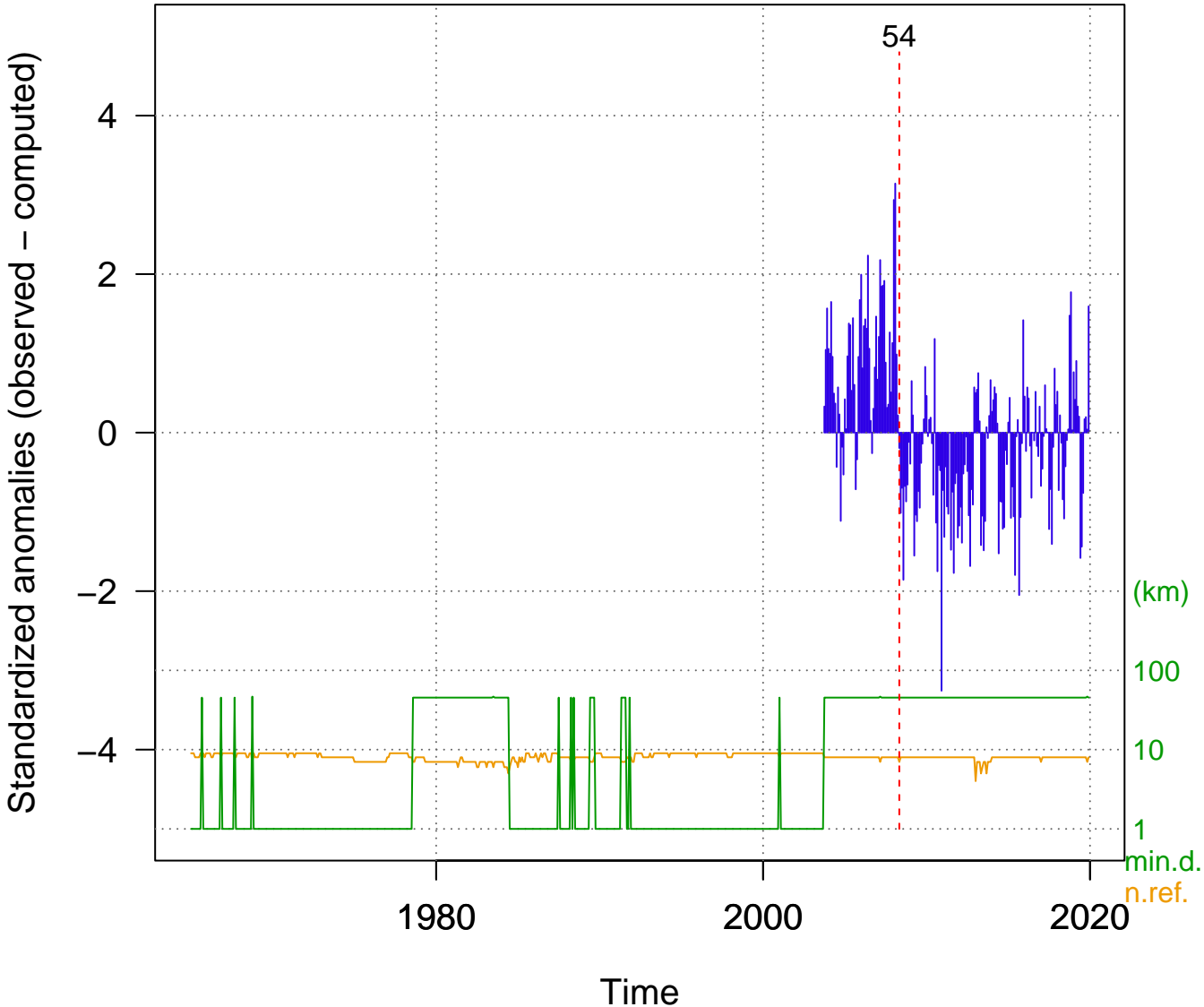
tmax-m 2 (ho00000778)

PROGRESO



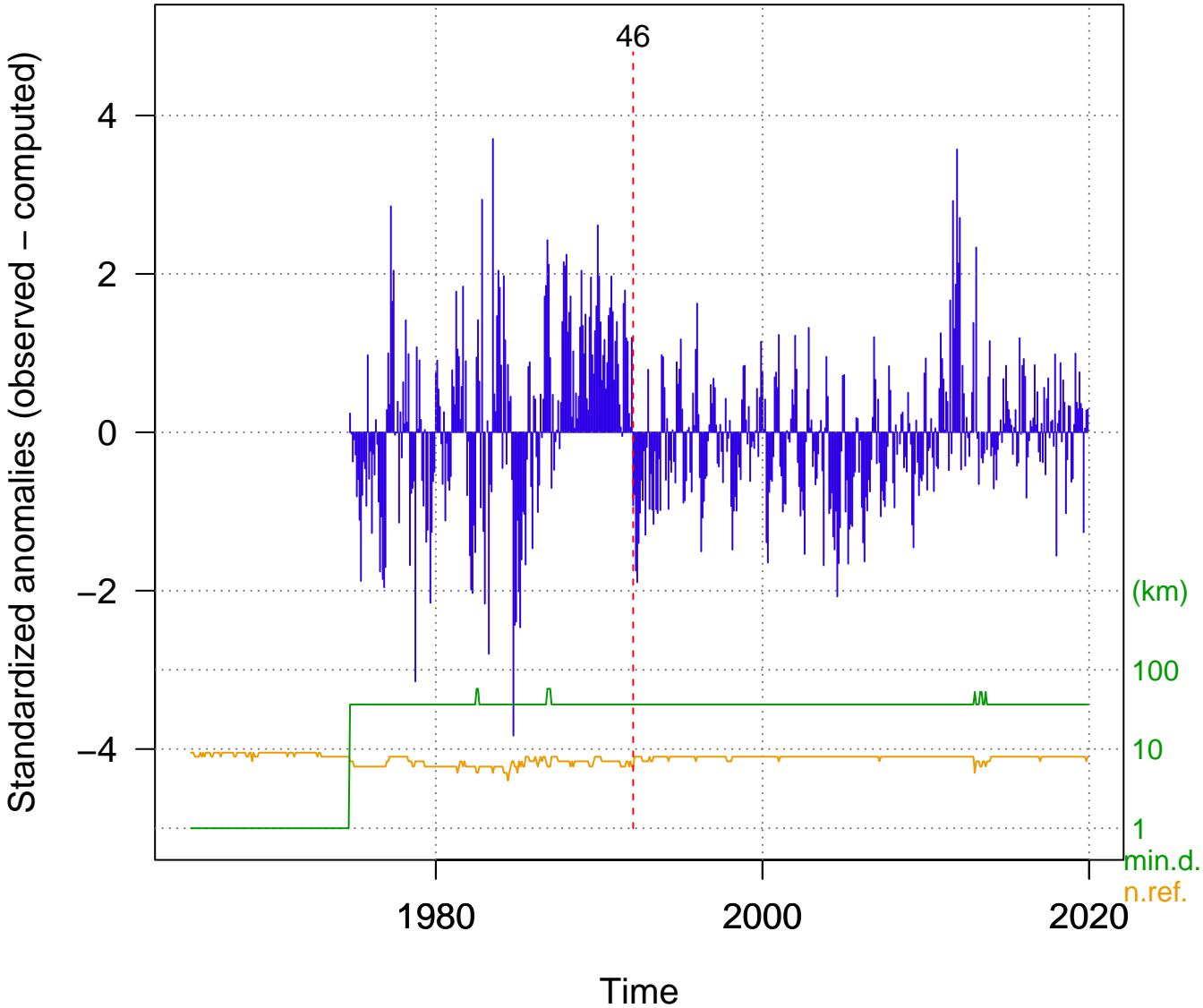
tmax-m 9 (ho00000788)

CAPACHICA



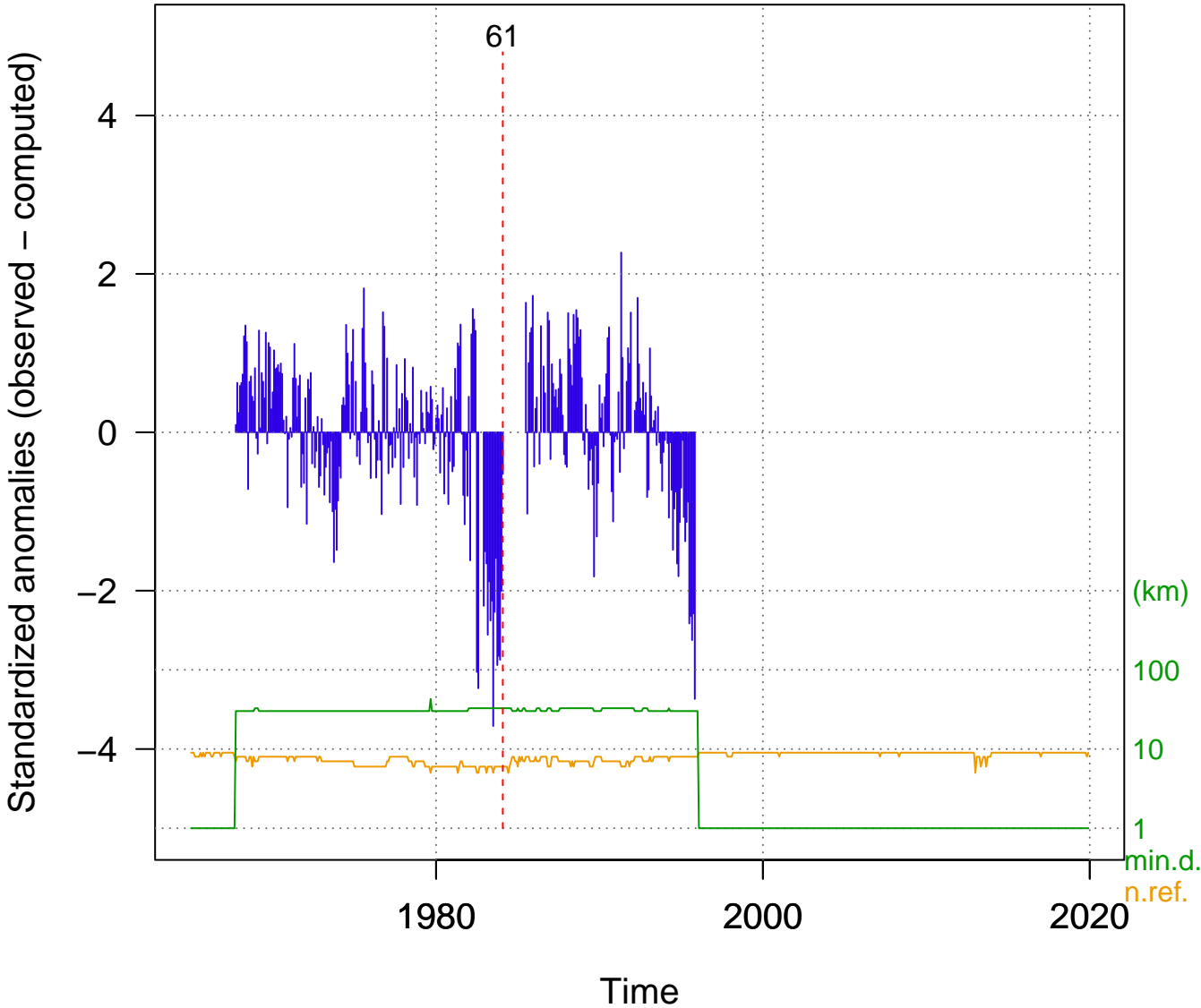
tmax-m 3 (ho00000779)

LAMPA



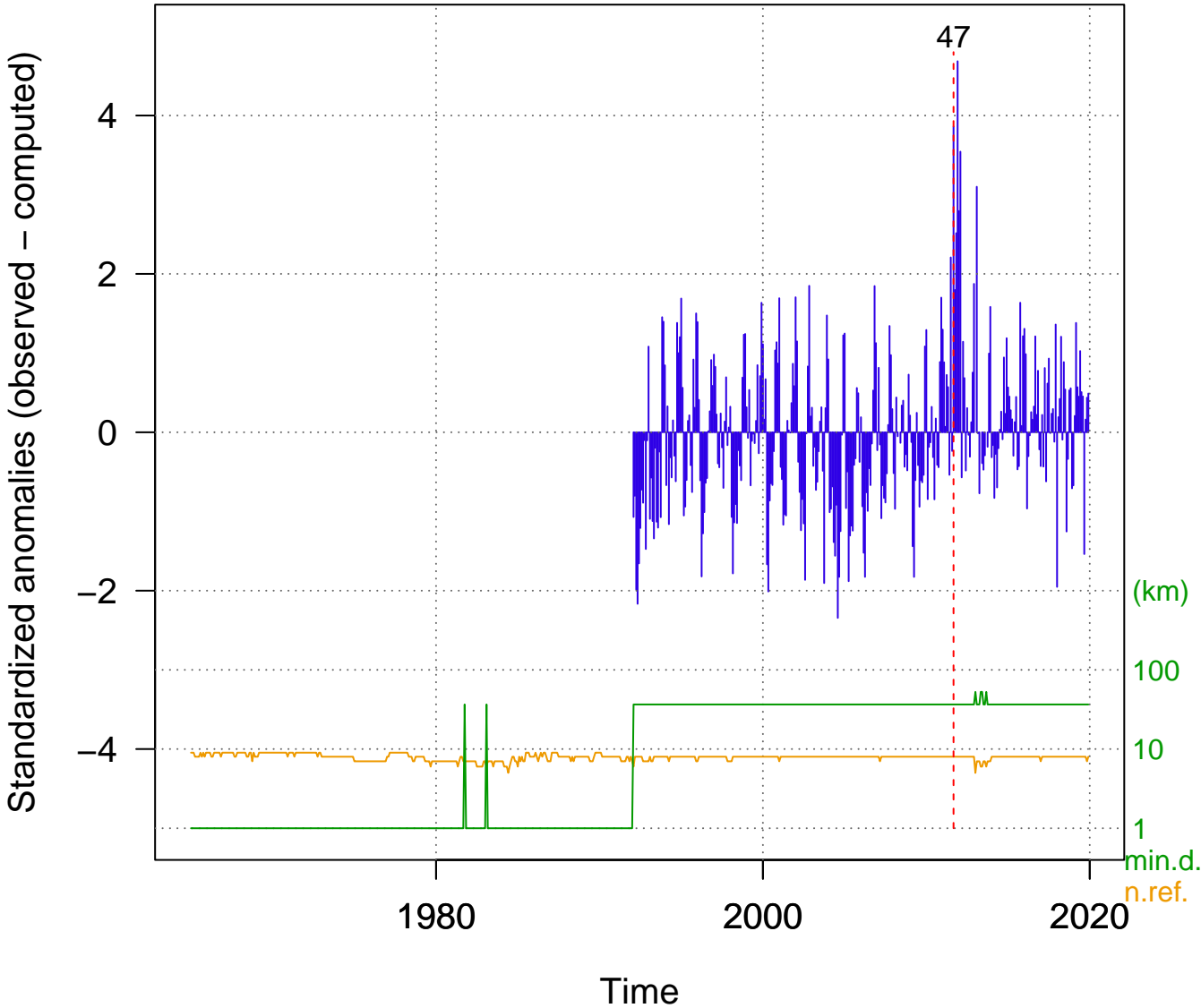
tmax-m 19 (ho00000778-3)

PROGRESO-3



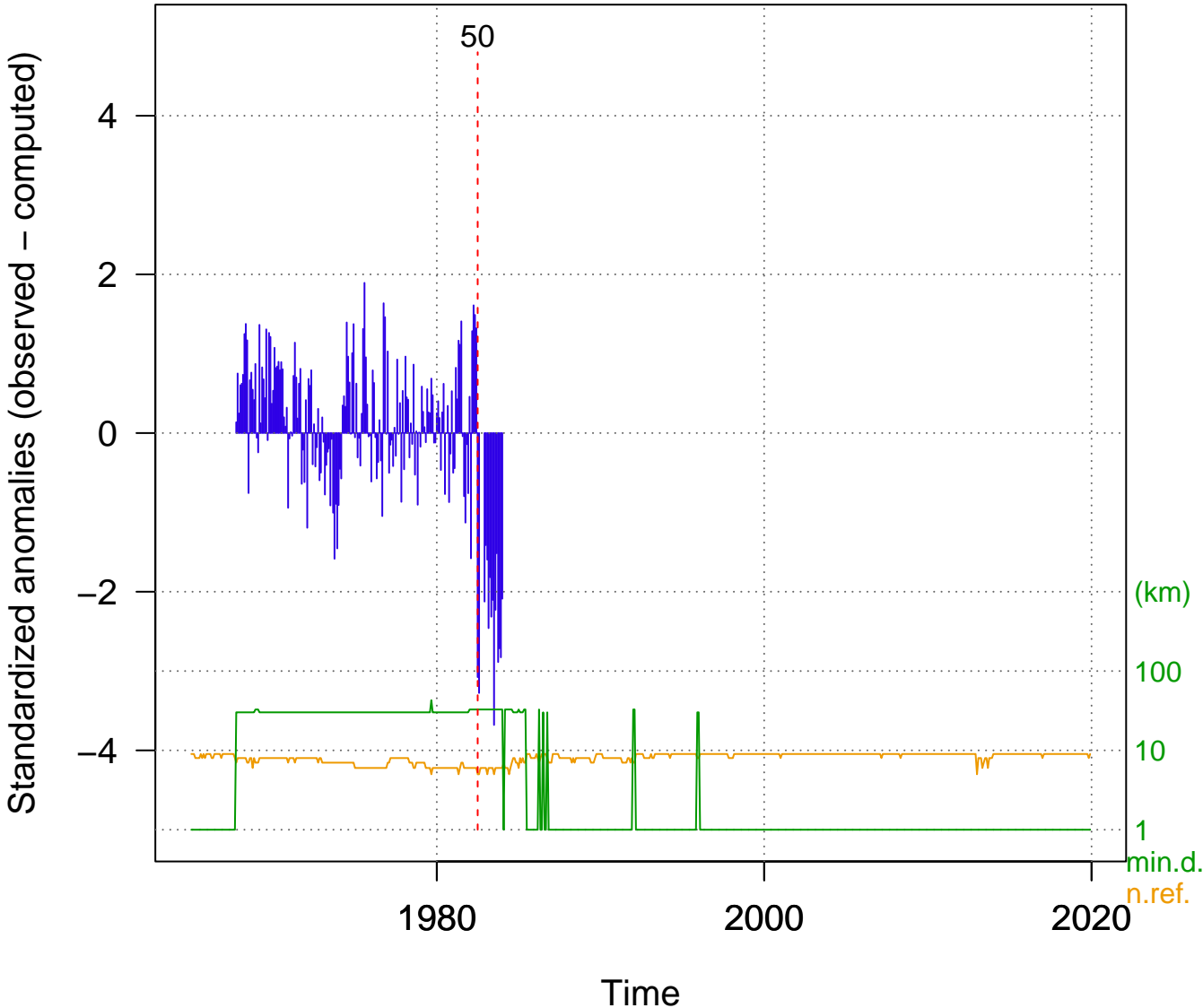
tmax-m 3 (ho00000779)

LAMPA

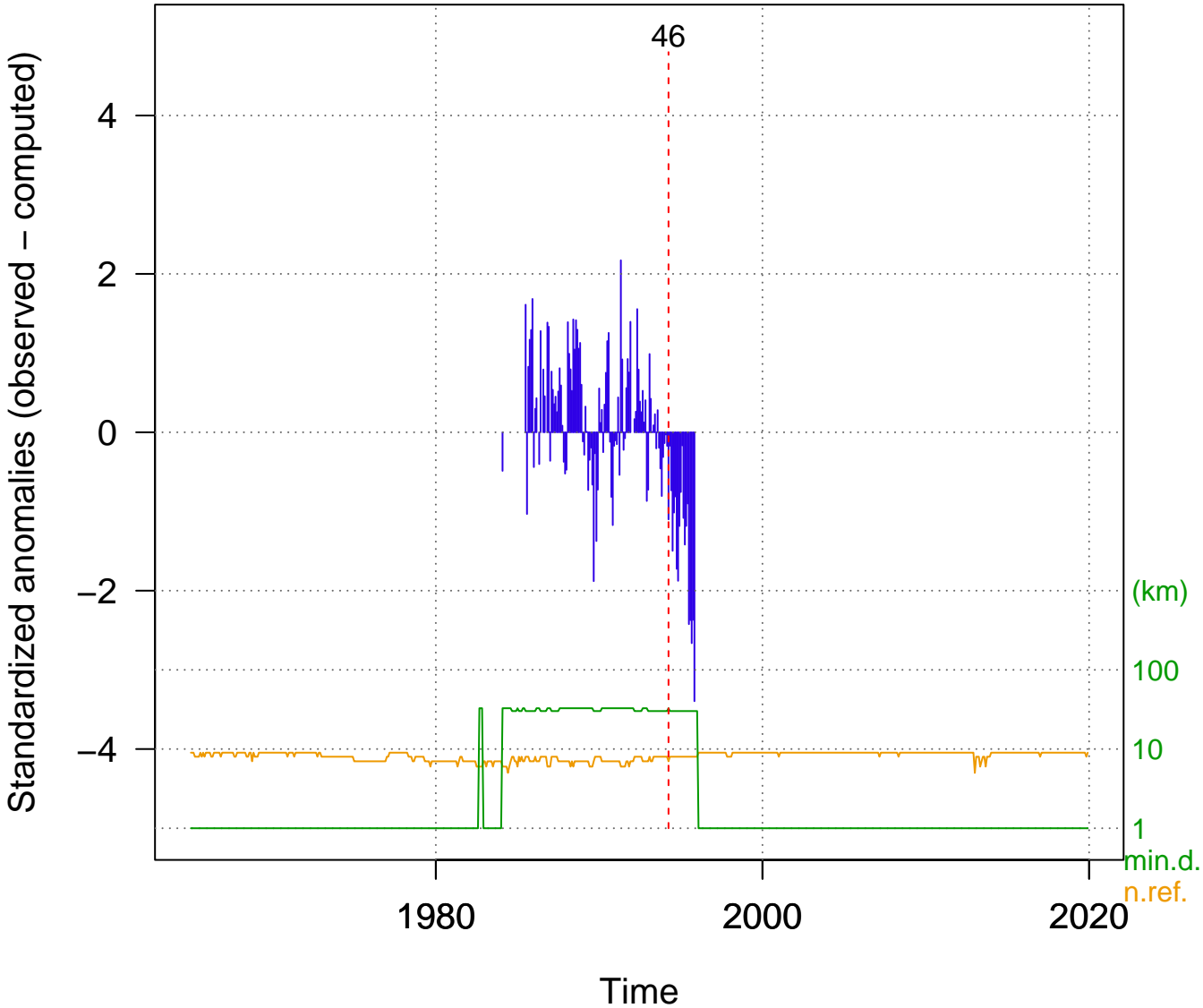


tmax-m 22 (ho00000778-4)

PROGRESO-4

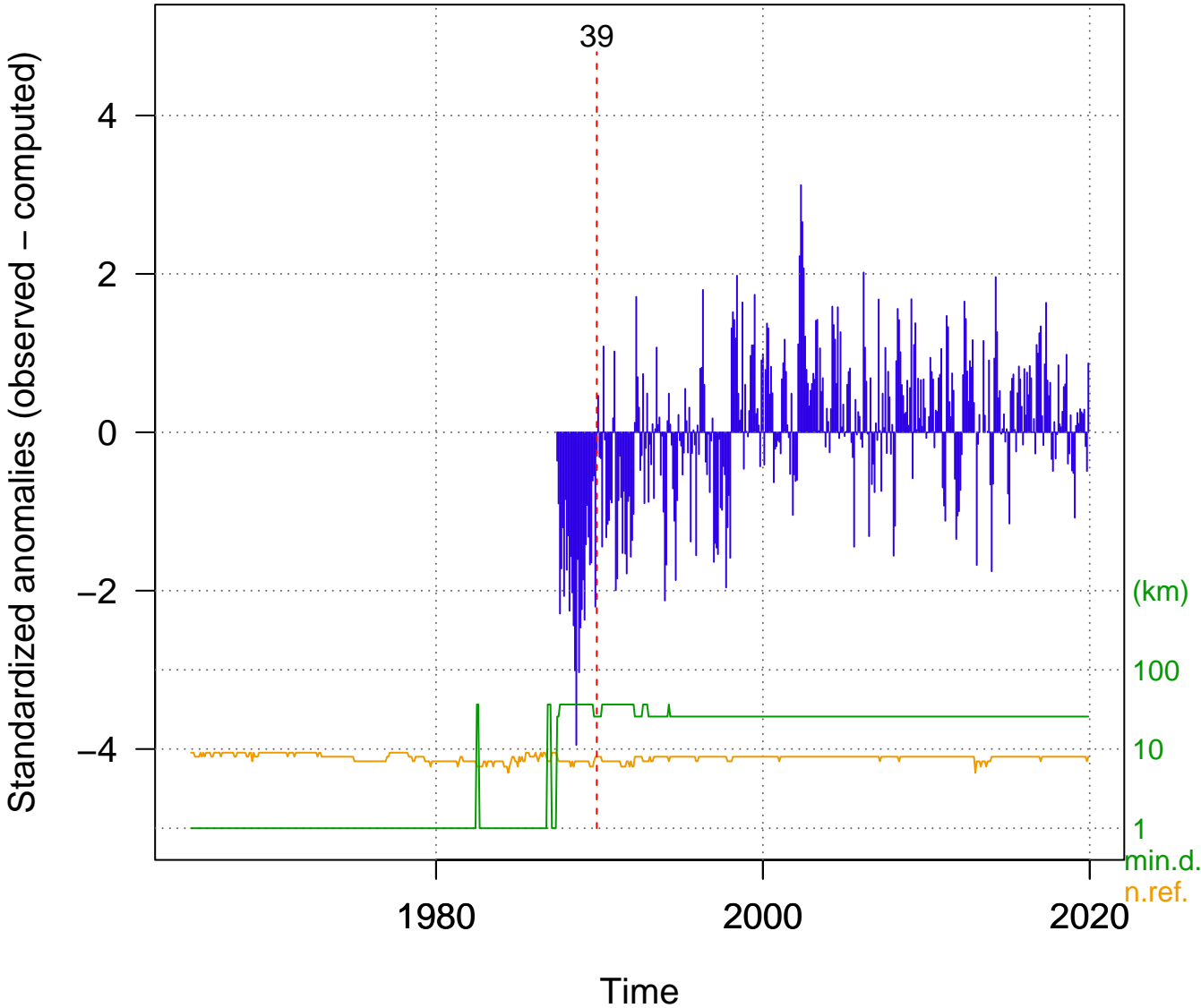


tmax-m 19 (ho00000778-3)
PROGRESO-3



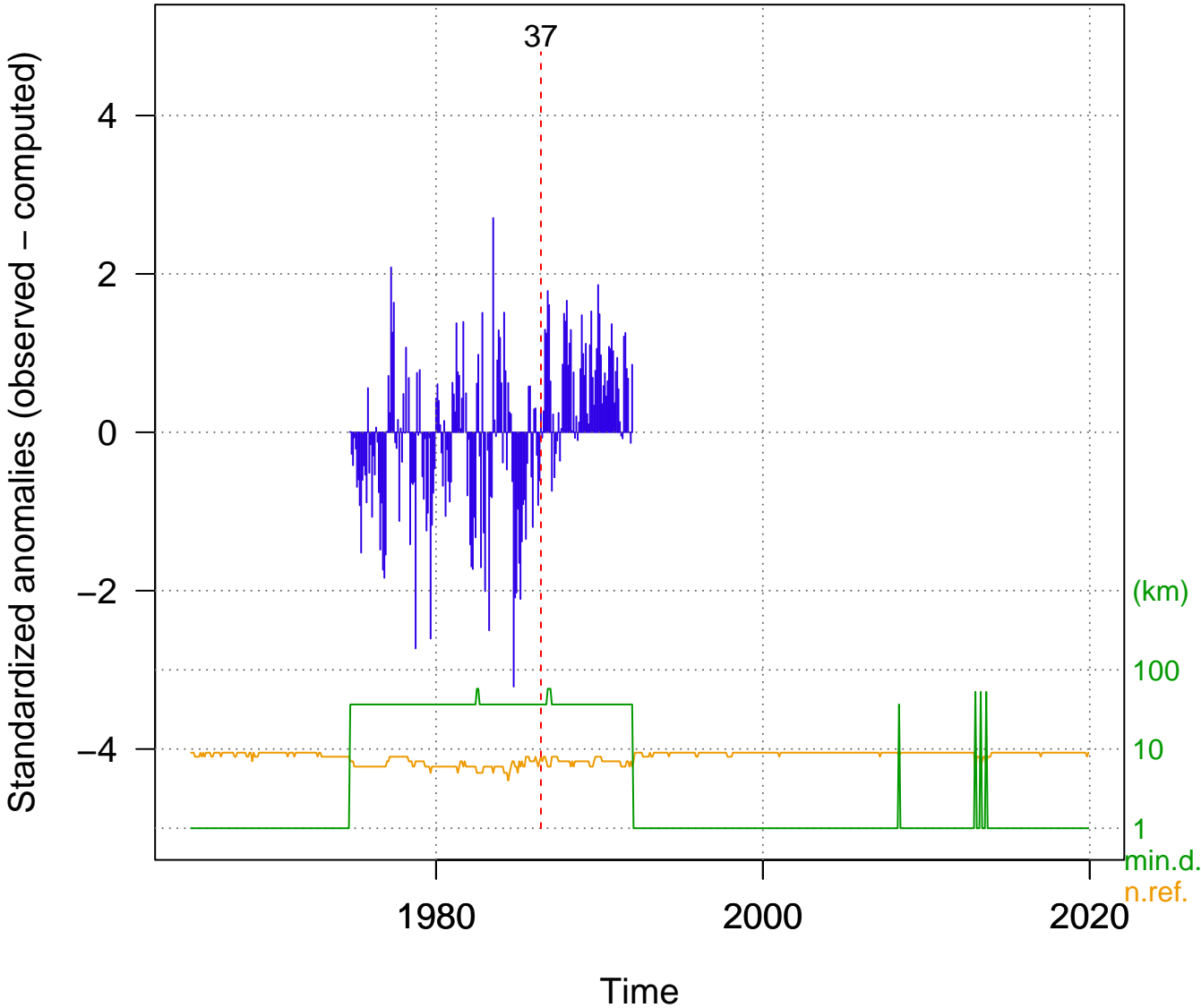
tmax-m 5 (ho00000783)

ARAPA

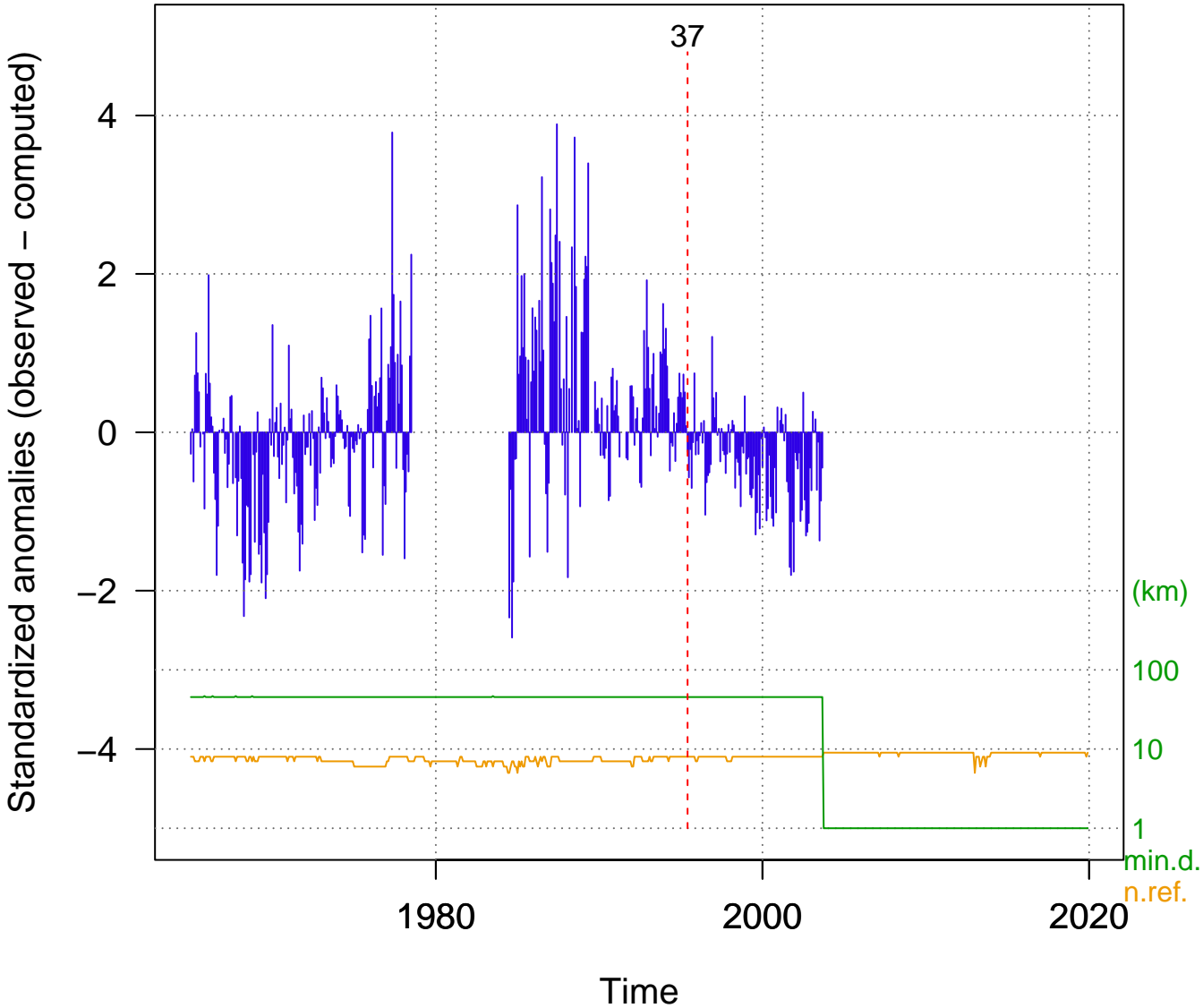


tmax-m 21 (ho00000779-3)

LAMPA-3

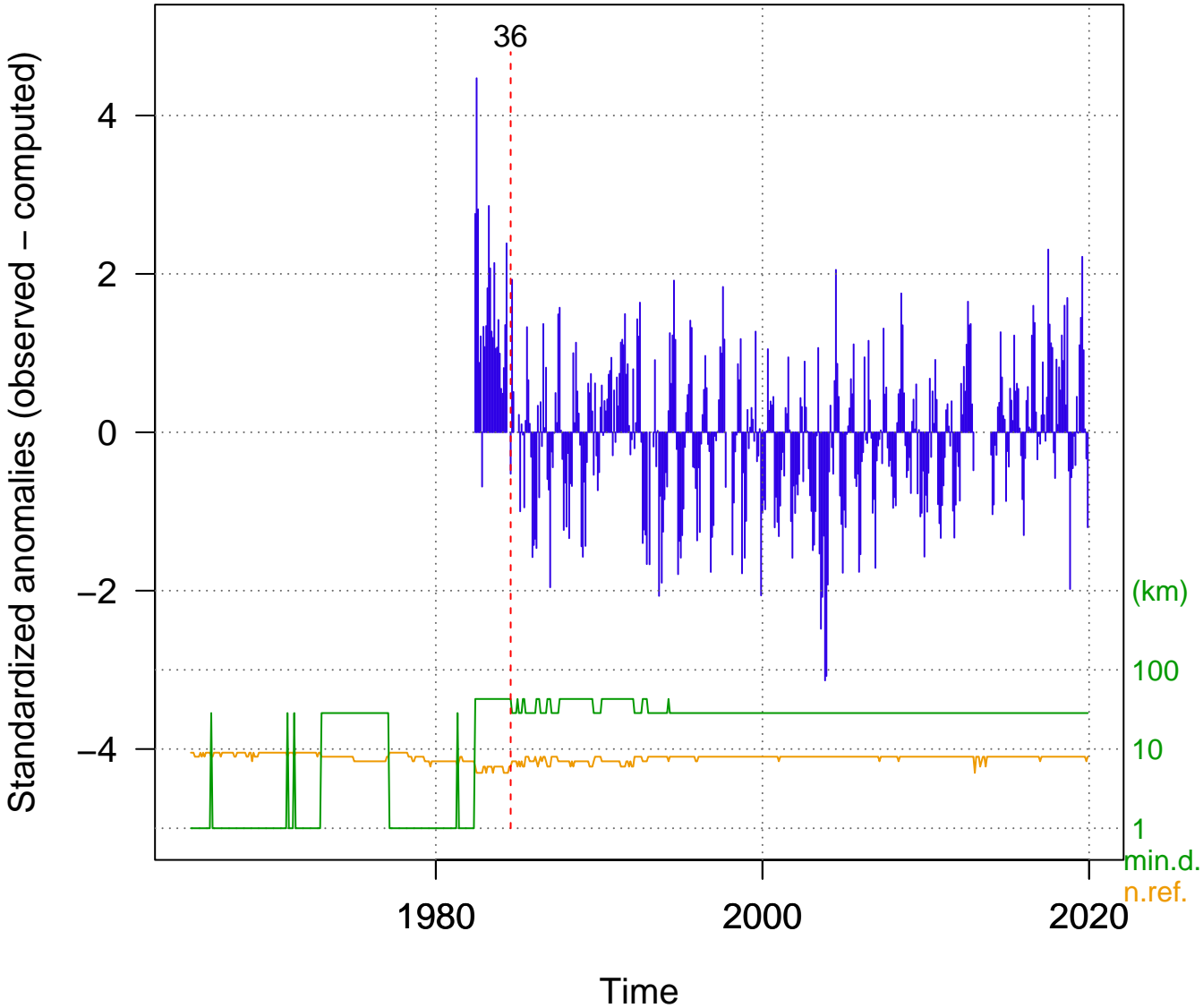


tmax-m 14 (ho00000788-2)
CAPACHICA-2



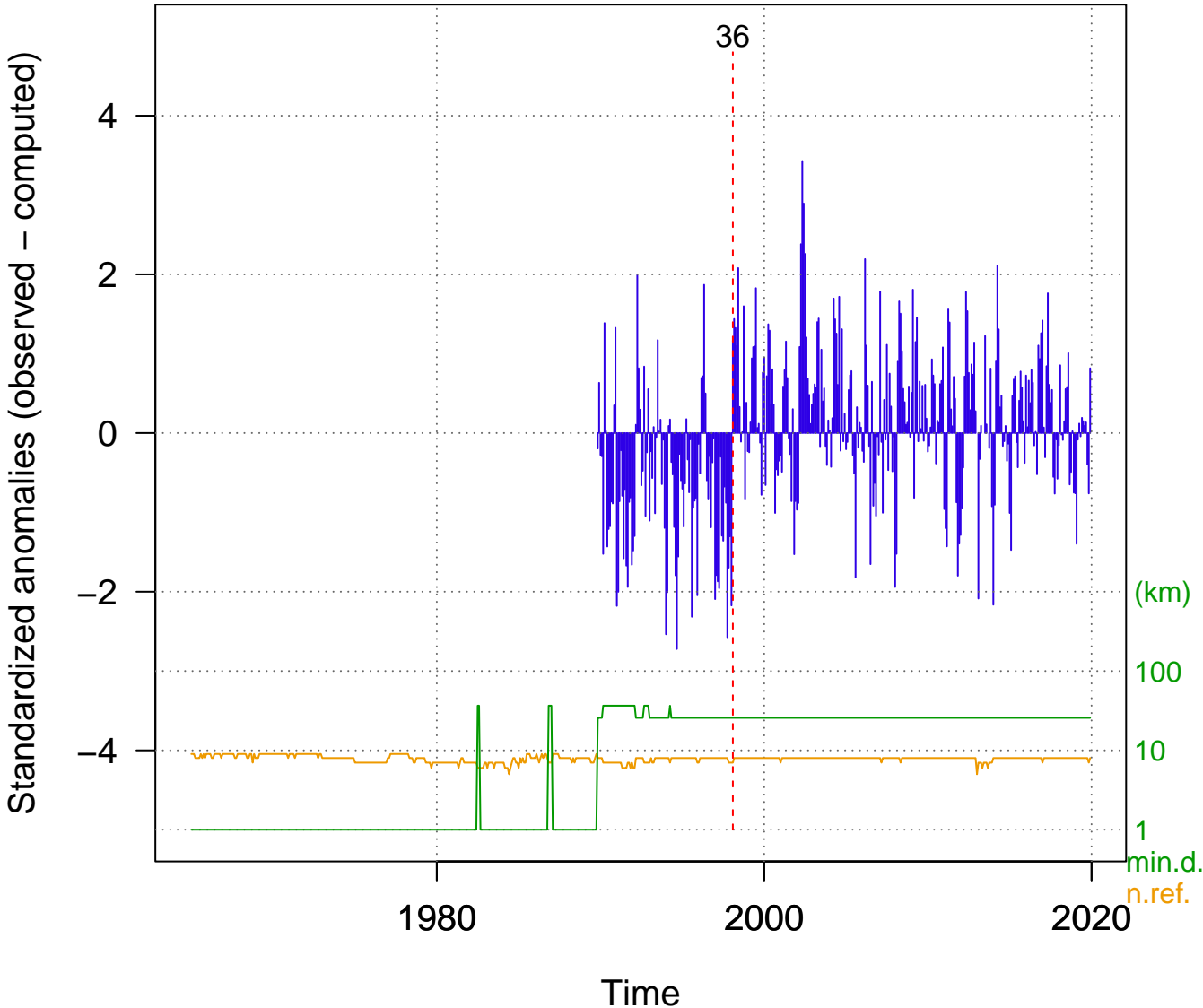
tmax-m 6 (ho00000785)

MUNANI



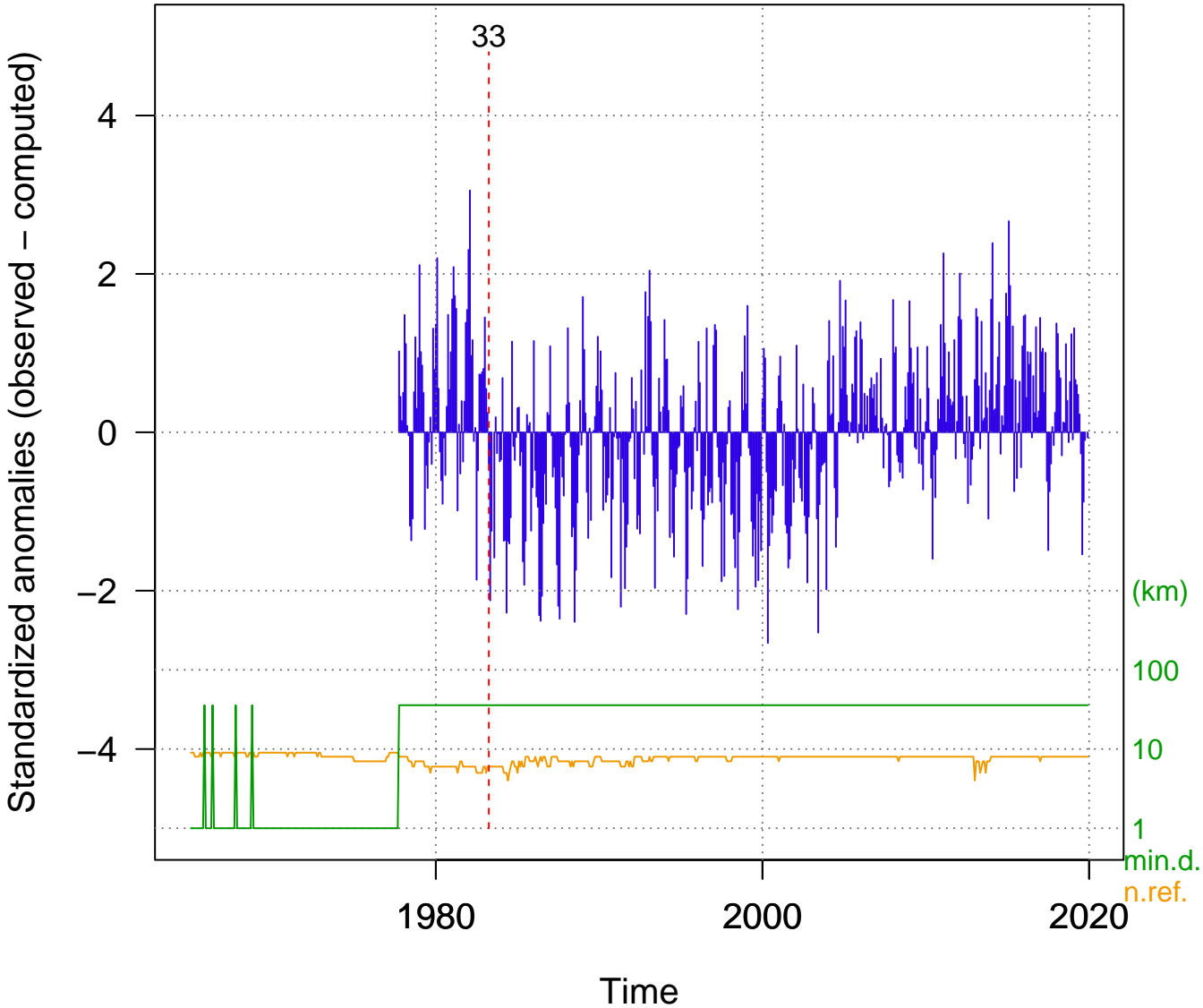
tmax-m 5 (ho00000783)

ARAPA

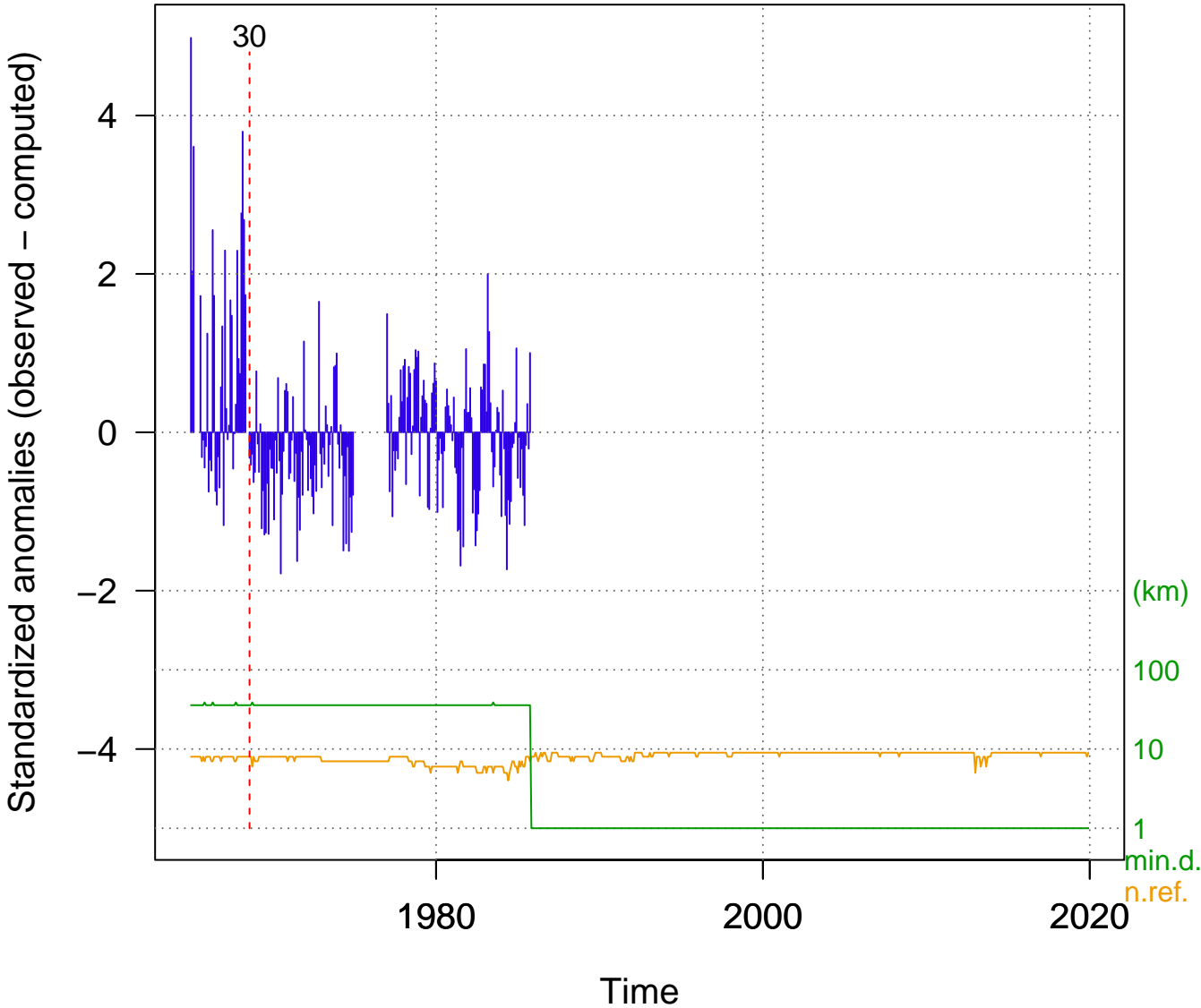


tmax-m 8 (ho00000787)

HUARAYAMOHO

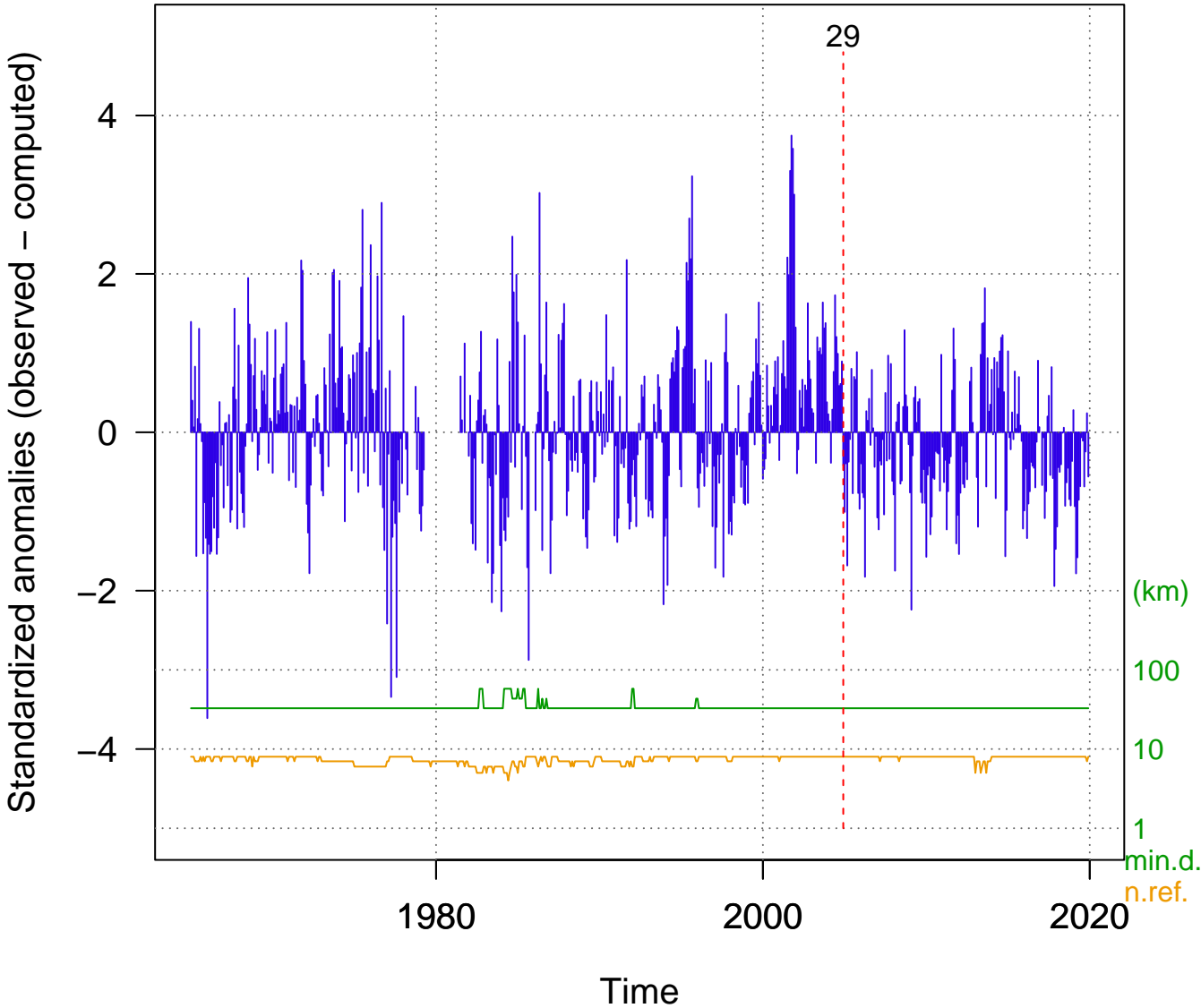


tmax-m 11 (ho00000786-3)
HUANCANE-3



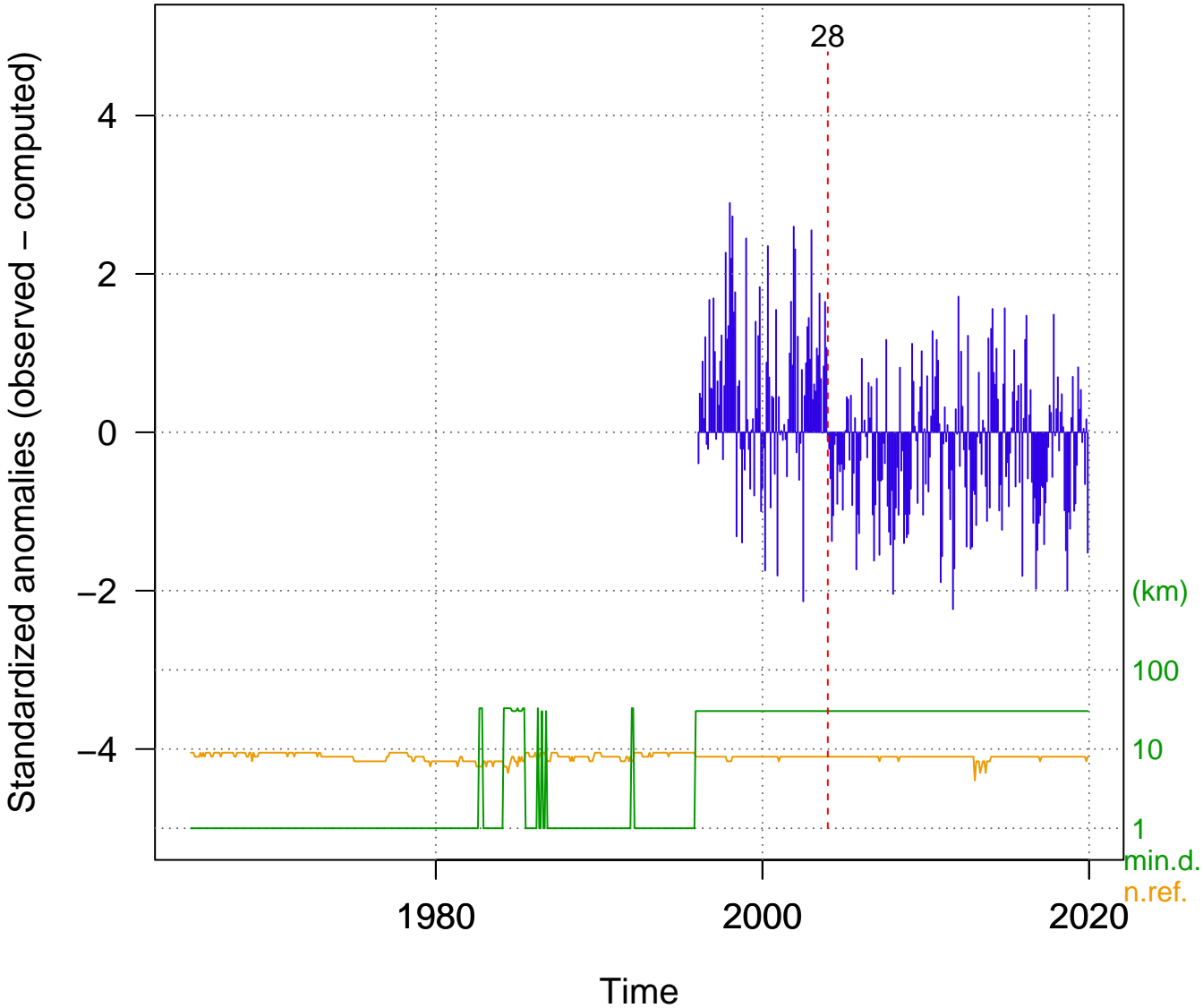
tmax-m 1 (ho00000776)

AYAVIRI

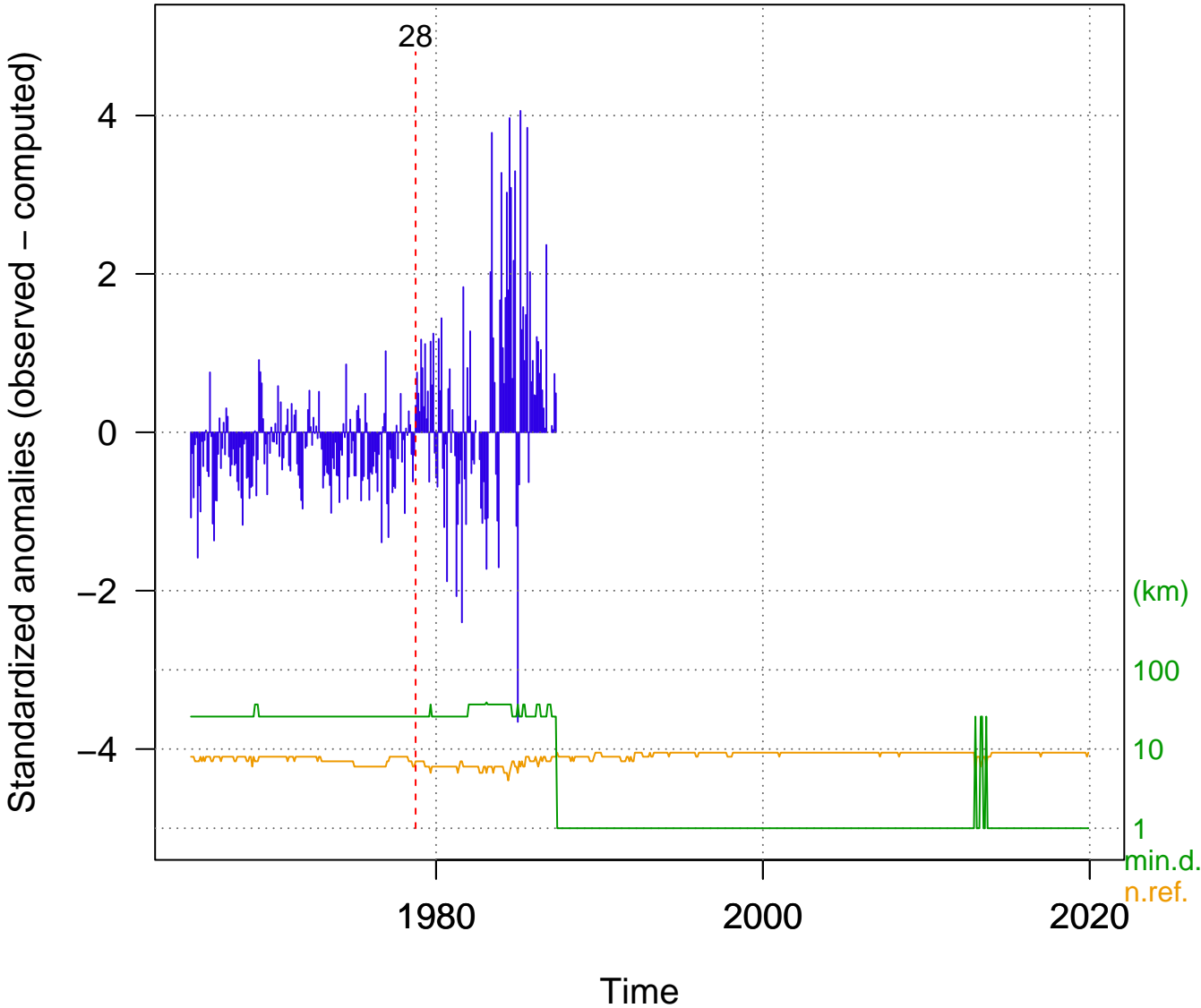


tmax-m 2 (ho00000778)

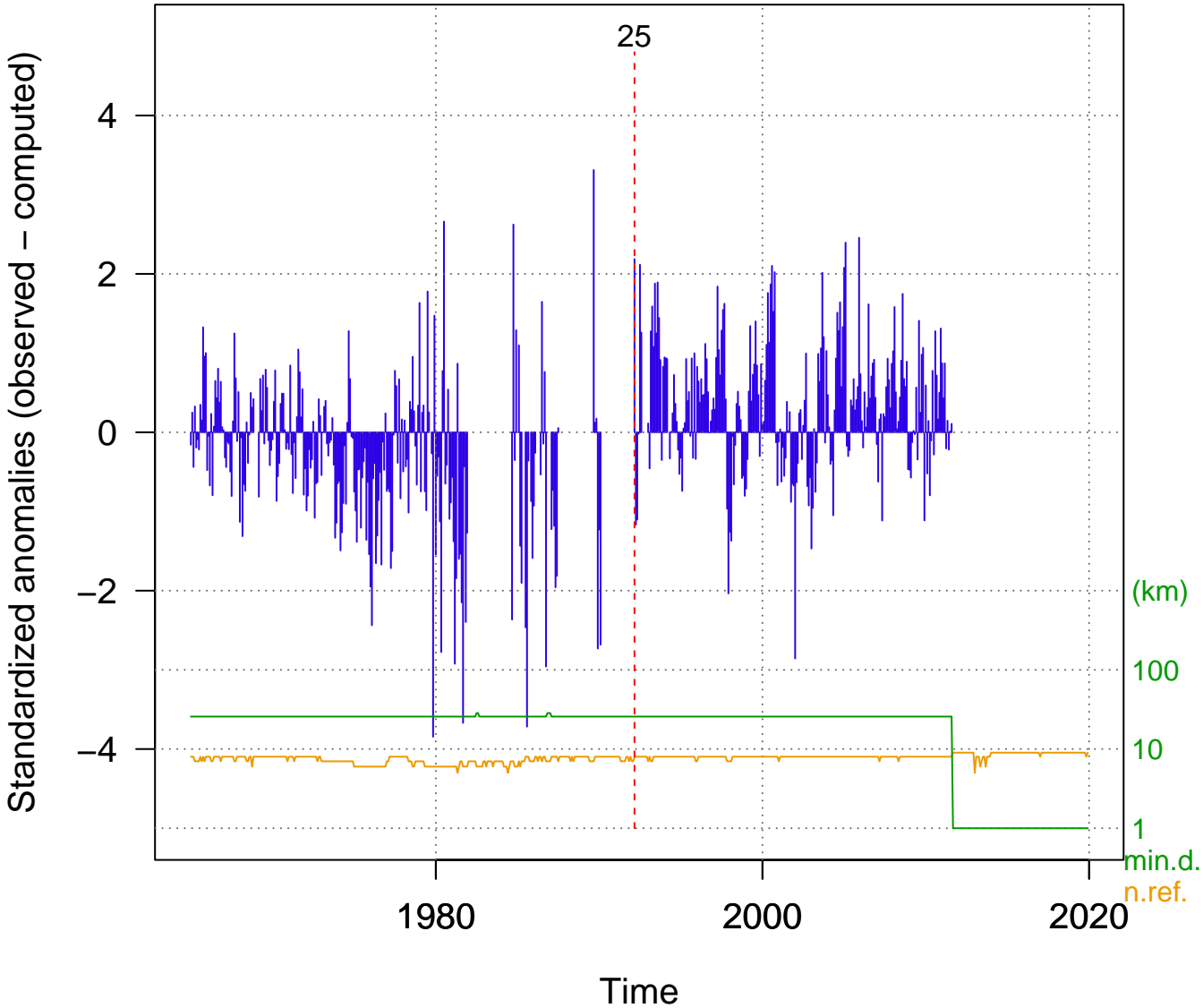
PROGRESO



tmax-m 13 (ho00000783-2)
ARAPA-2

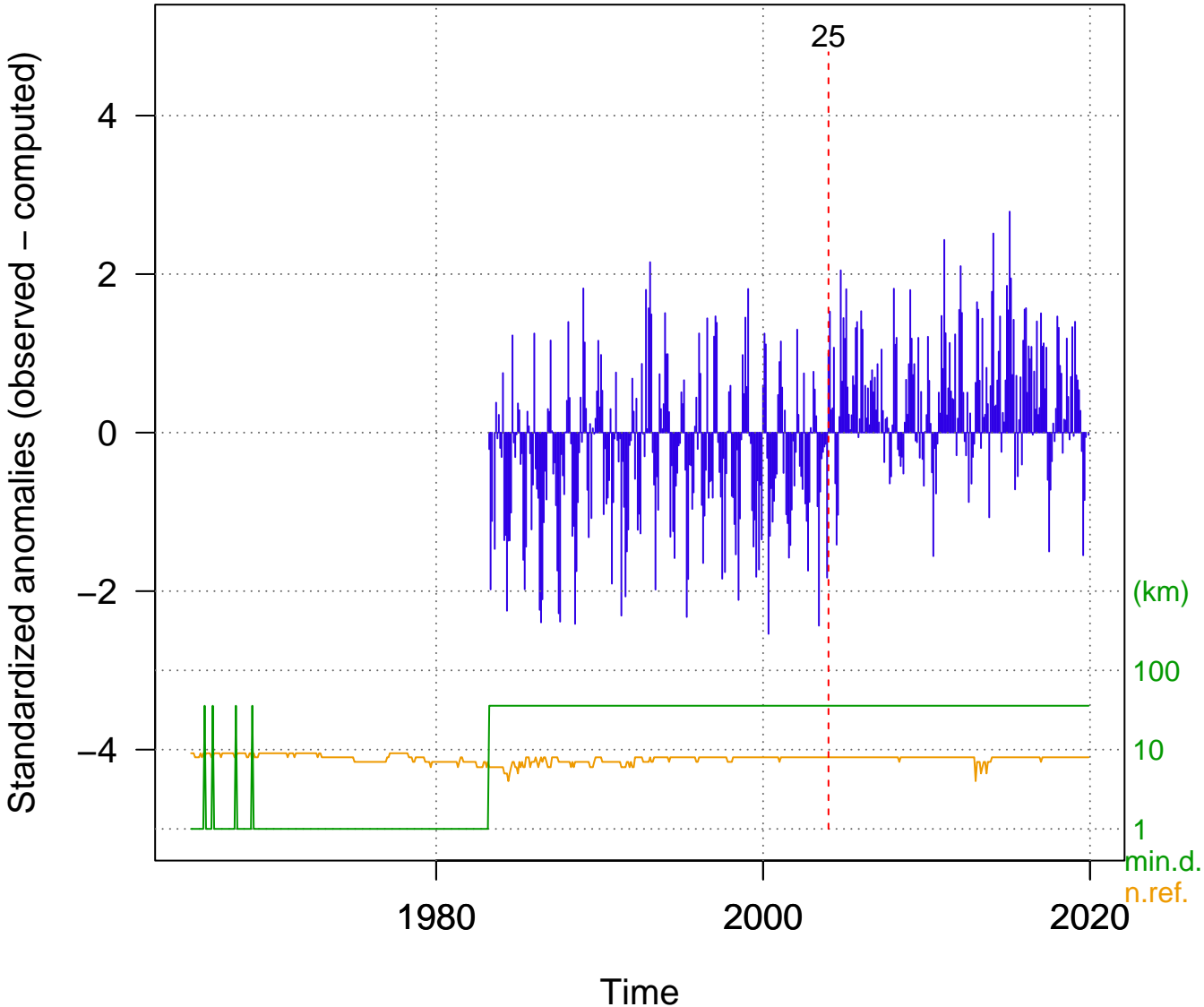


tmax-m 12 (ho00000781-2)
AZANGARO-2

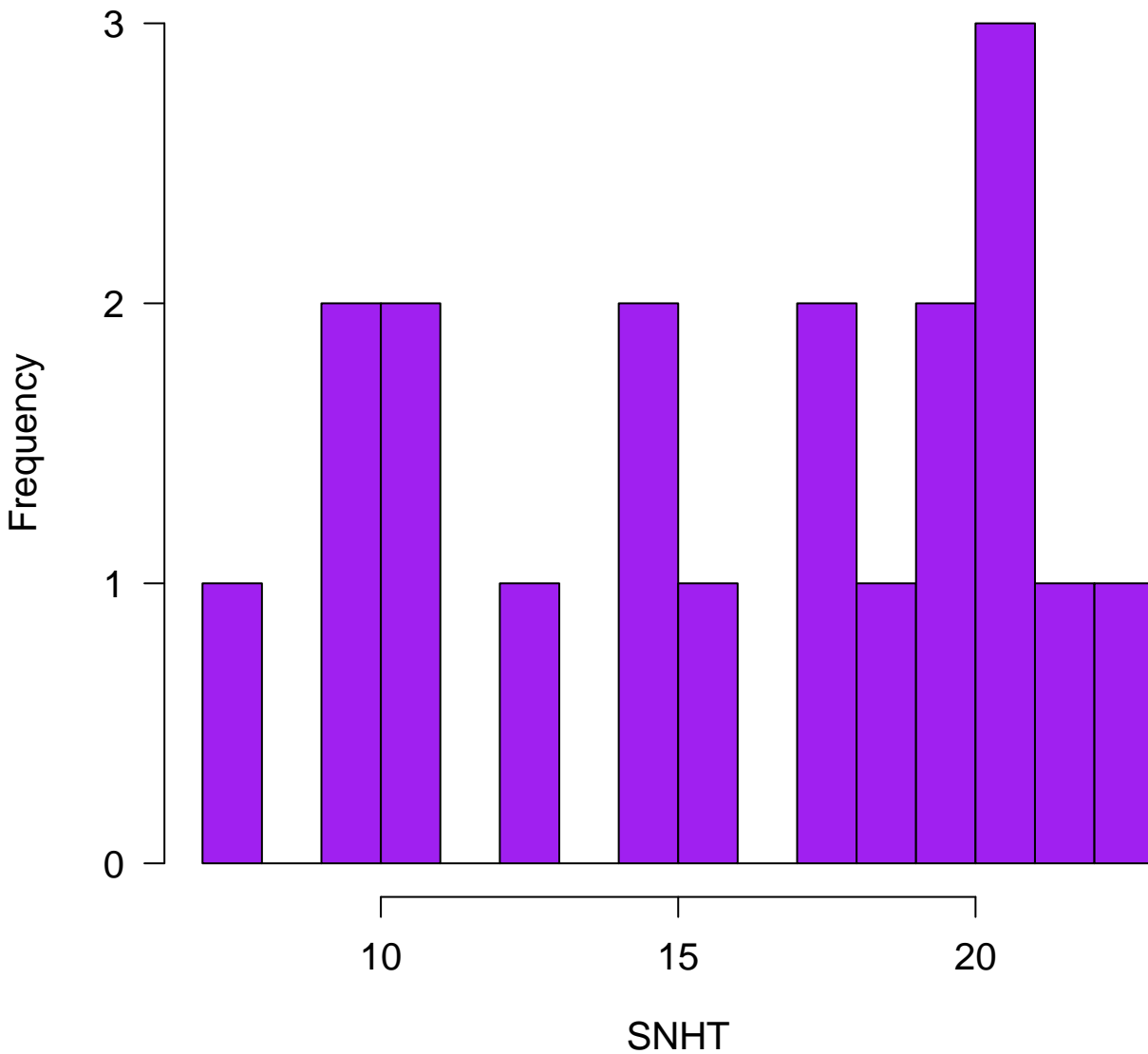


tmax-m 8 (ho00000787)

HUARAYAMOHO



Histogram of maximum SNHT (Stage 1)

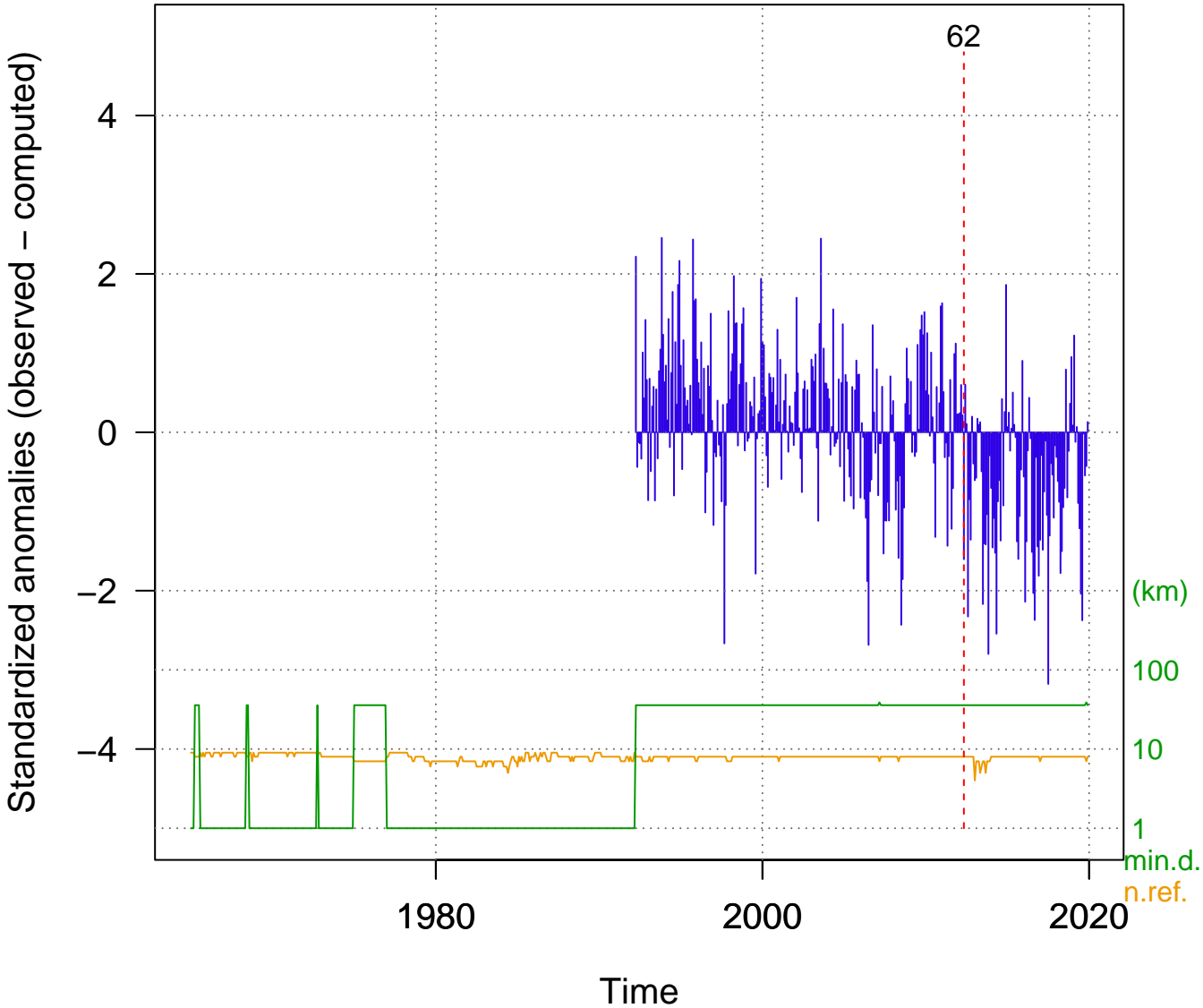


Stage 2

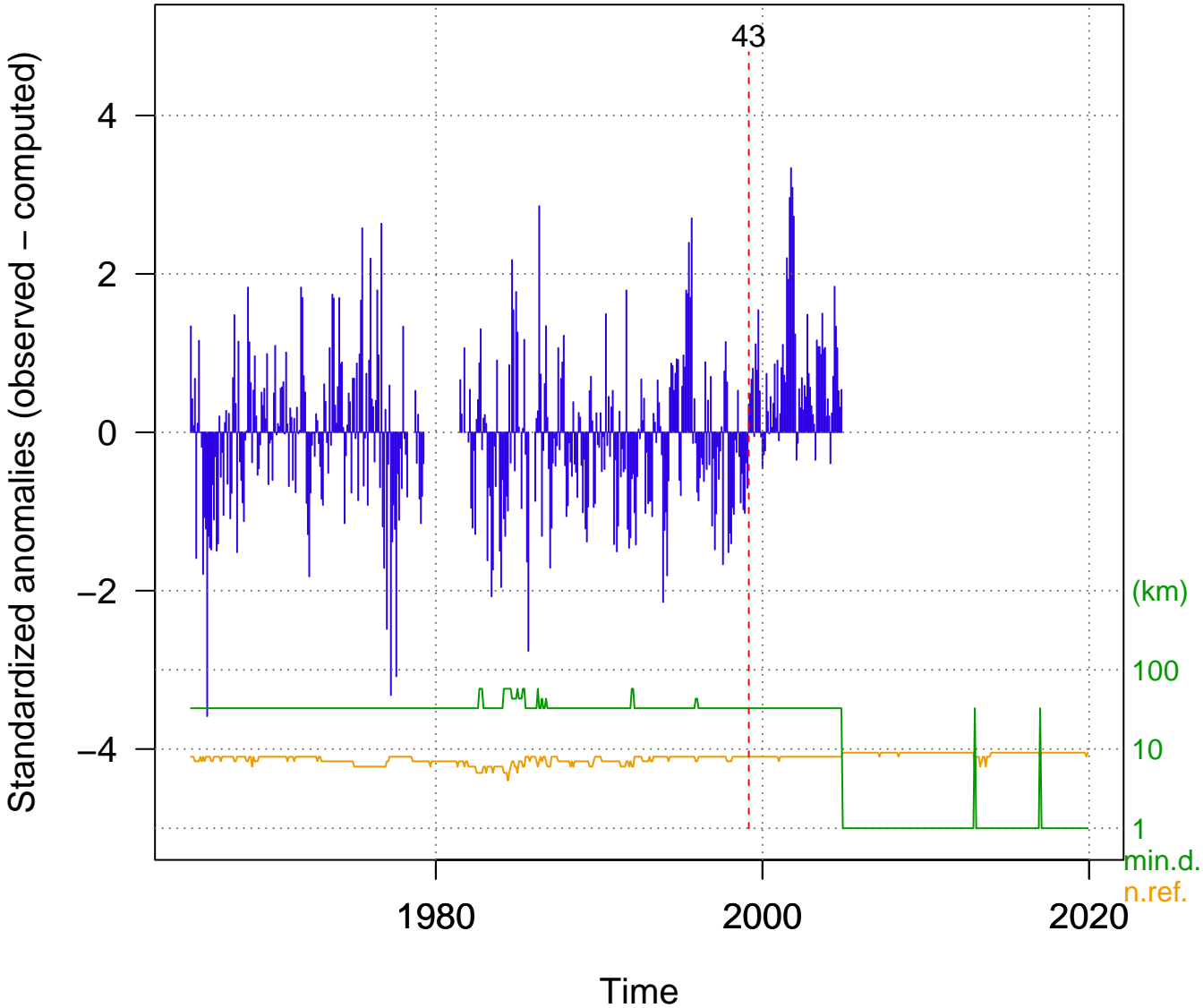
Binary splits on
whole series with
 $\text{std}=3$, $\text{SNHT}>25$
and $\text{wd}=0$ km

tmax-m 7 (ho00000786)

HUANCANE

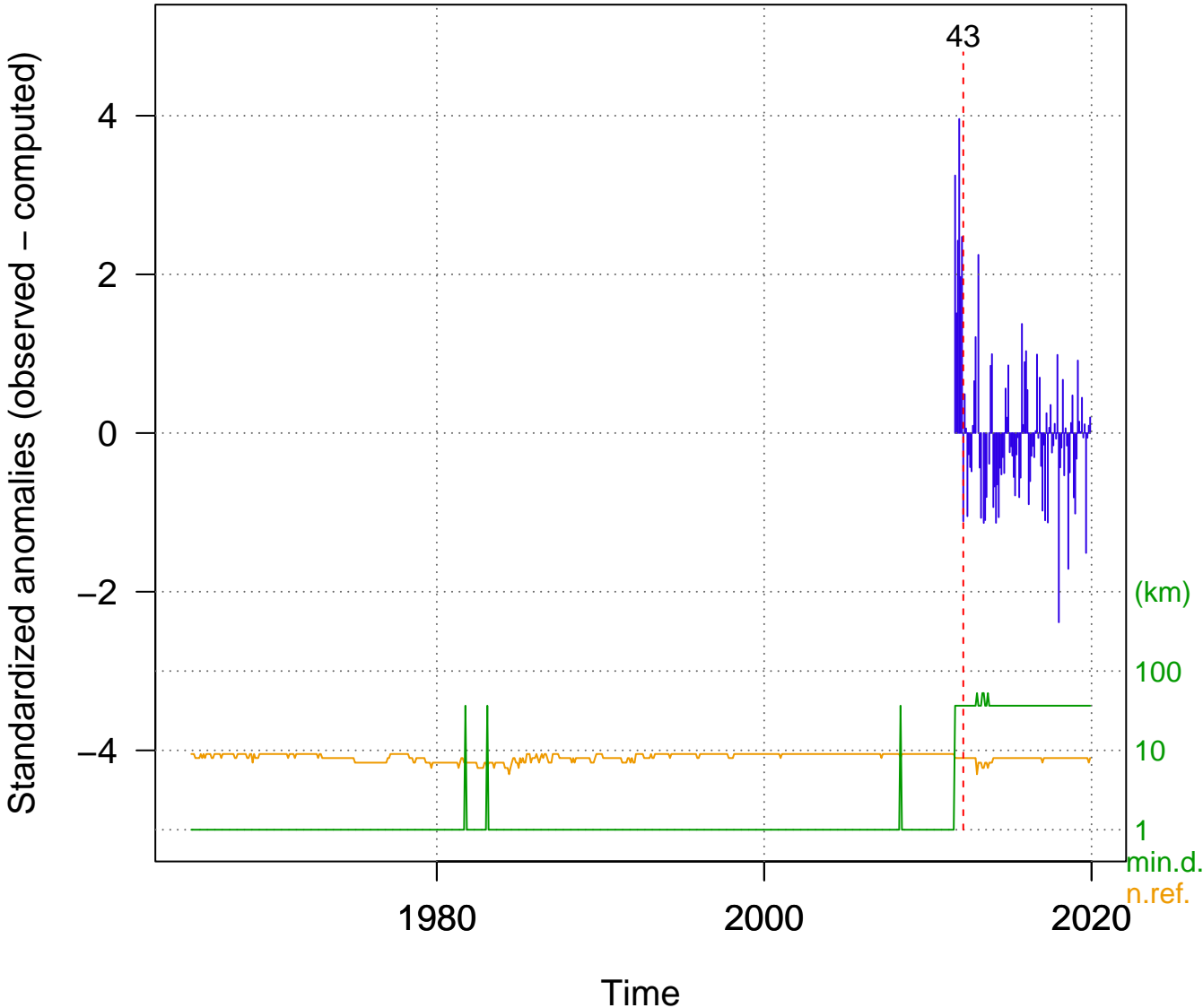


tmax-m 33 (ho00000776-2)
AYAVIRI-2

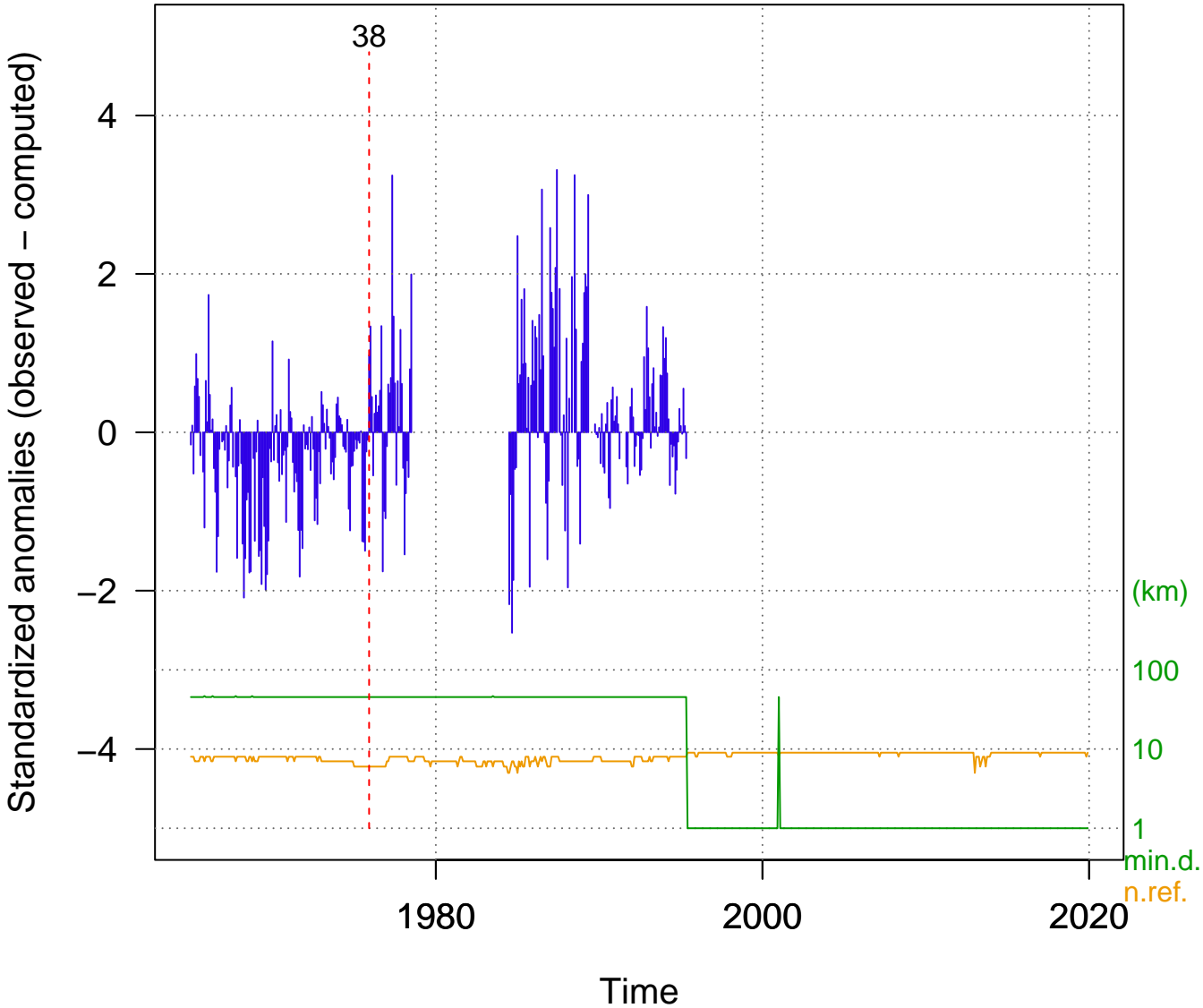


tmax-m 3 (ho00000779)

LAMPA

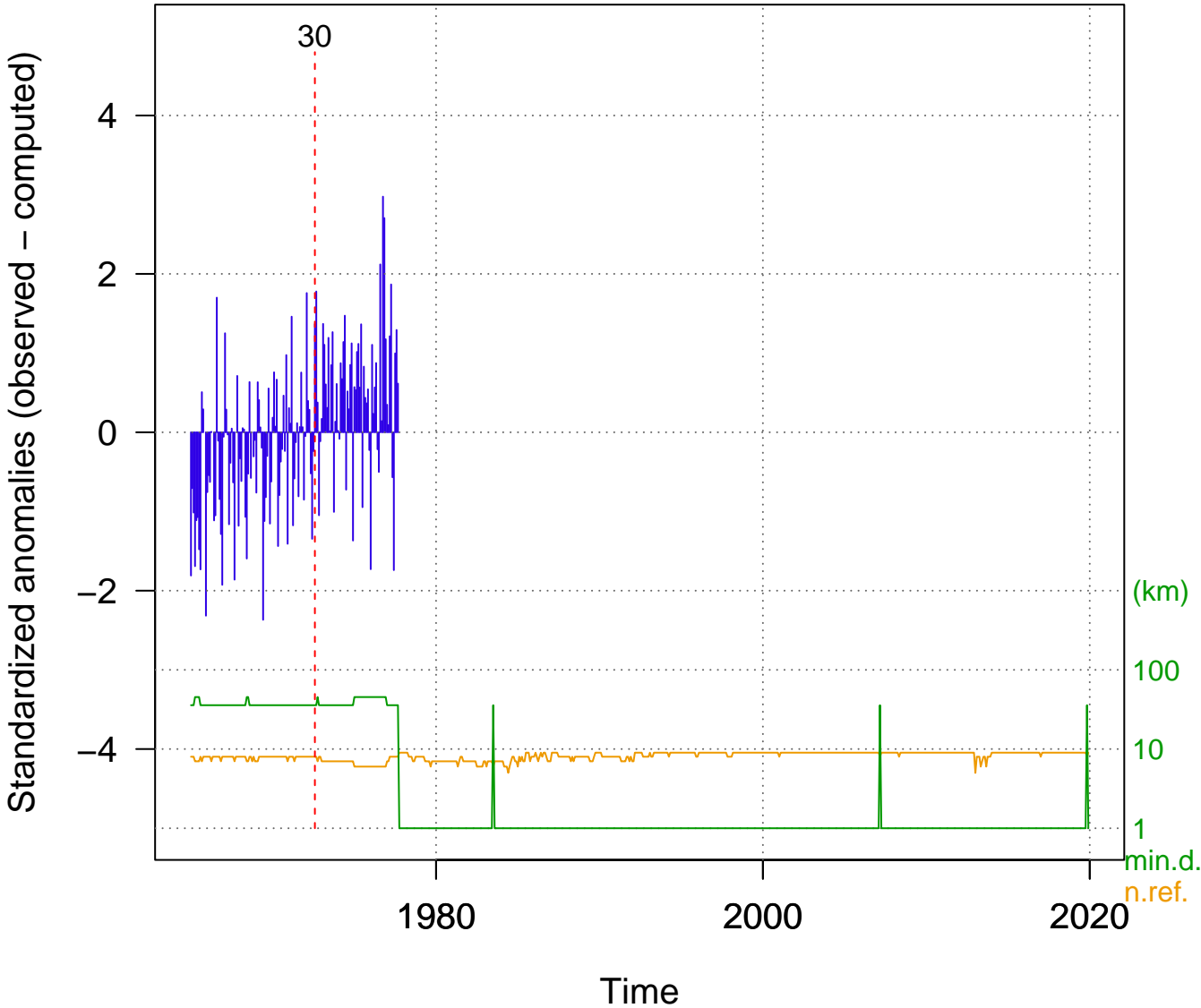


tmax-m 28 (ho00000788-4)
CAPACHICA-4

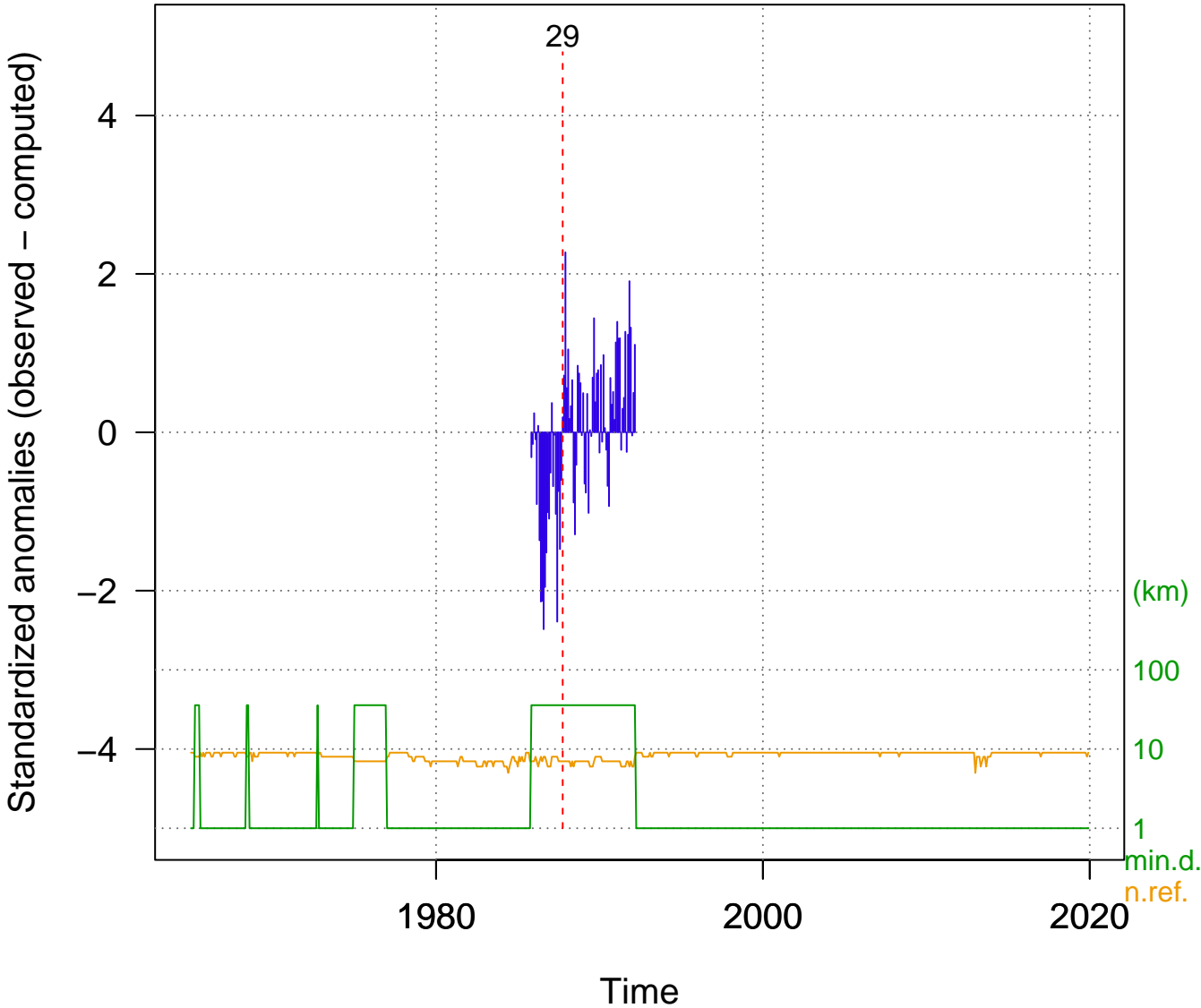


tmax-m 15 (ho00000787-2)

HUARAYAMOHO-2

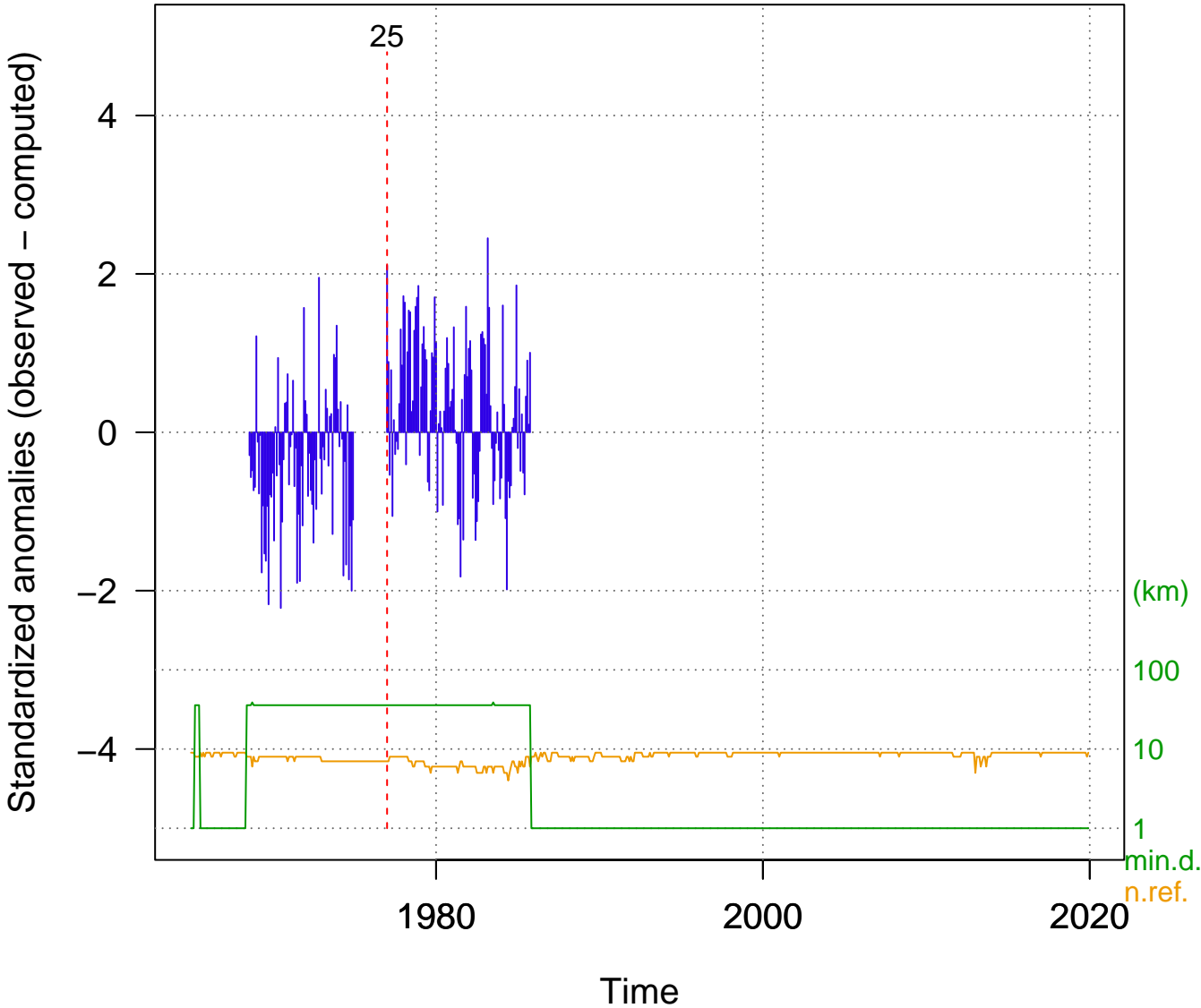


tmax-m 10 (ho00000786-2)
HUANCANE-2

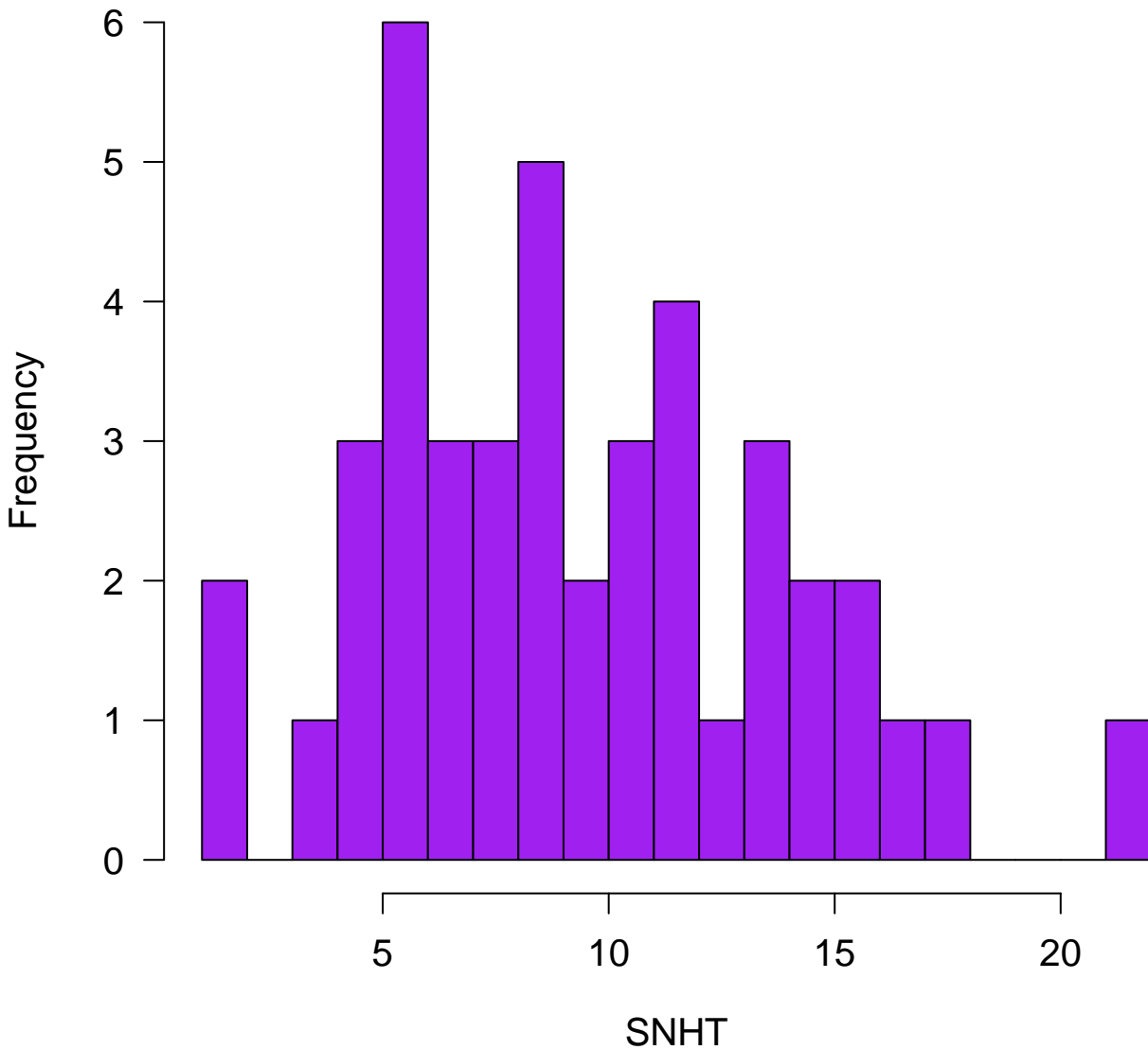


tmax-m 11 (ho00000786-3)

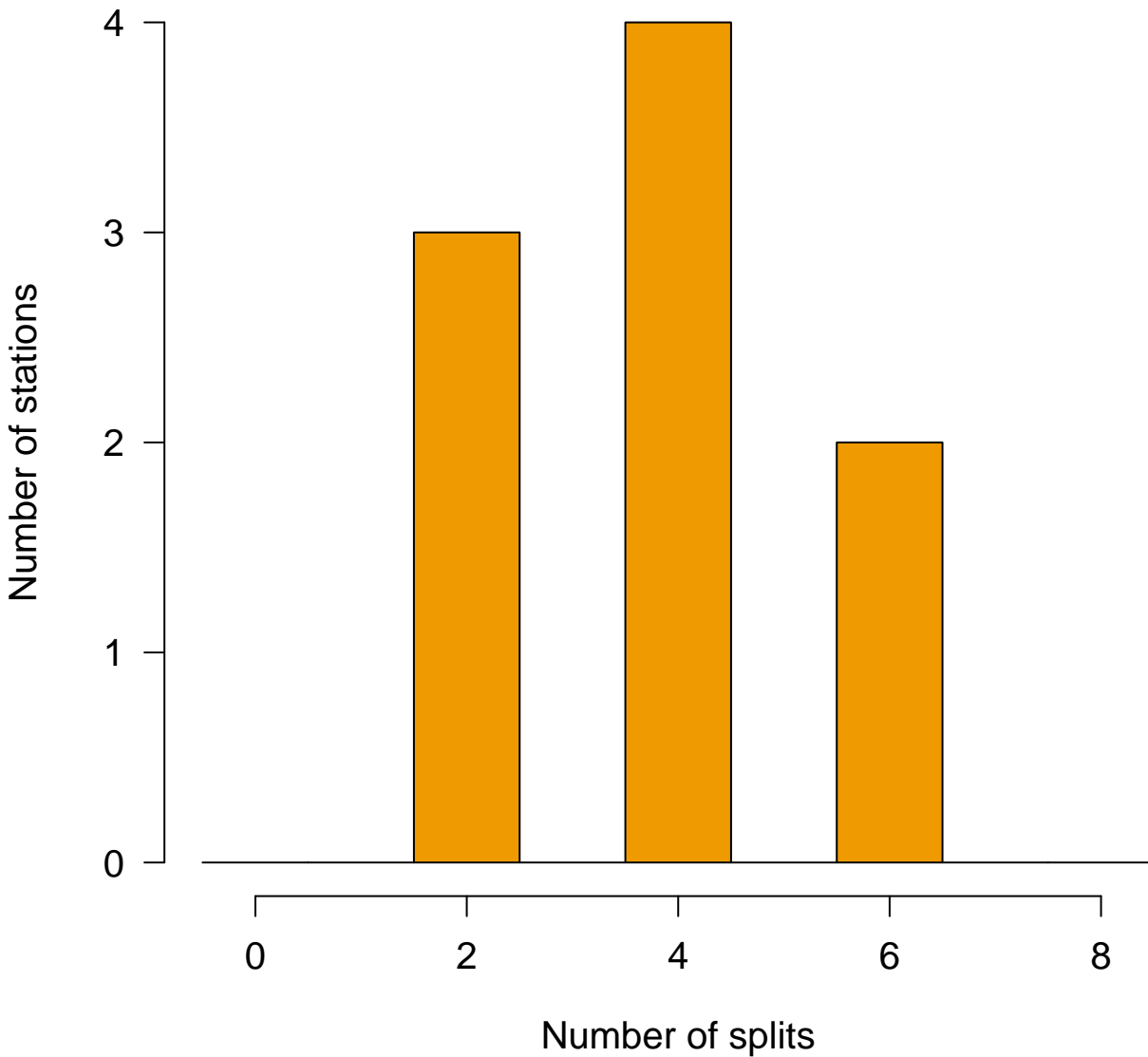
HUANCANE-3



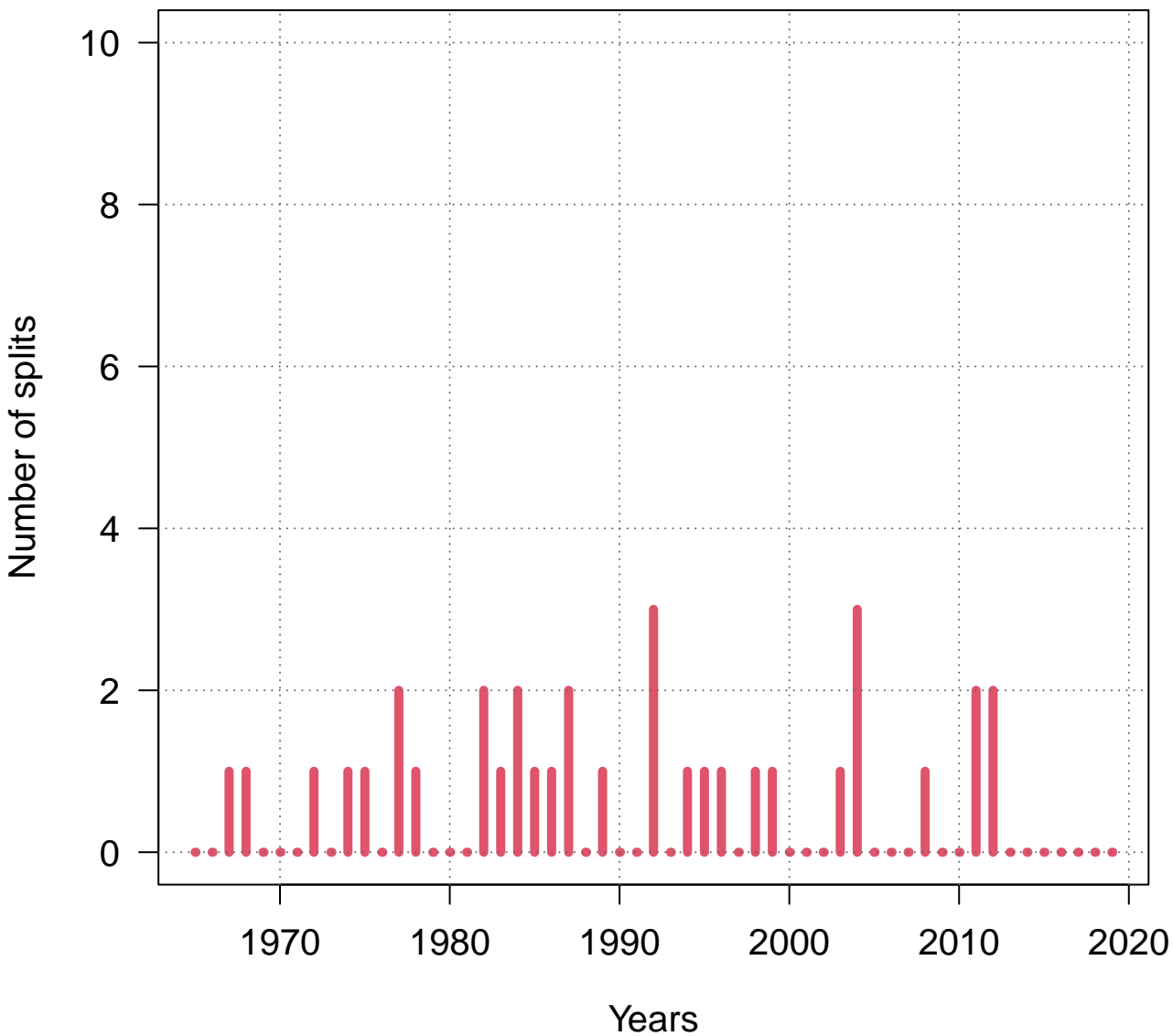
Histogram of maximum SNHT (Stage 2)



Number of splits per station



Number of splits per year

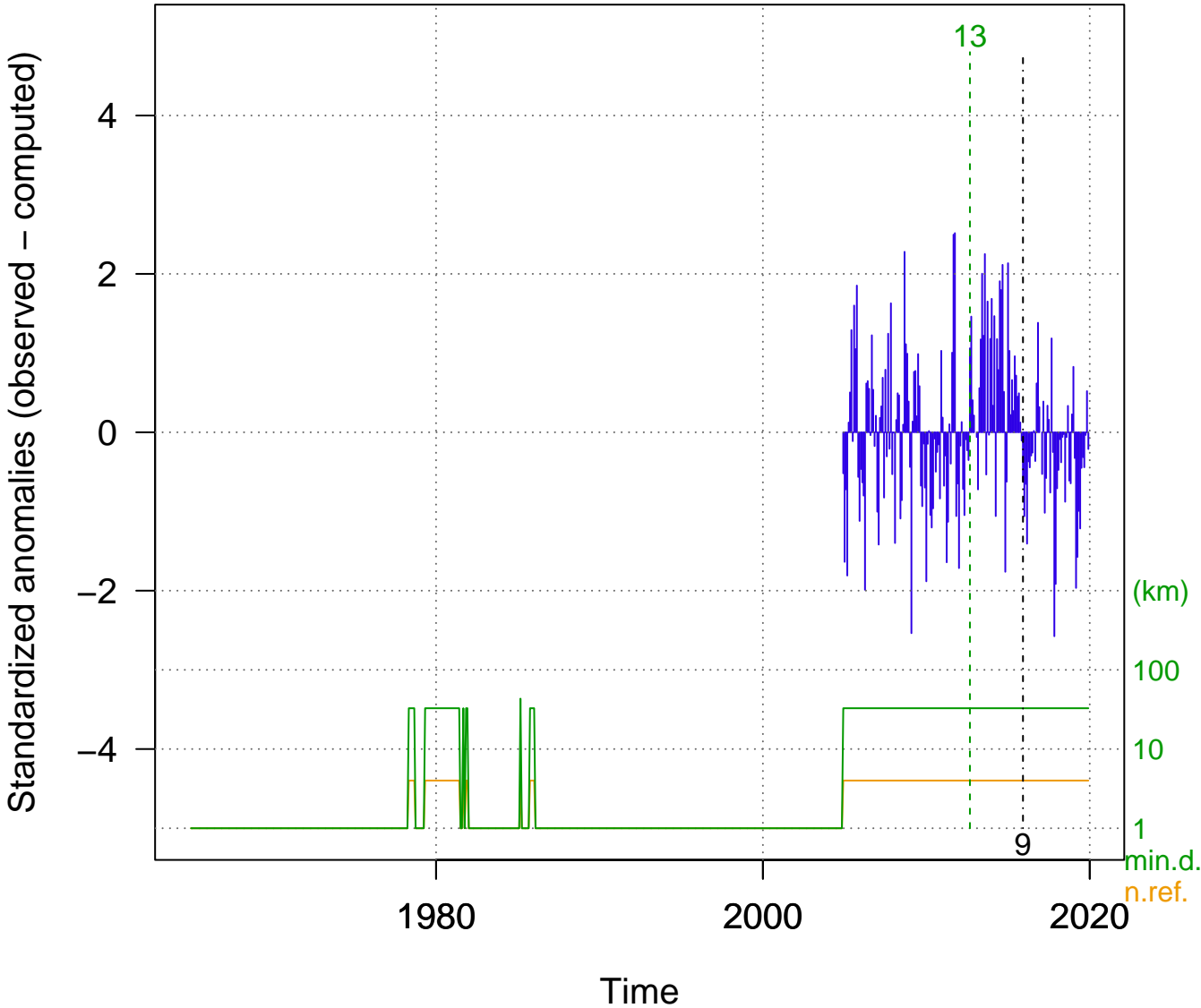


Stage 3

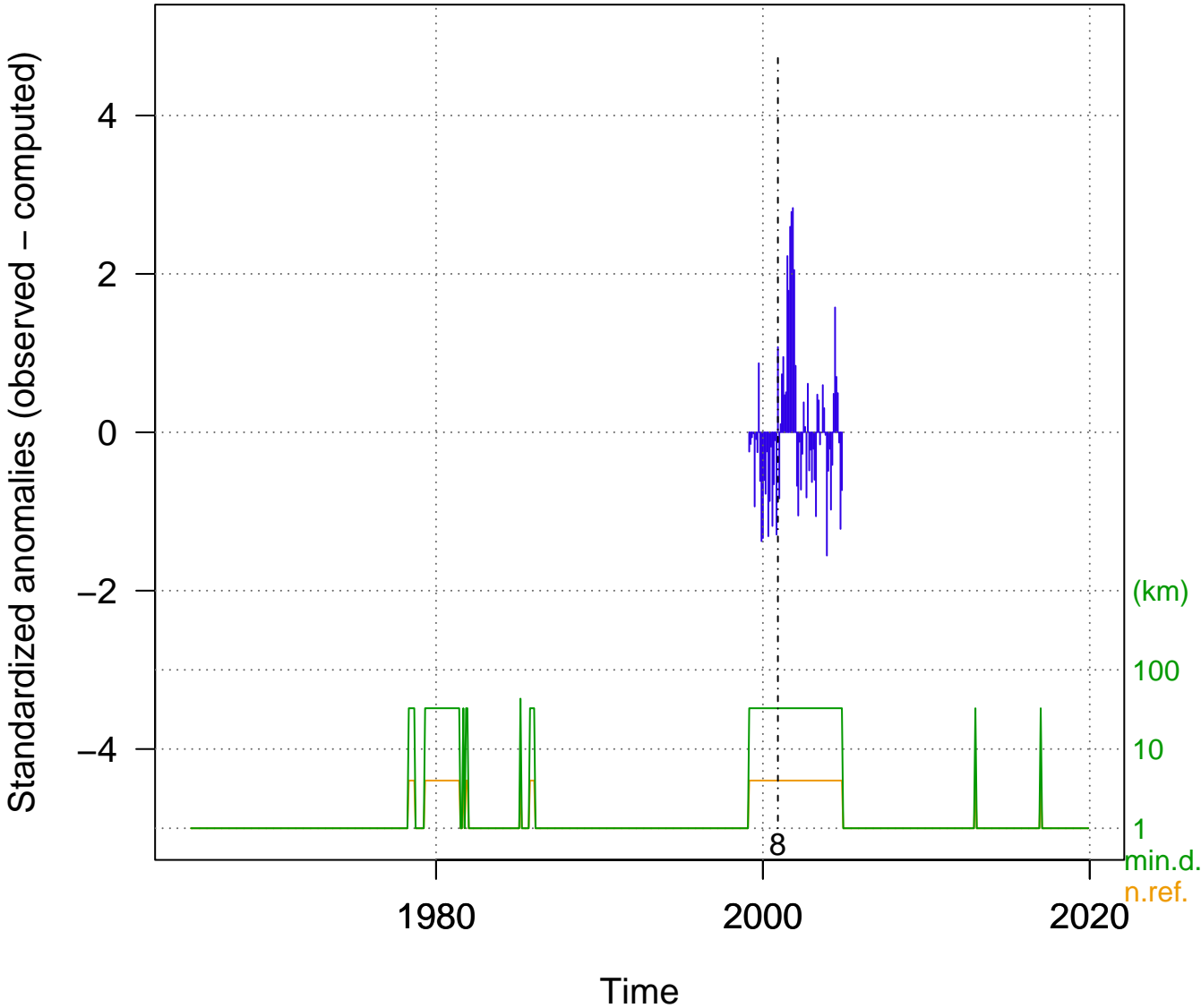
Final anomalies of the
homogenized series with
 $wd = 100$ km and $nref = 4$

tmax-m 1 (ho00000776)

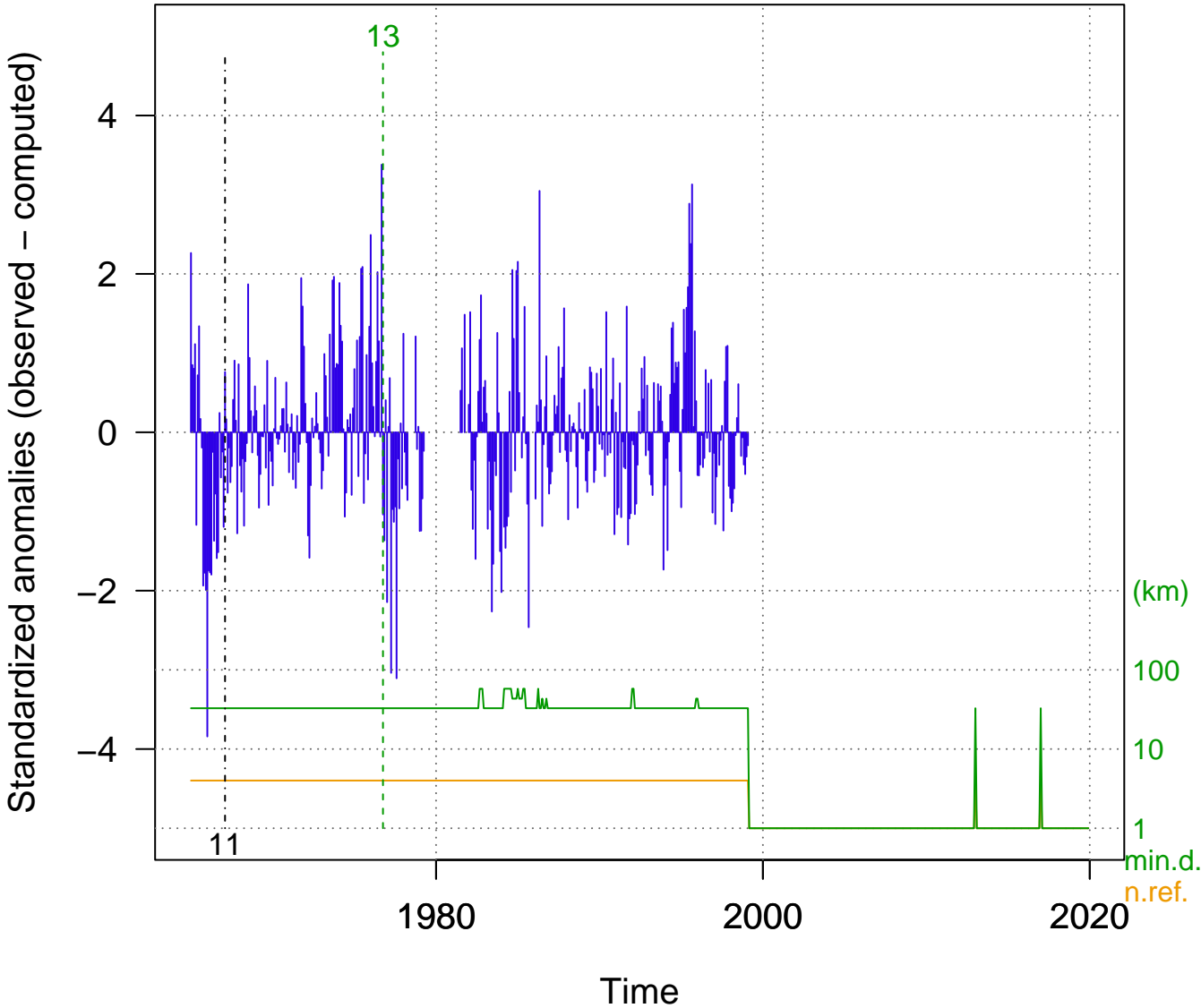
AYAVIRI



tmax-m 33 (ho00000776-2)
AYAVIRI-2

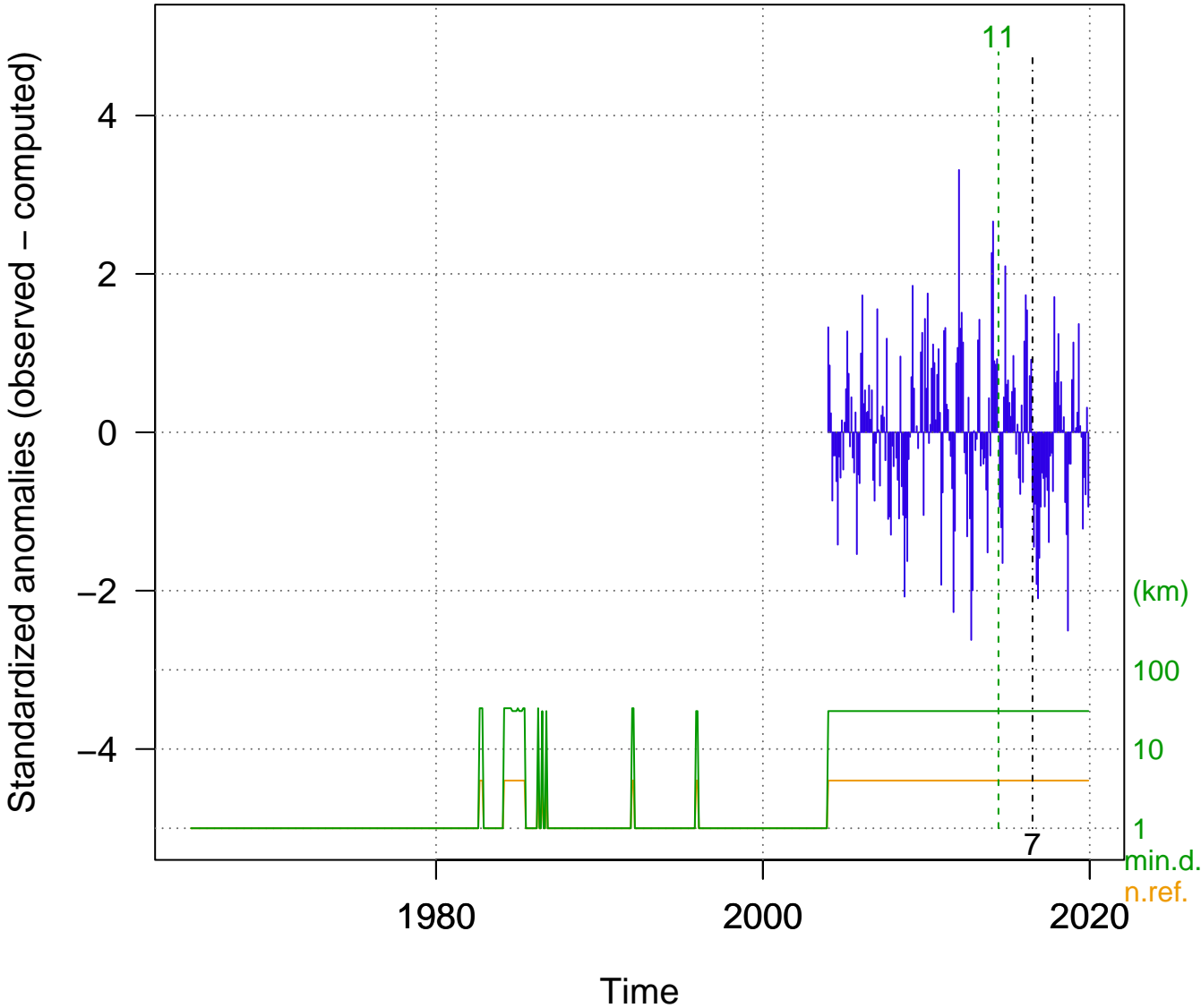


tmax-m 39 (ho00000776-3)
AYAVIRI-3

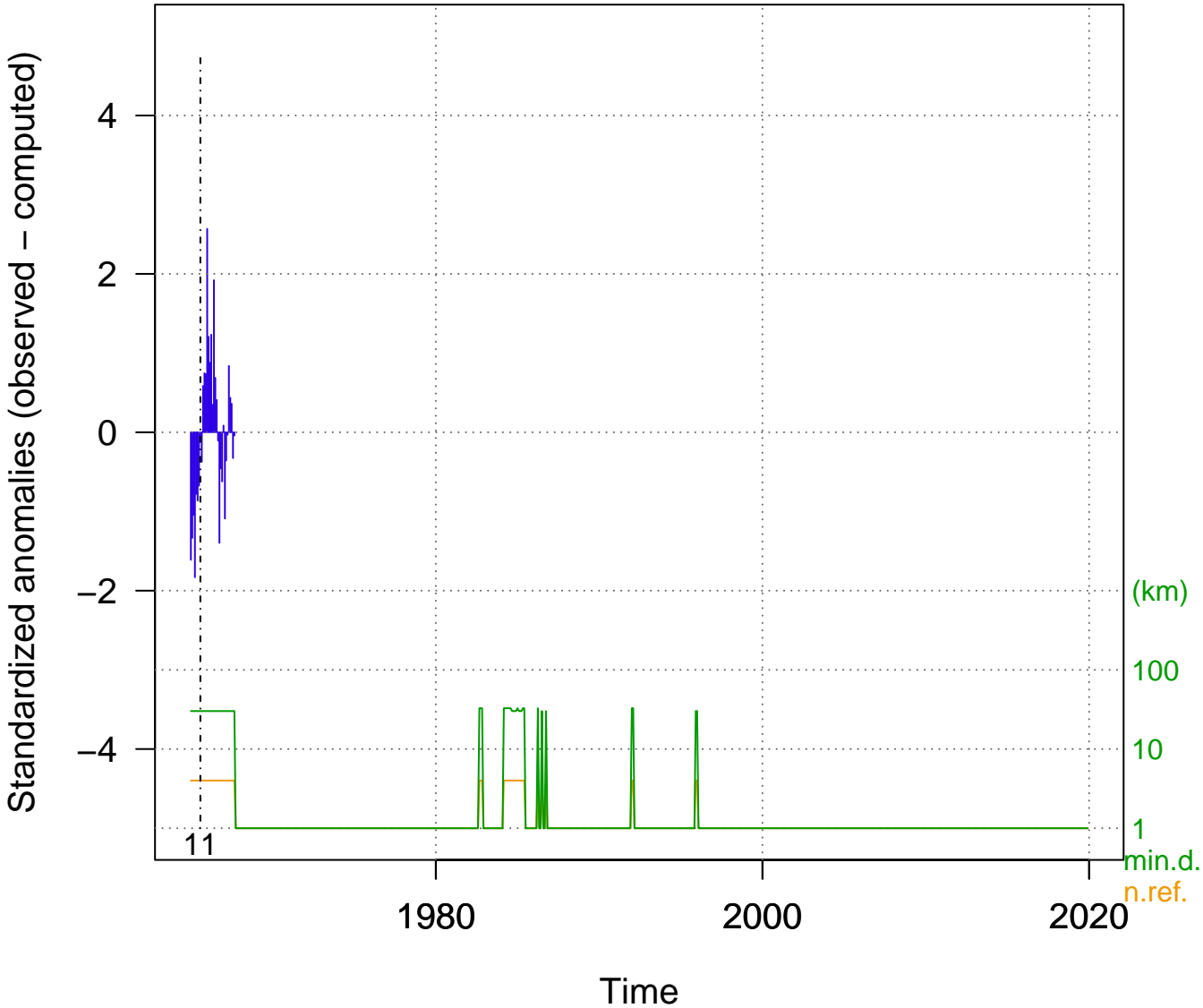


tmax-m 2 (ho00000778)

PROGRESO

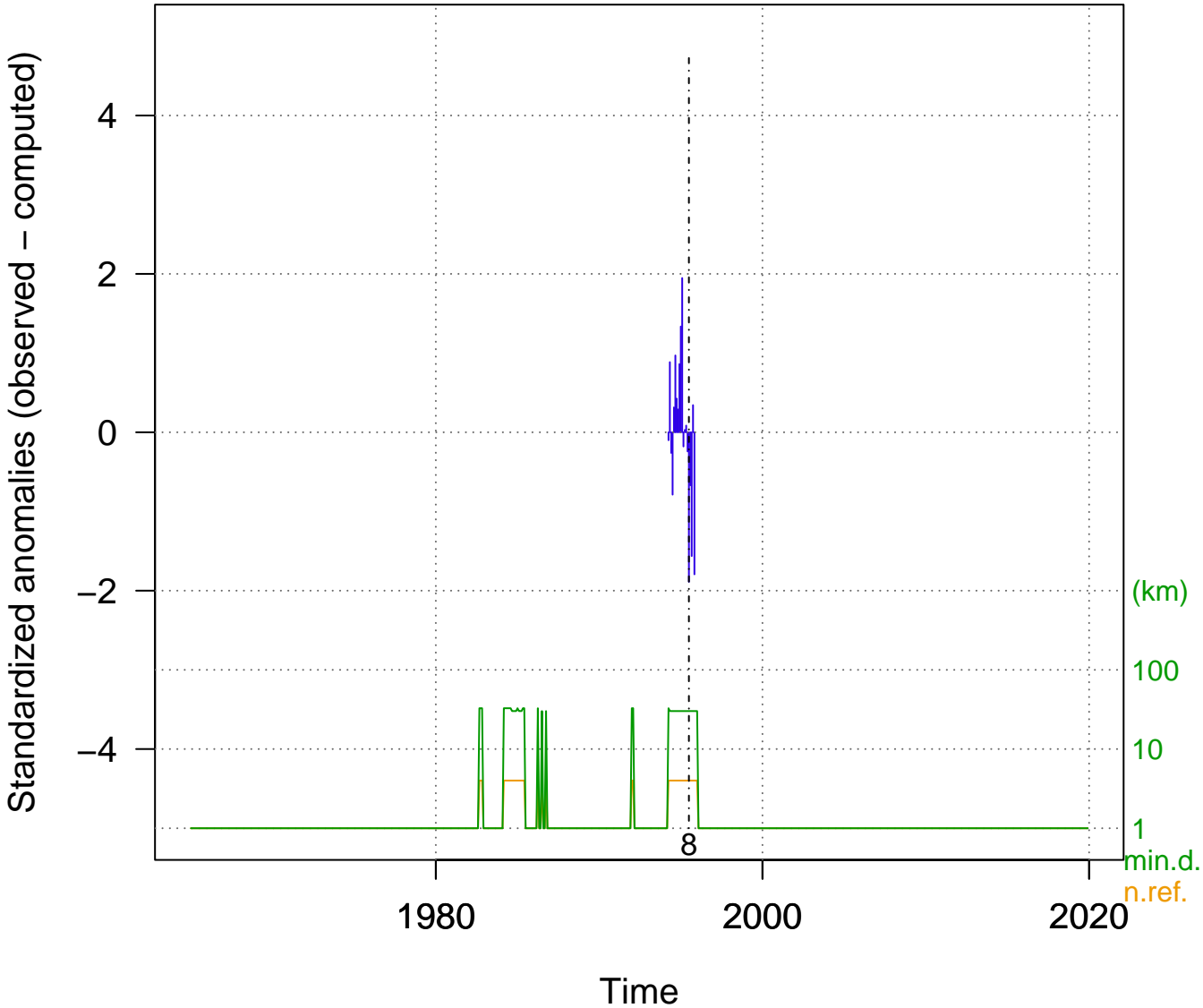


tmax-m 18 (ho00000778-2)
PROGRESO-2



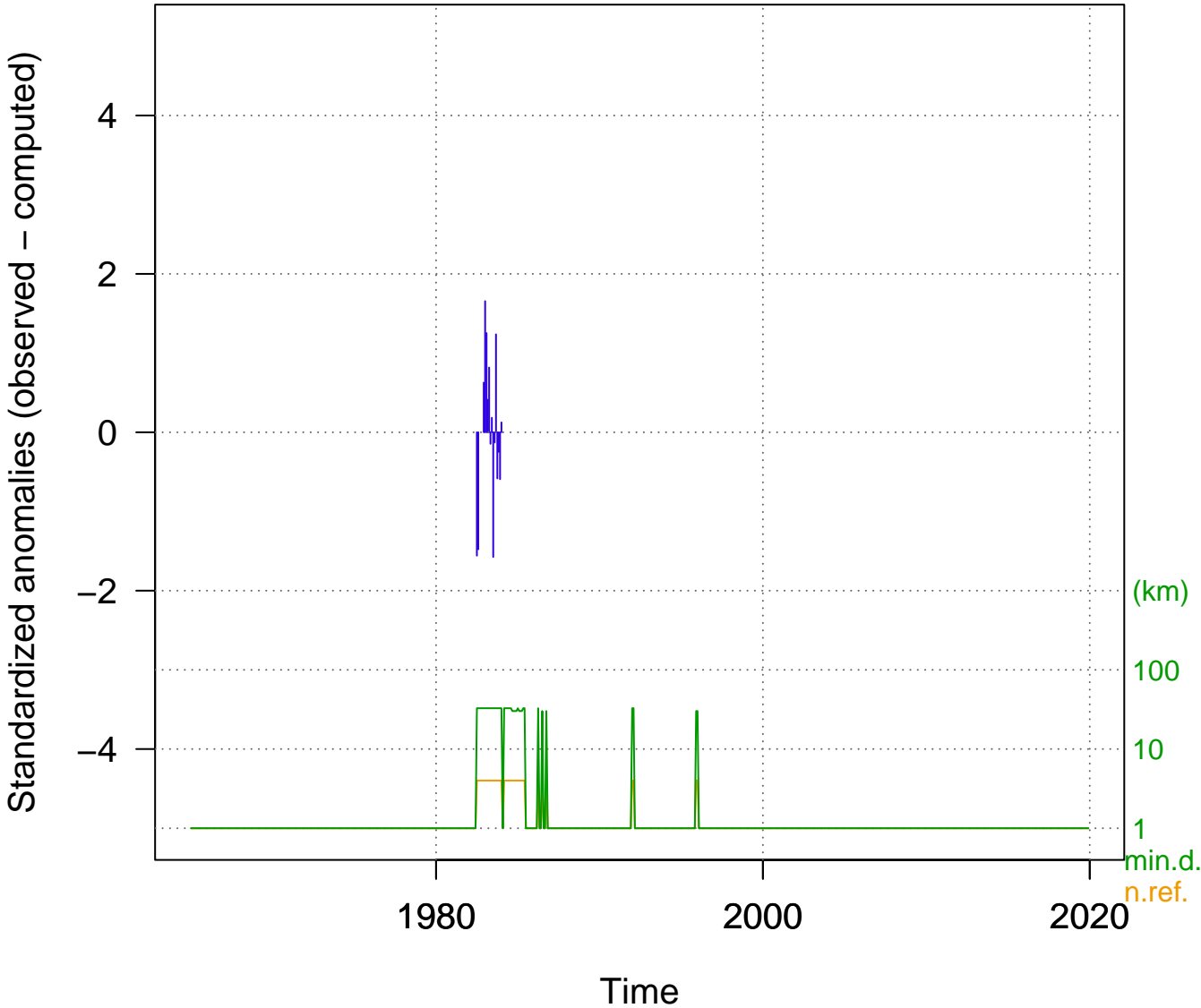
tmax-m 19 (ho00000778-3)

PROGRESO-3

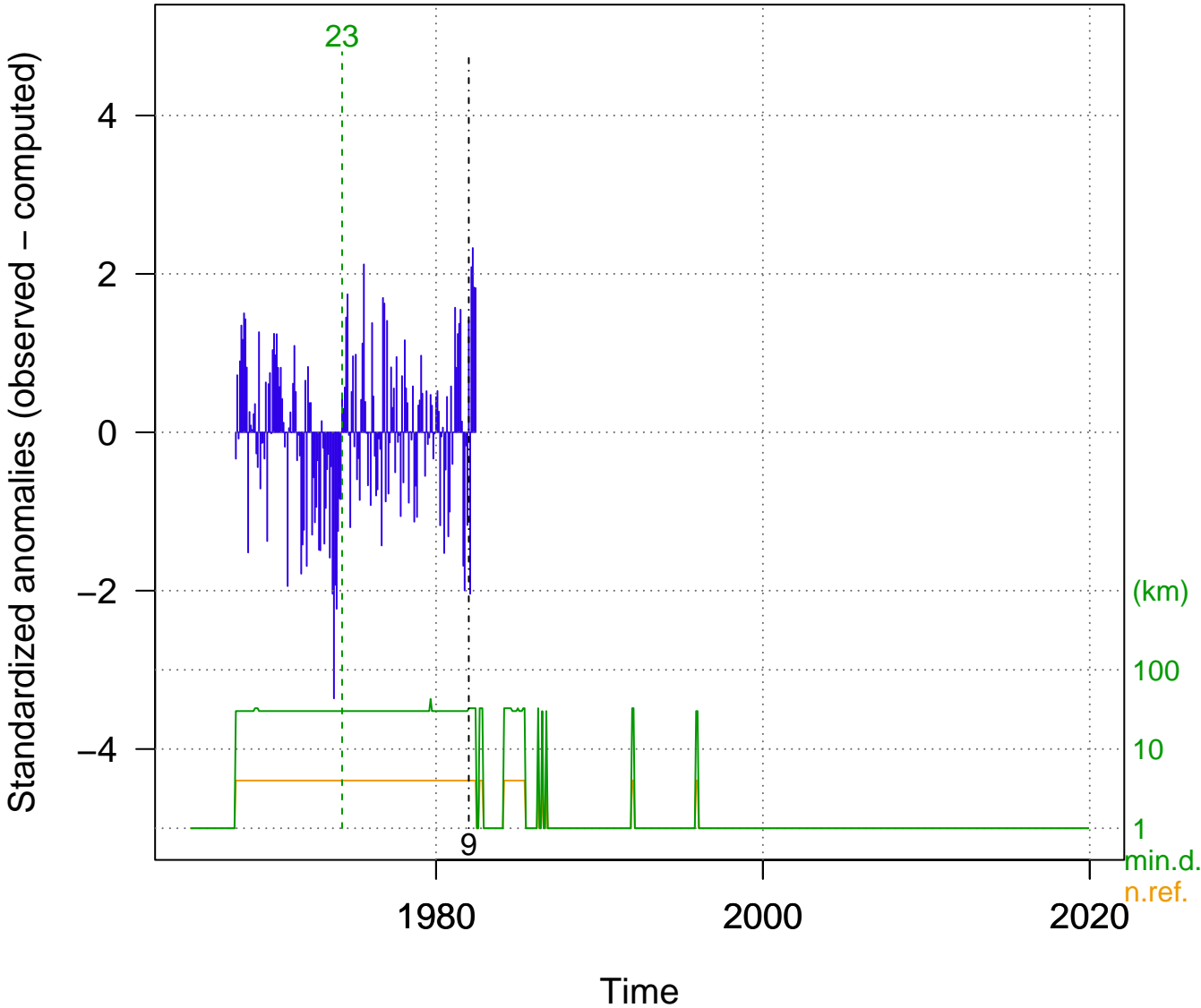


tmax-m 22 (ho00000778-4)

PROGRESO-4

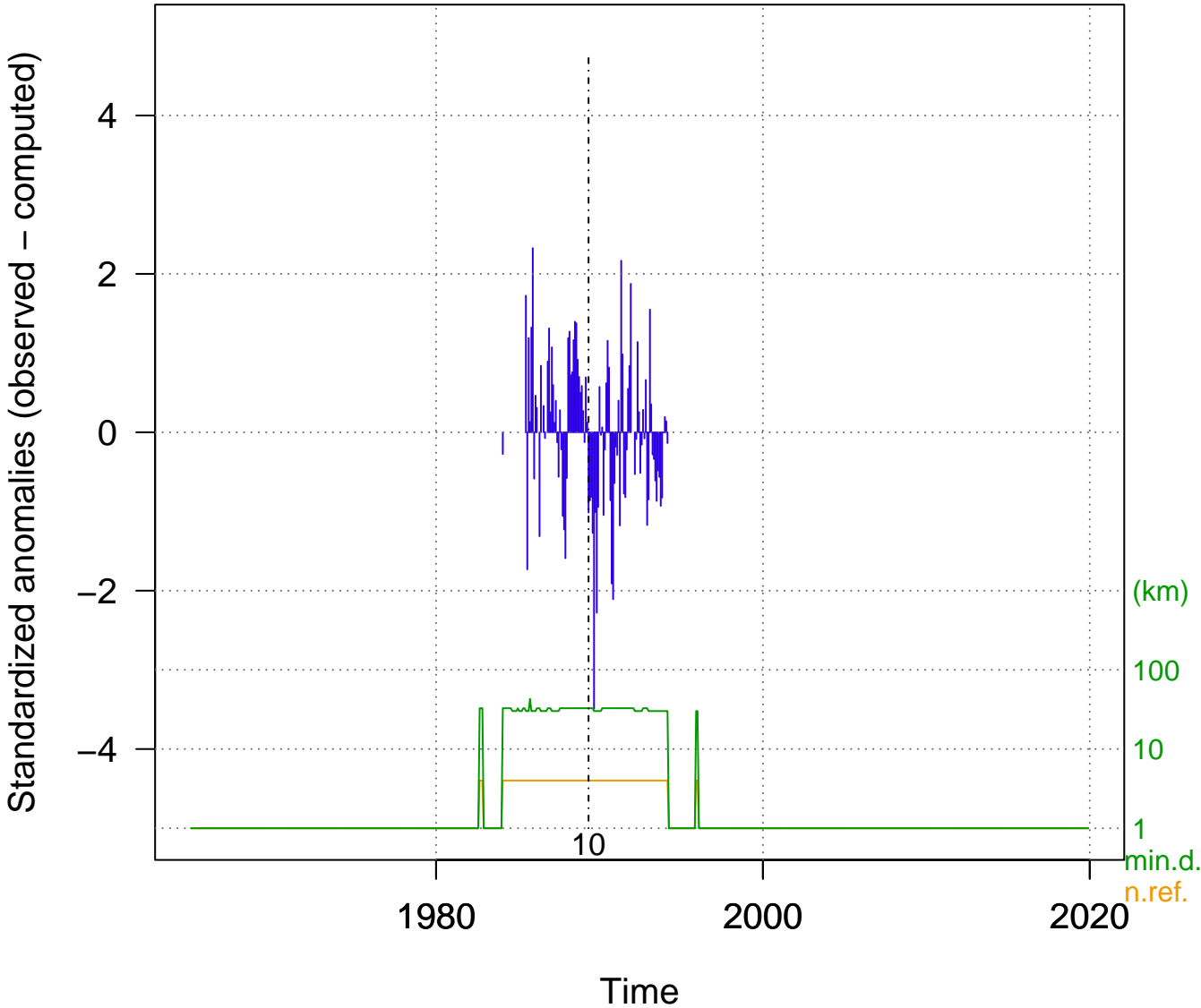


tmax-m 24 (ho00000778-5)
PROGRESO-5



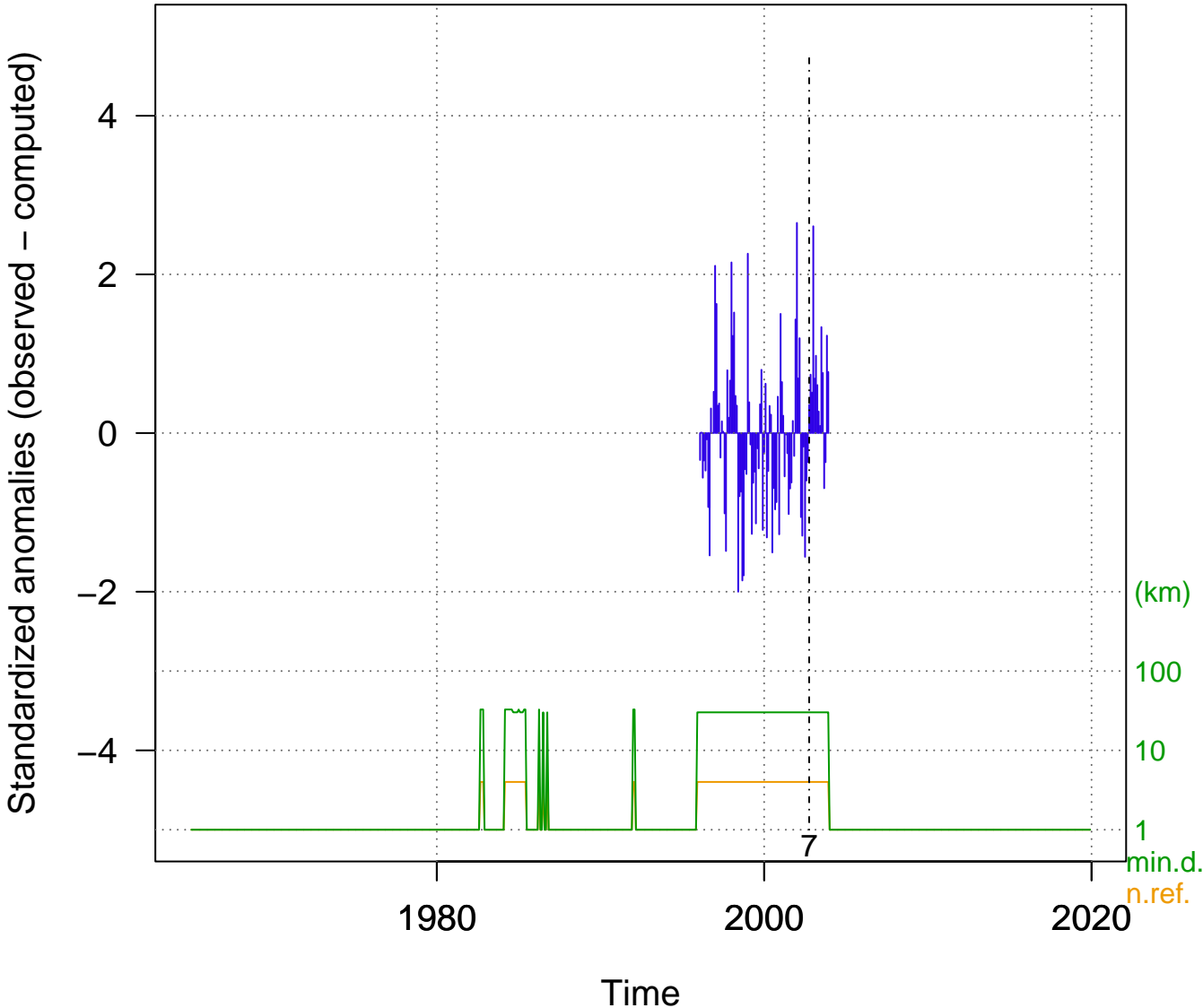
tmax-m 25 (ho00000778-6)

PROGRESO-6



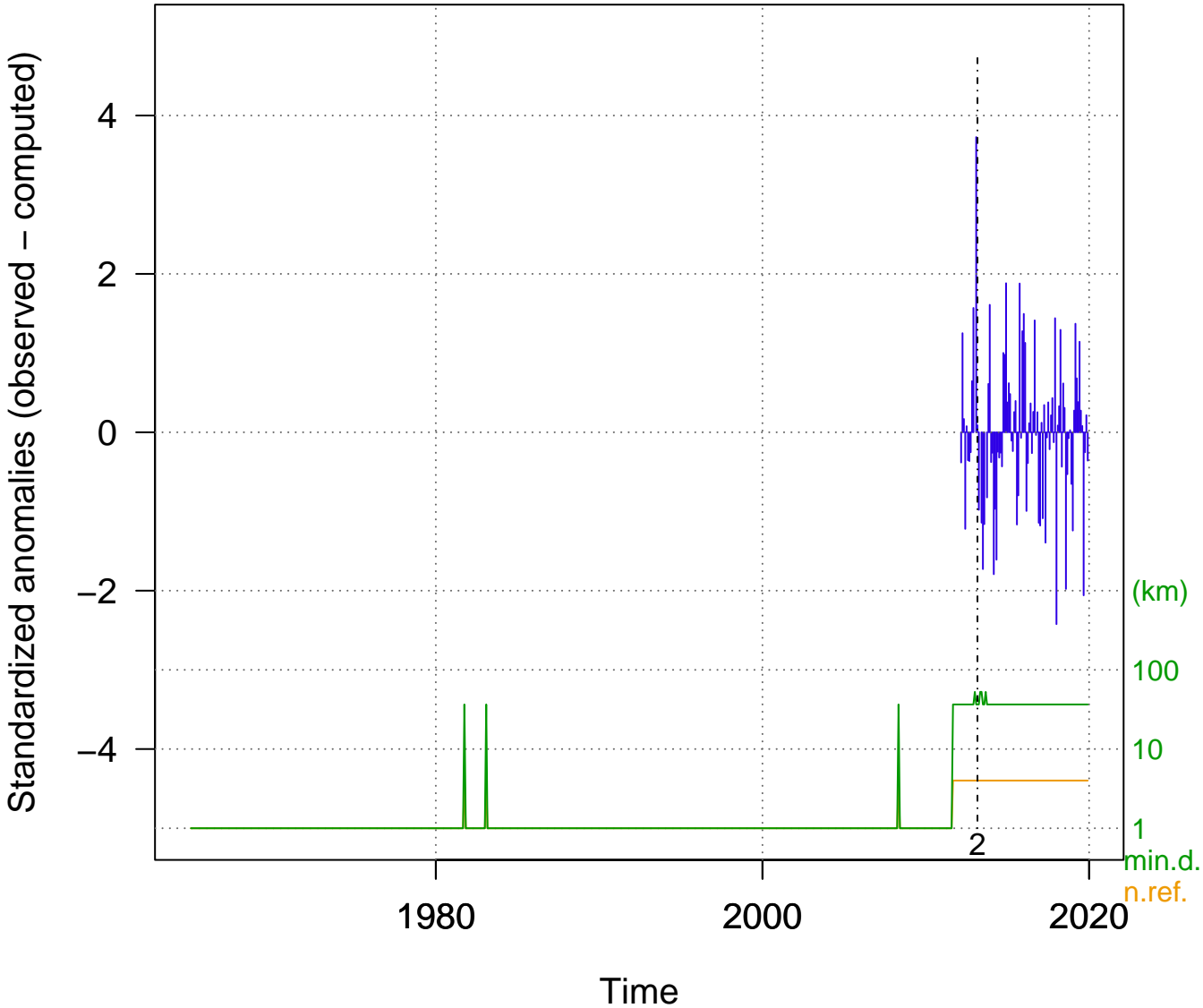
tmax-m 34 (ho00000778-7)

PROGRESO-7

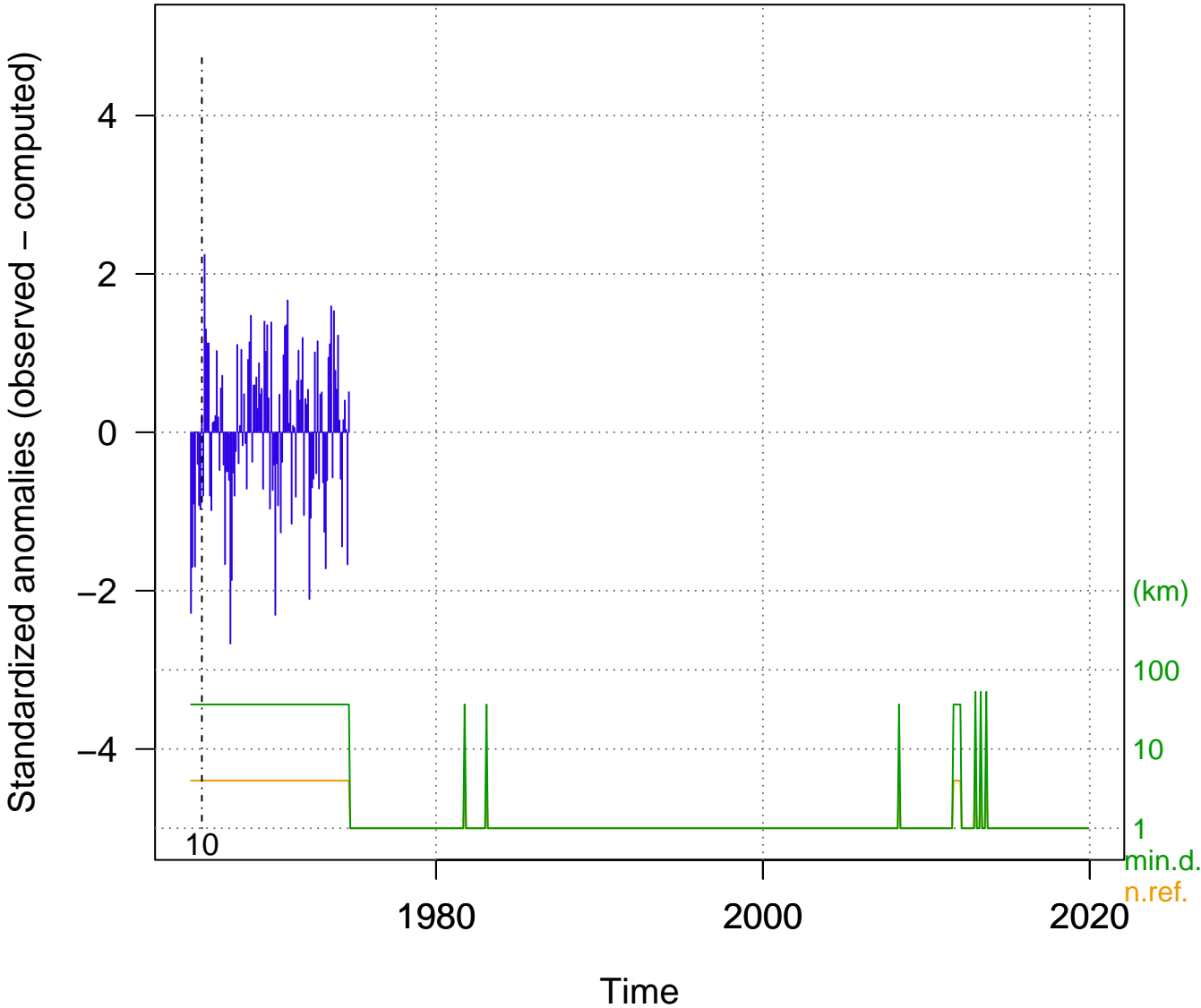


tmax-m 3 (ho00000779)

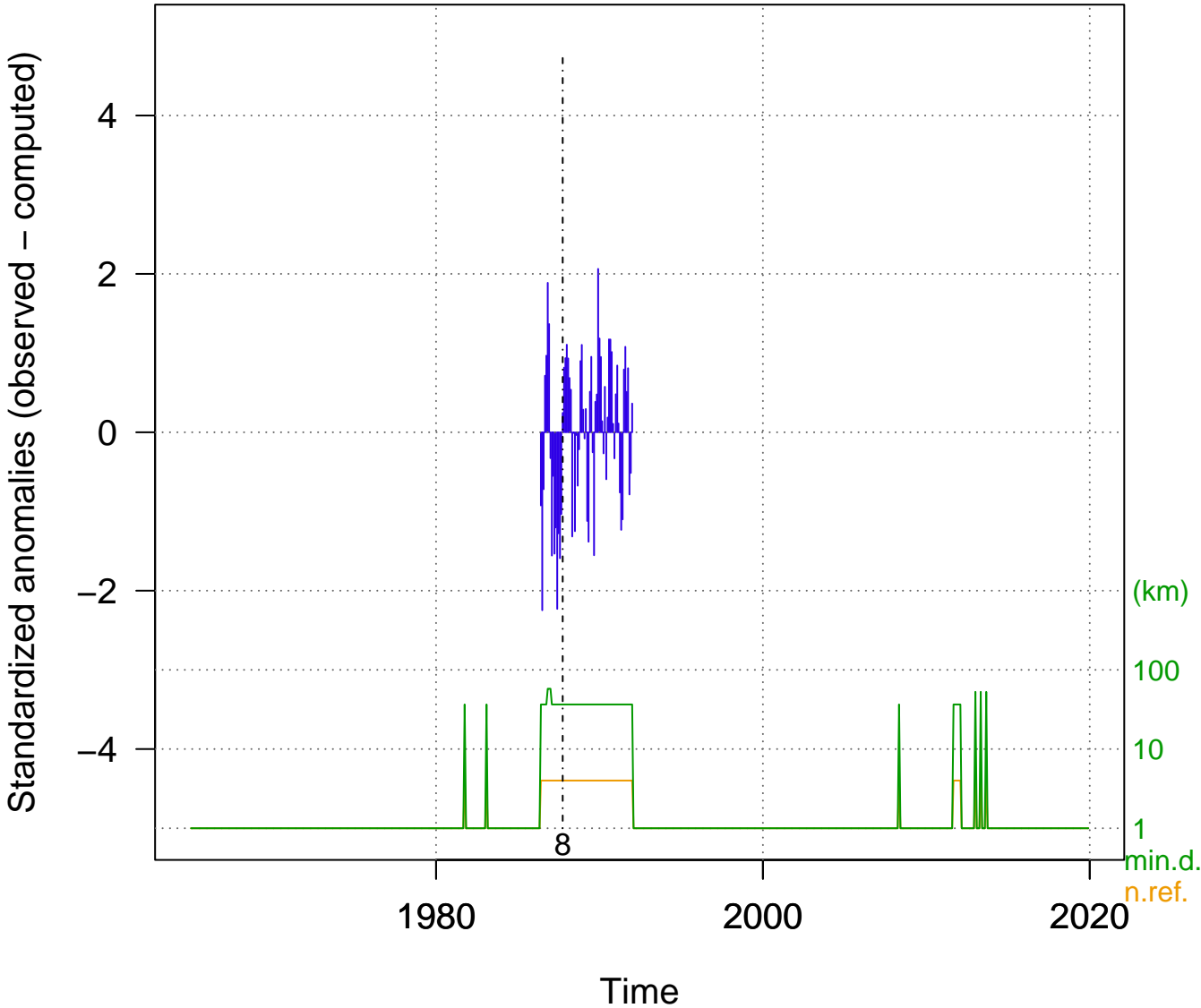
LAMPA



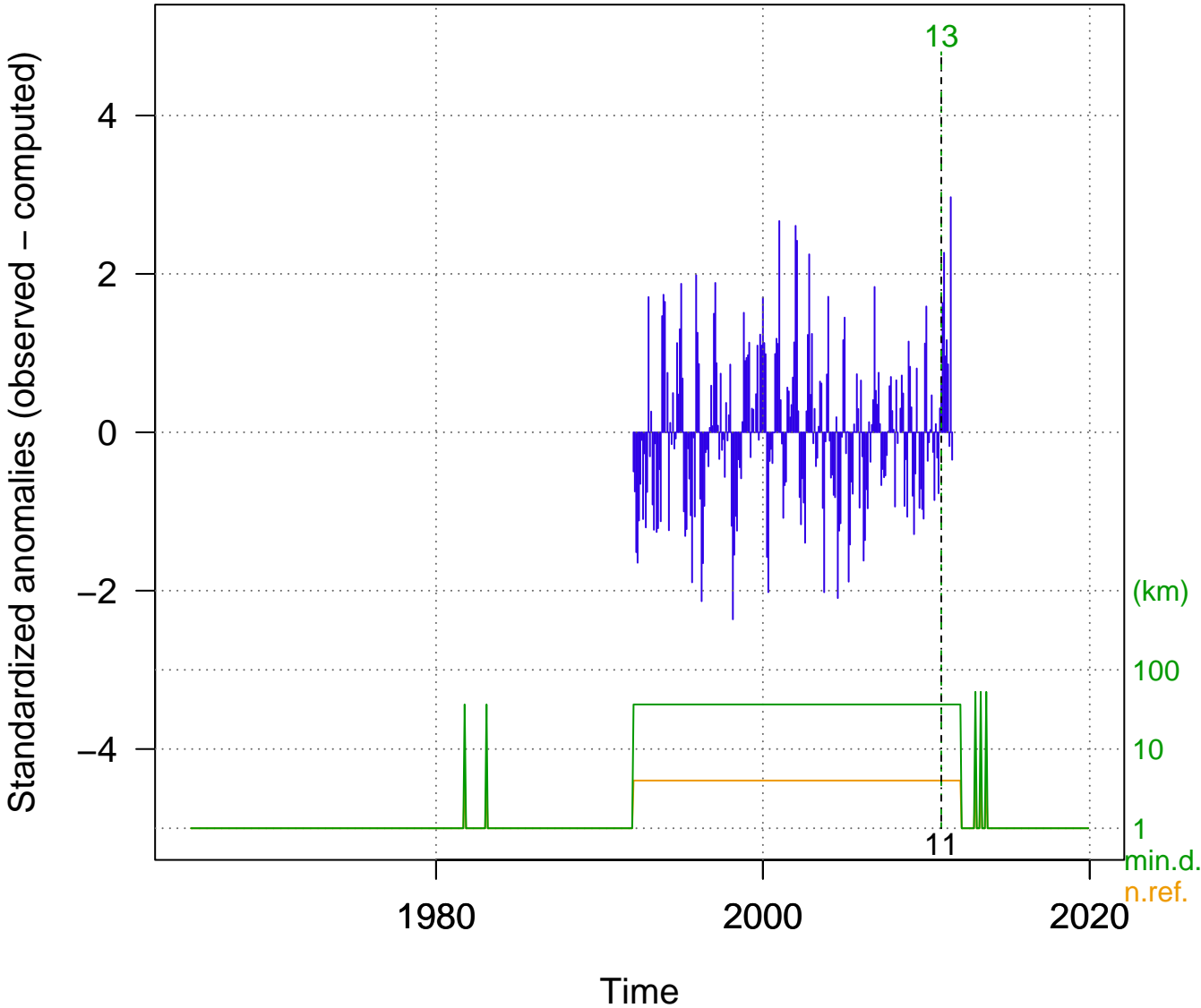
tmax-m 17 (ho00000779-2)
LAMPA-2



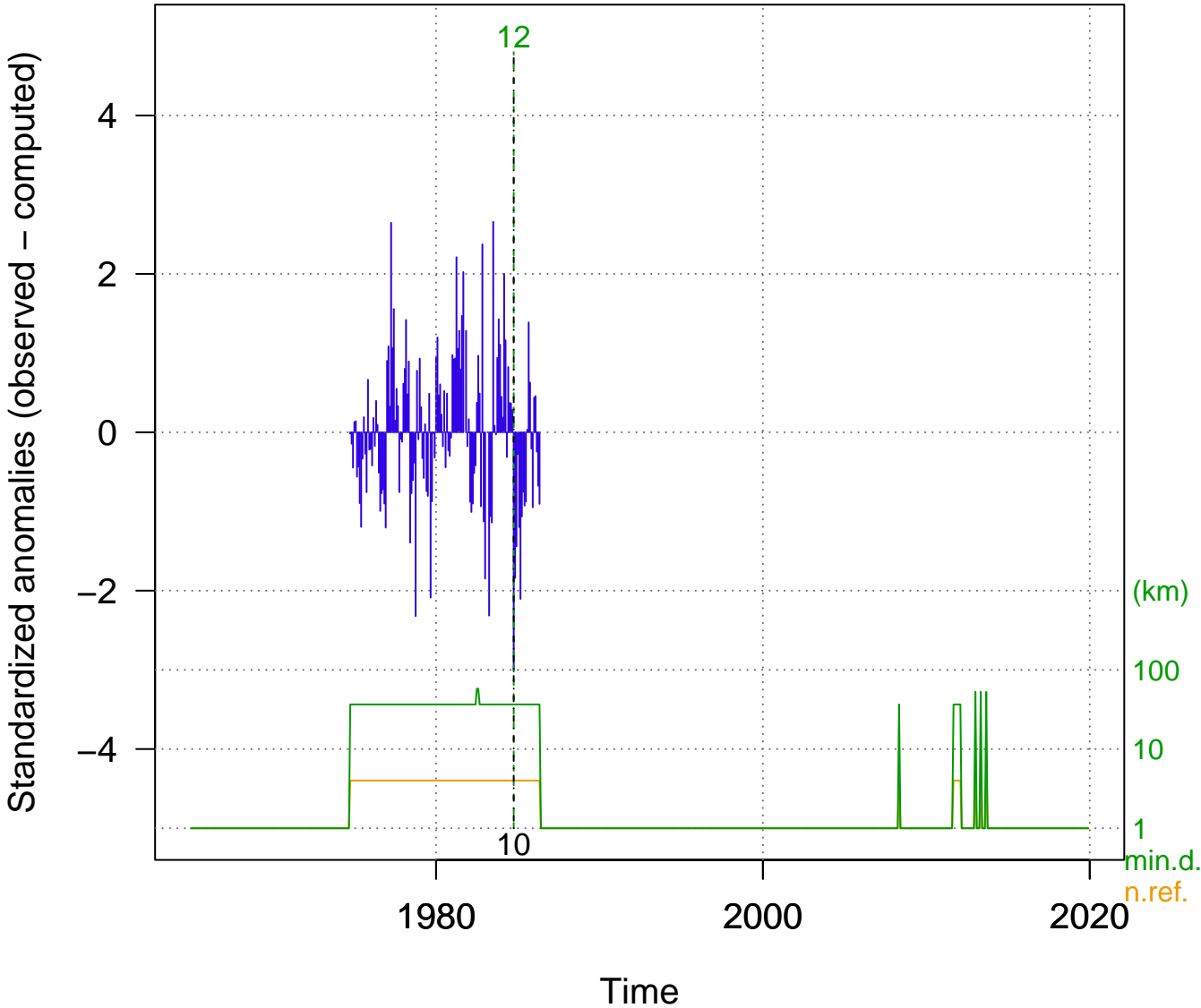
tmax-m 21 (ho00000779-3)
LAMPA-3



tmax-m 23 (ho00000779-4)
LAMPA-4

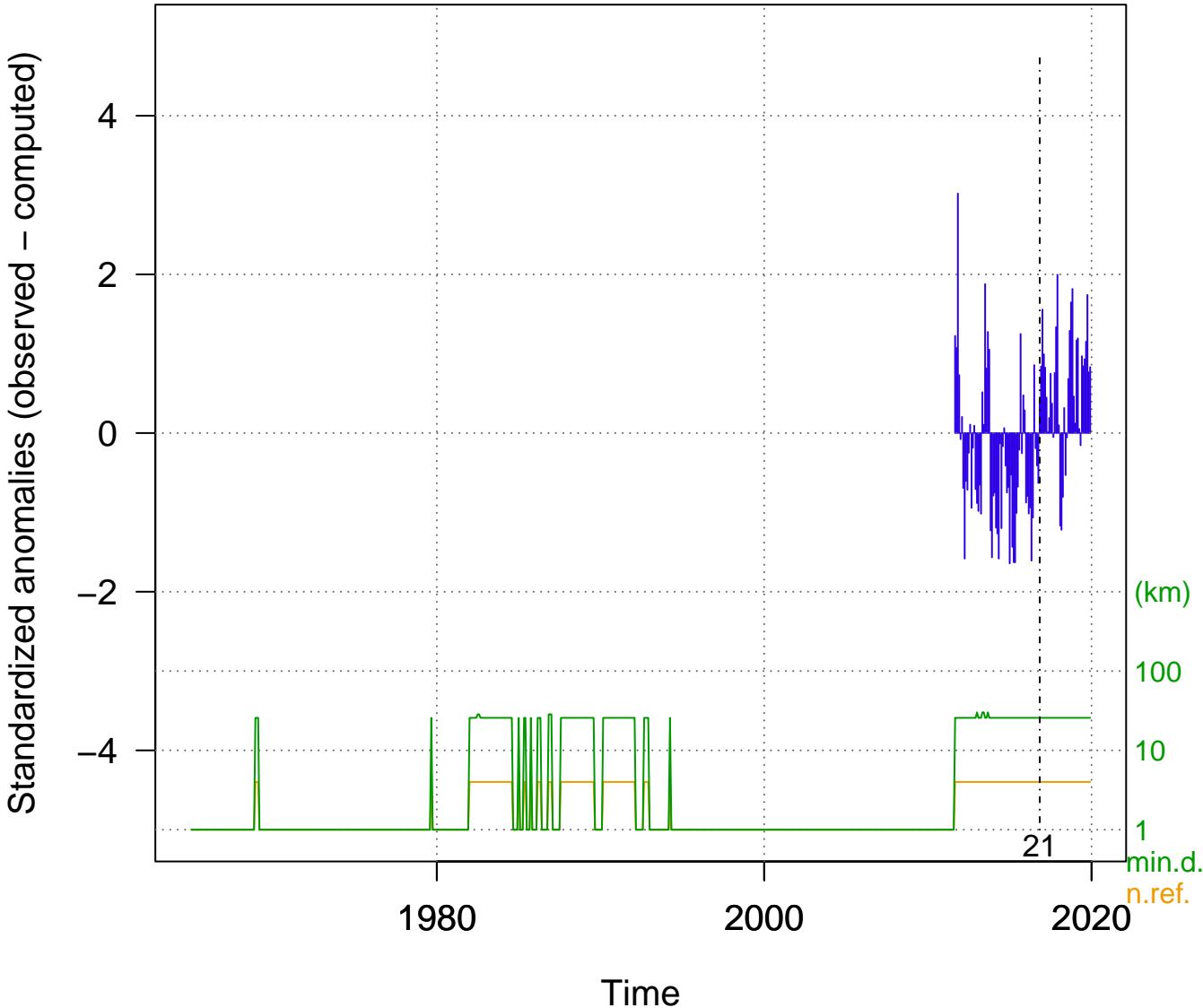


tmax-m 27 (ho00000779-5)
LAMPA-5

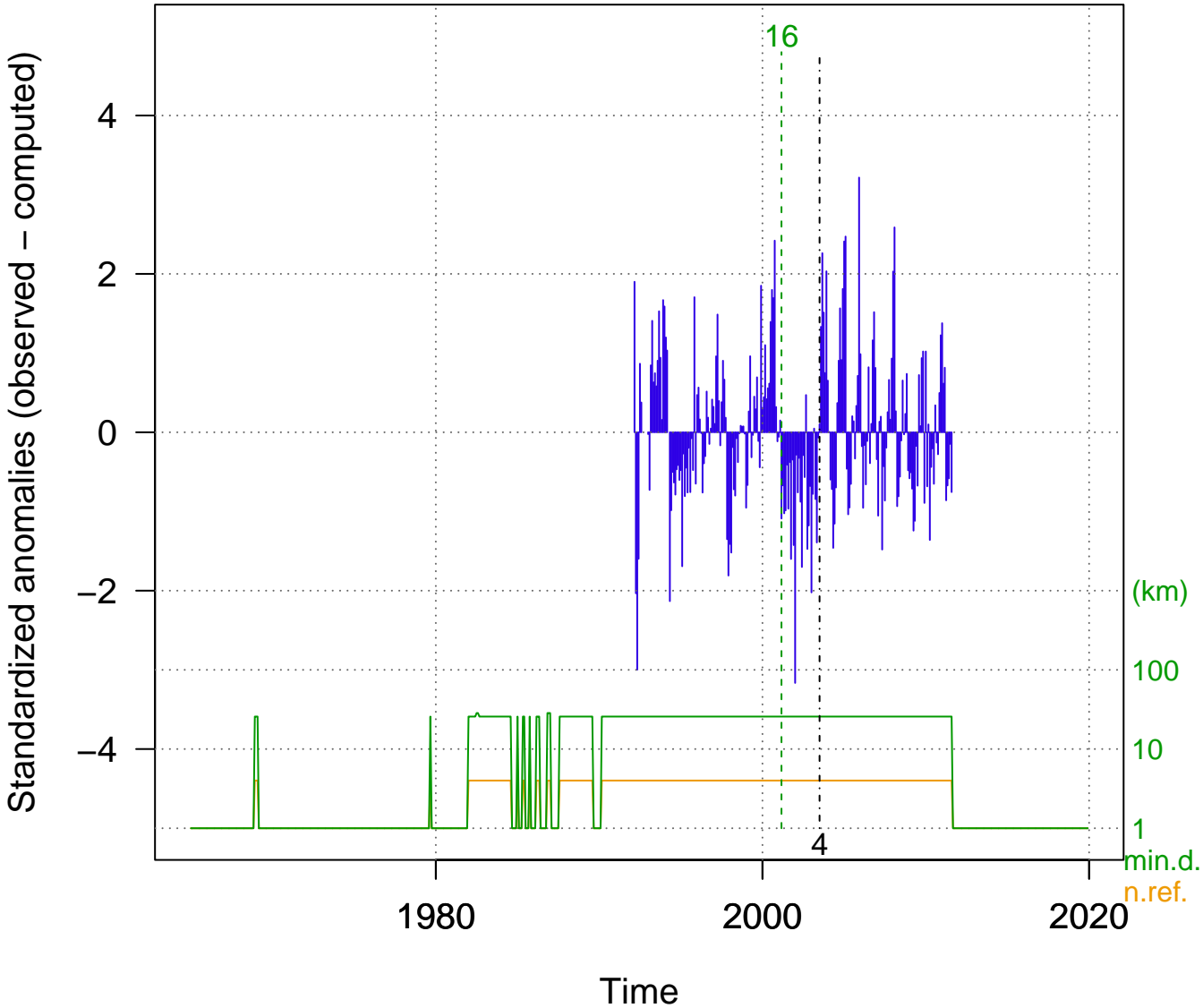


tmax-m 4 (ho00000781)

AZANGARO

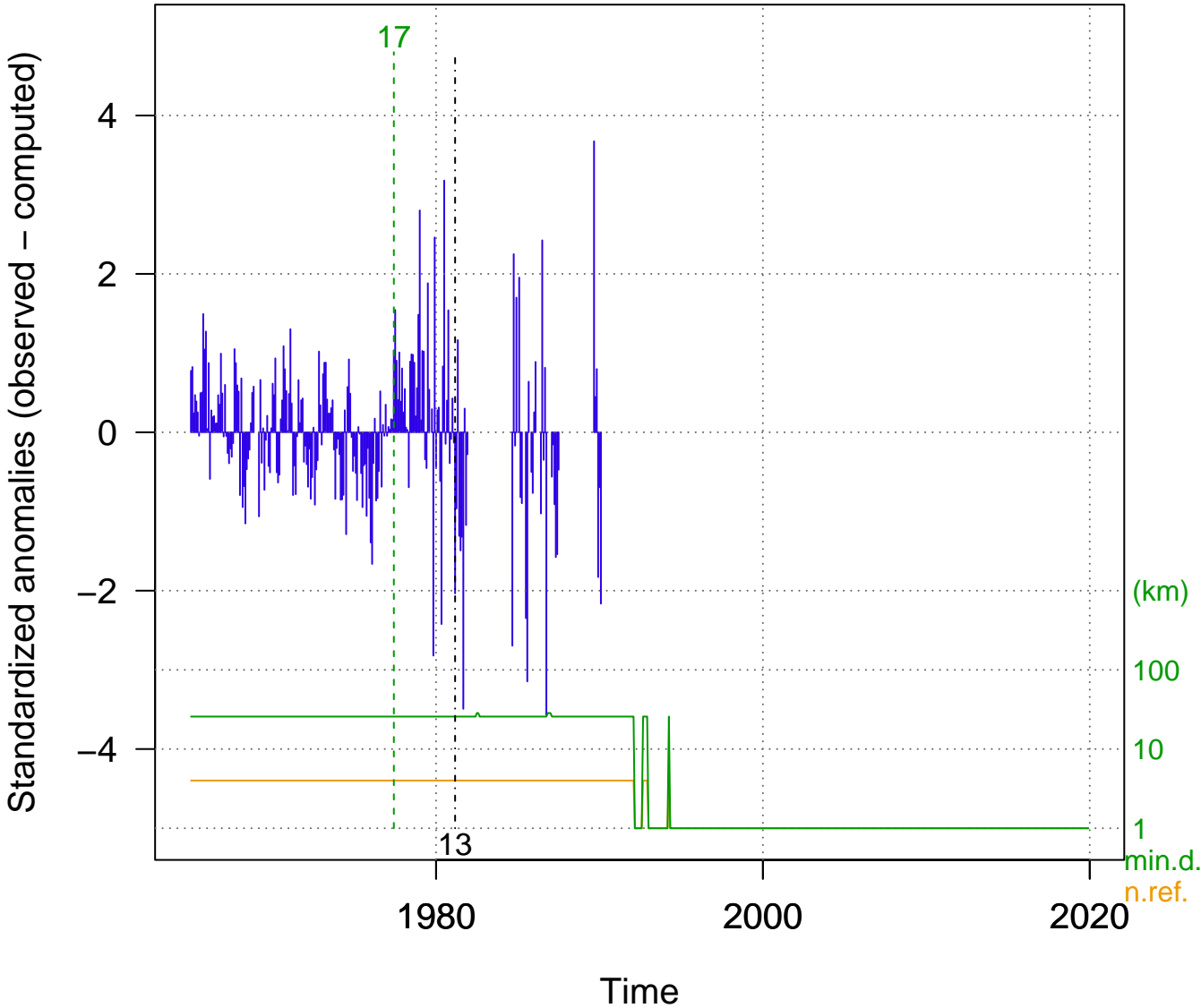


tmax-m 12 (ho00000781-2)
AZANGARO-2



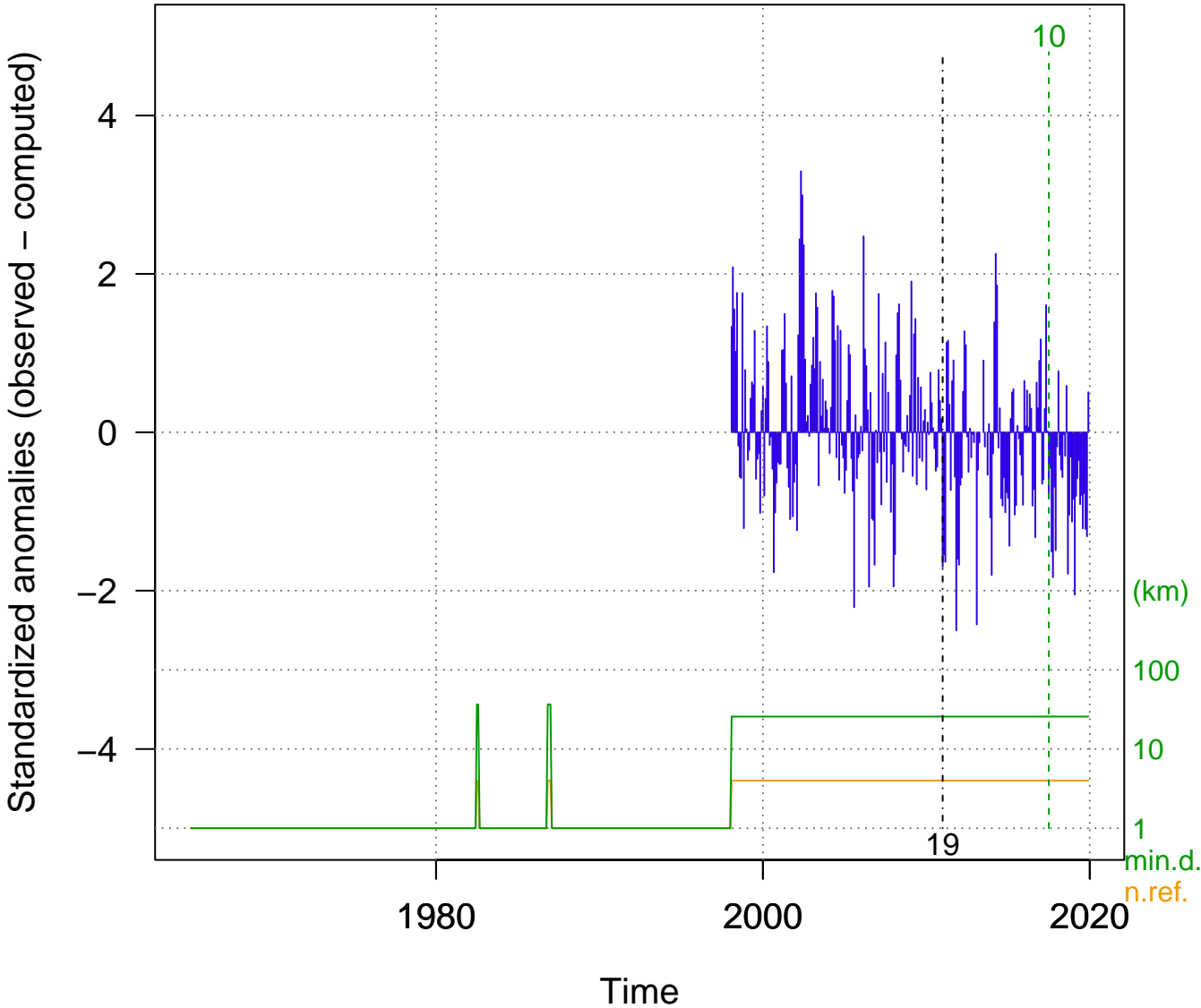
tmax-m 36 (ho00000781-3)

AZANGARO-3



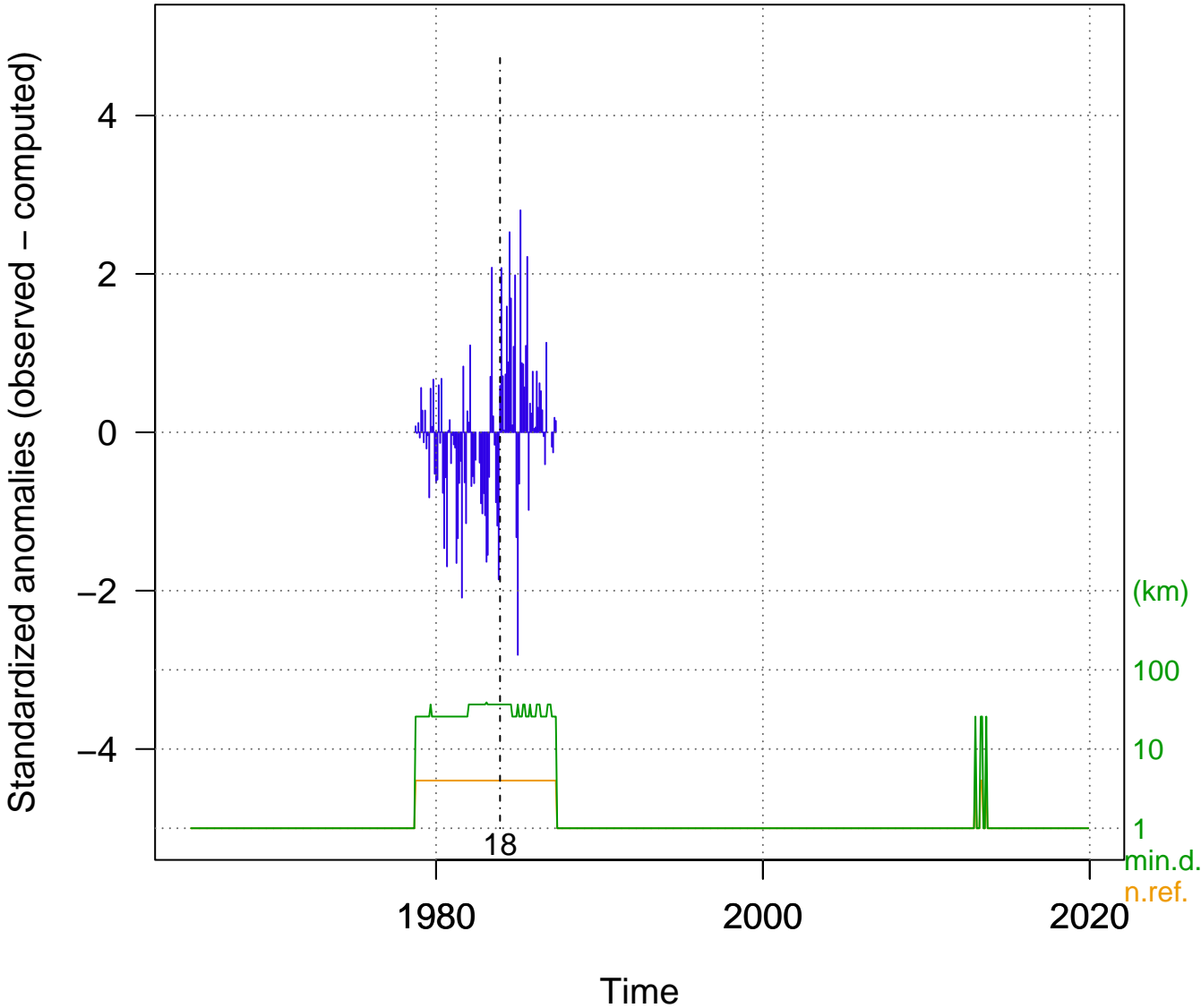
tmax-m 5 (ho00000783)

ARAPA

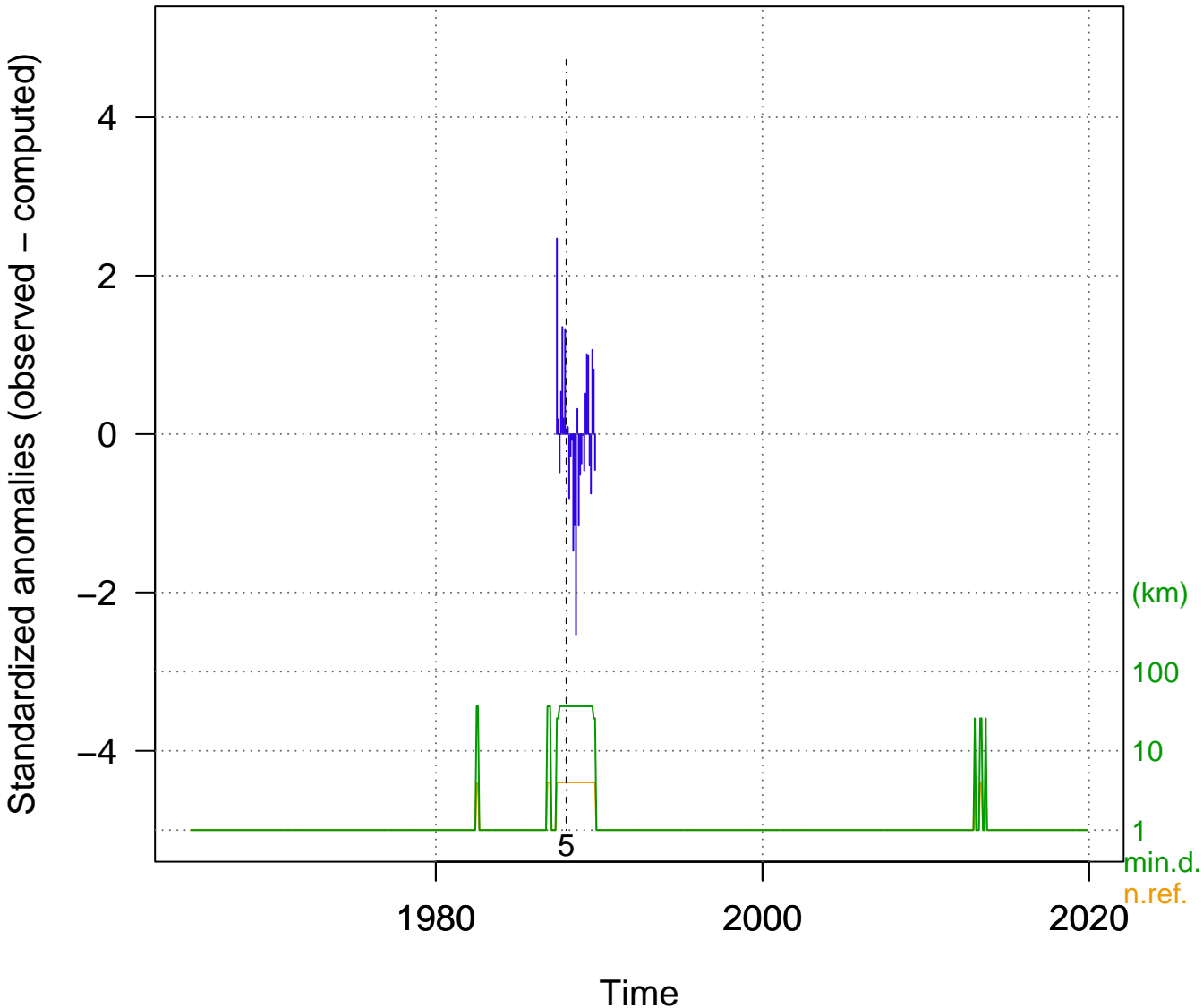


tmax-m 13 (ho00000783-2)

ARAPA-2

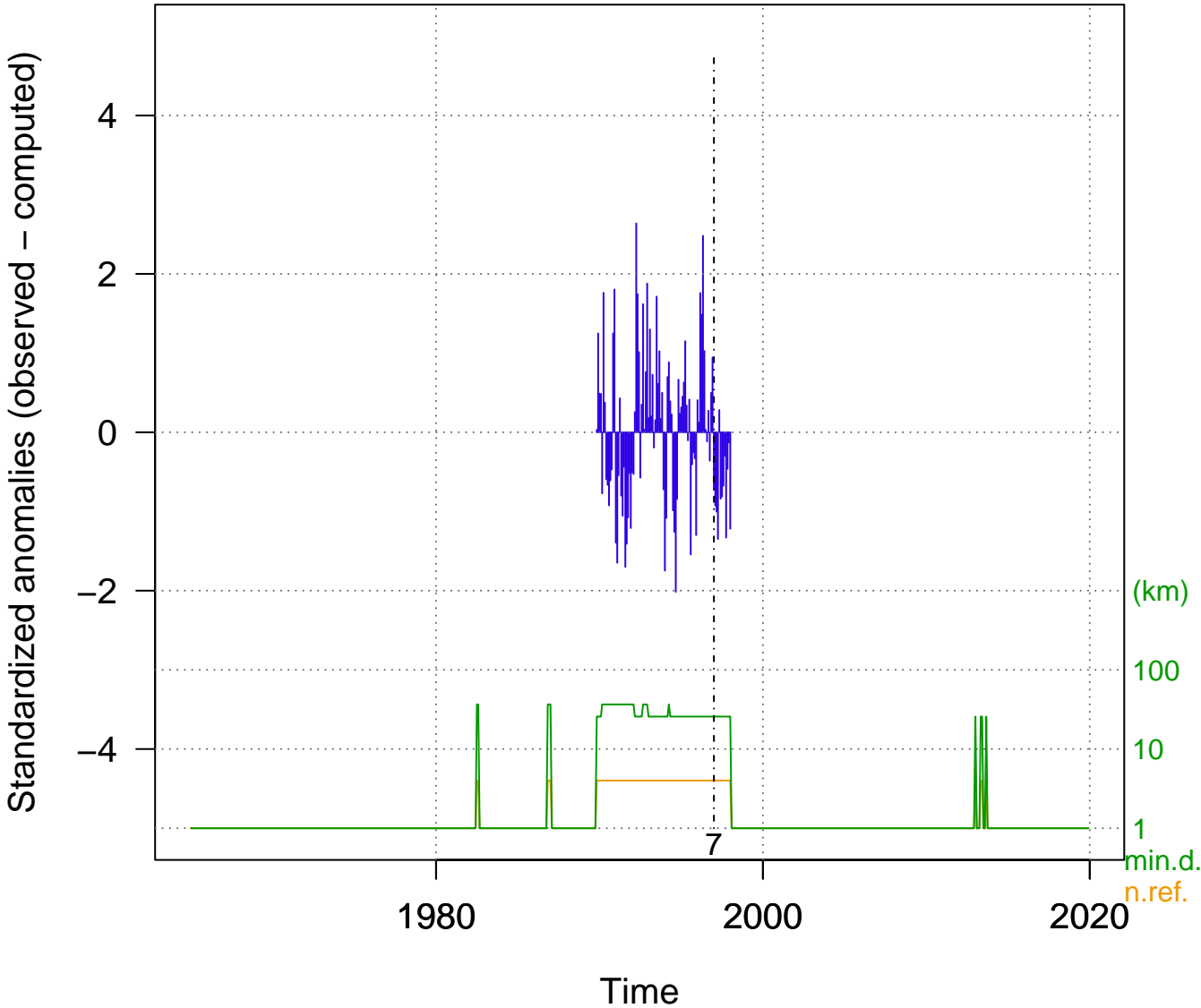


tmax-m 26 (ho00000783-3)
ARAPA-3



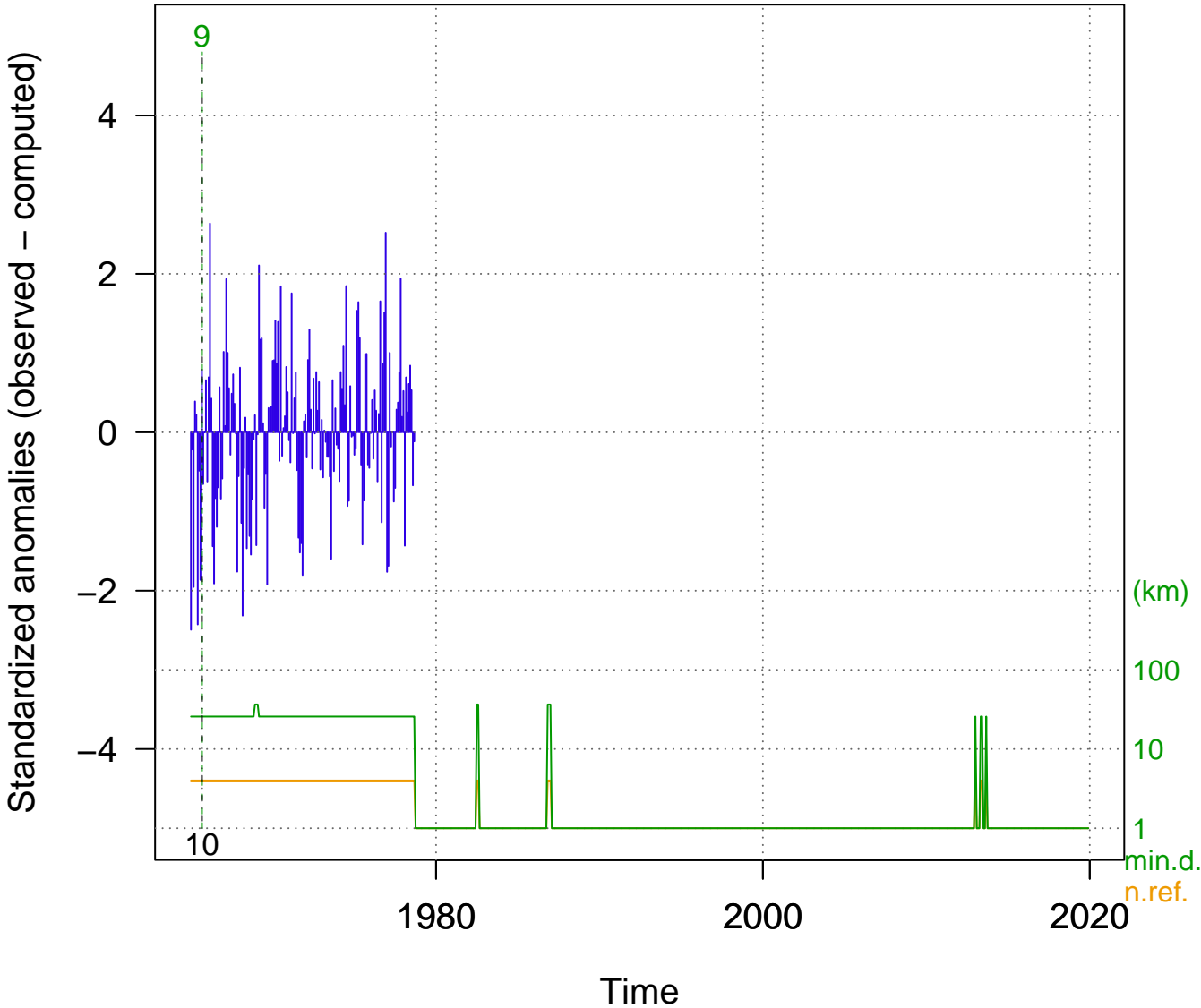
tmax-m 30 (ho00000783-4)

ARAPA-4



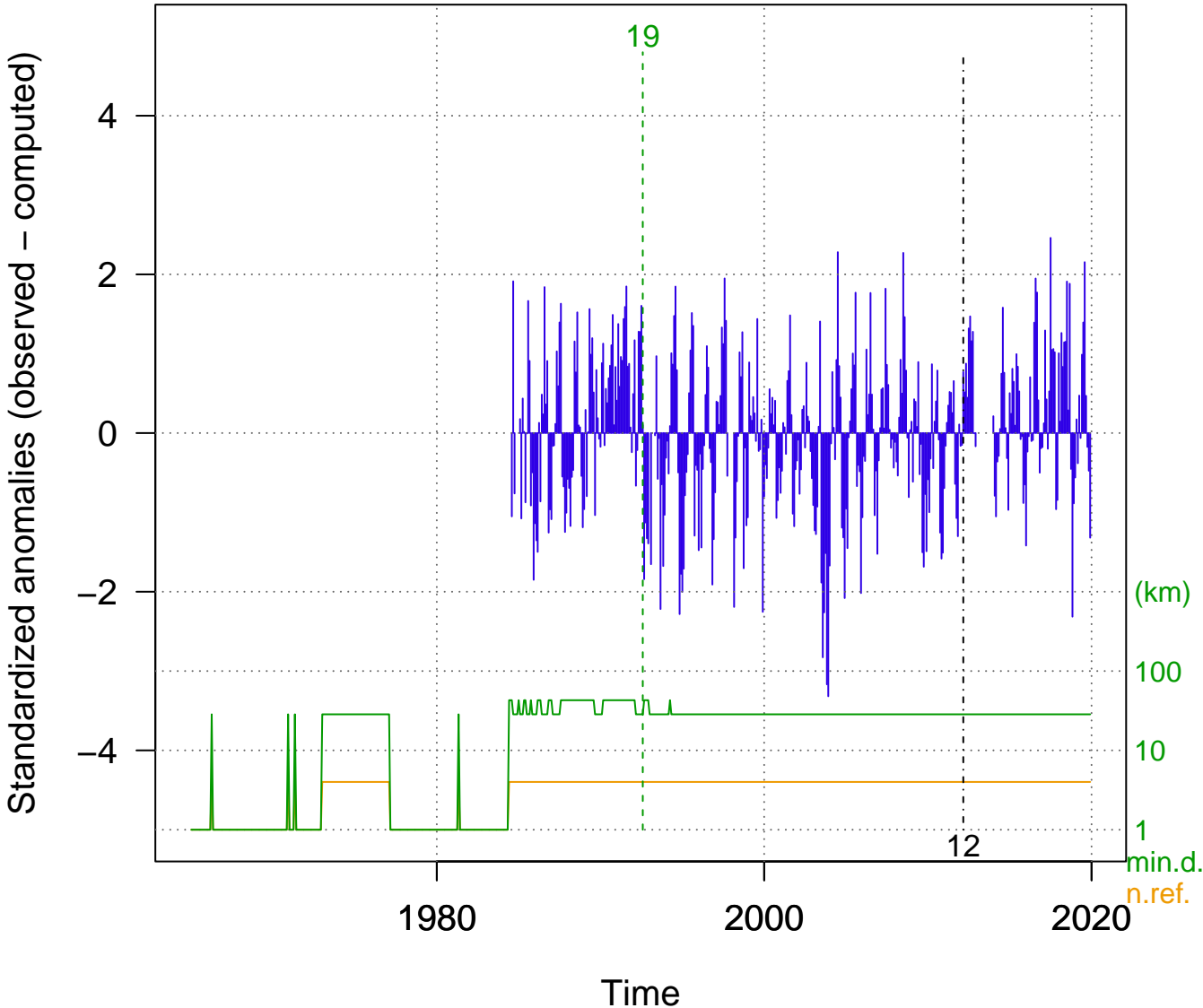
tmax-m 35 (ho00000783-5)

ARAPA-5

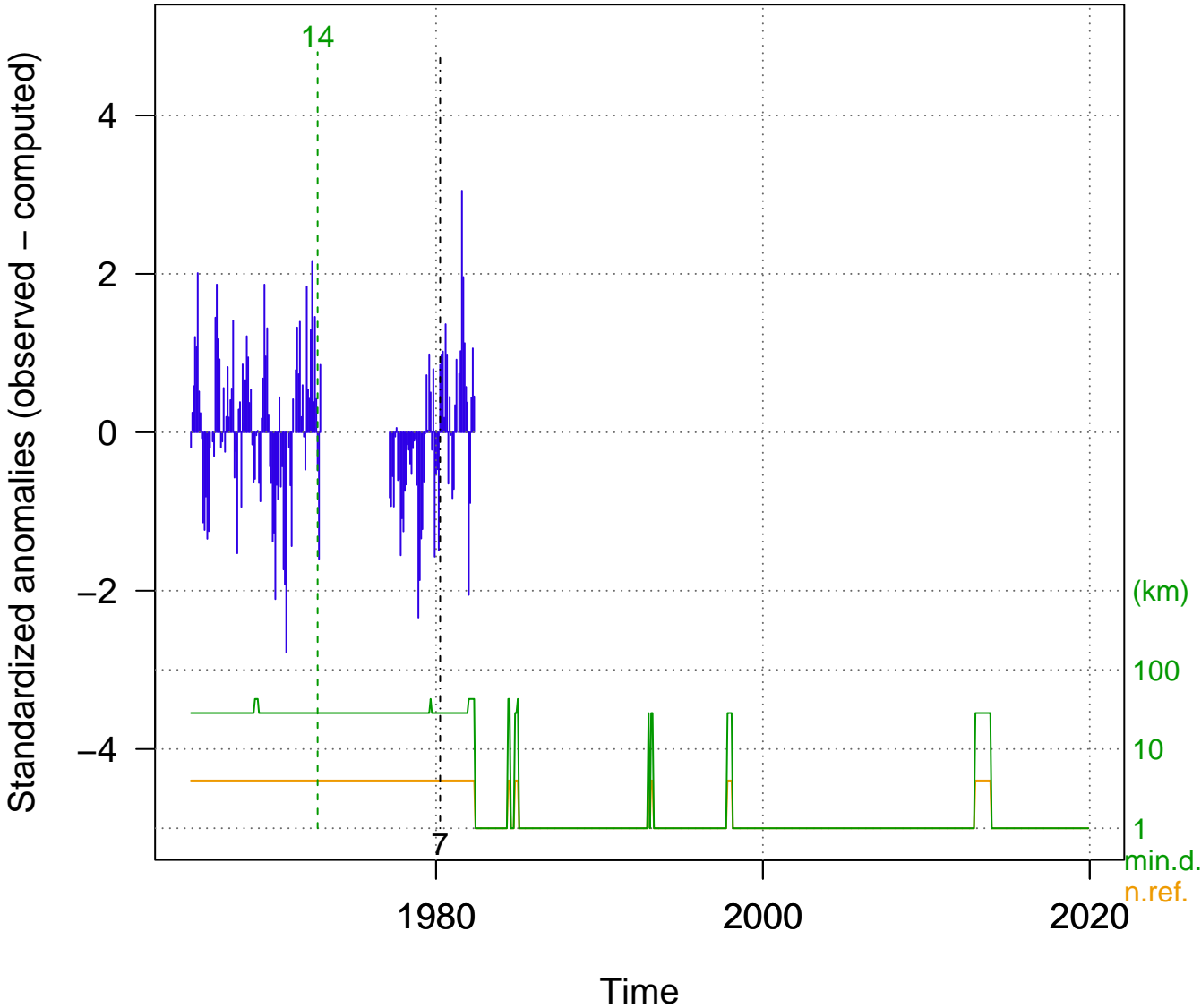


tmax-m 6 (ho00000785)

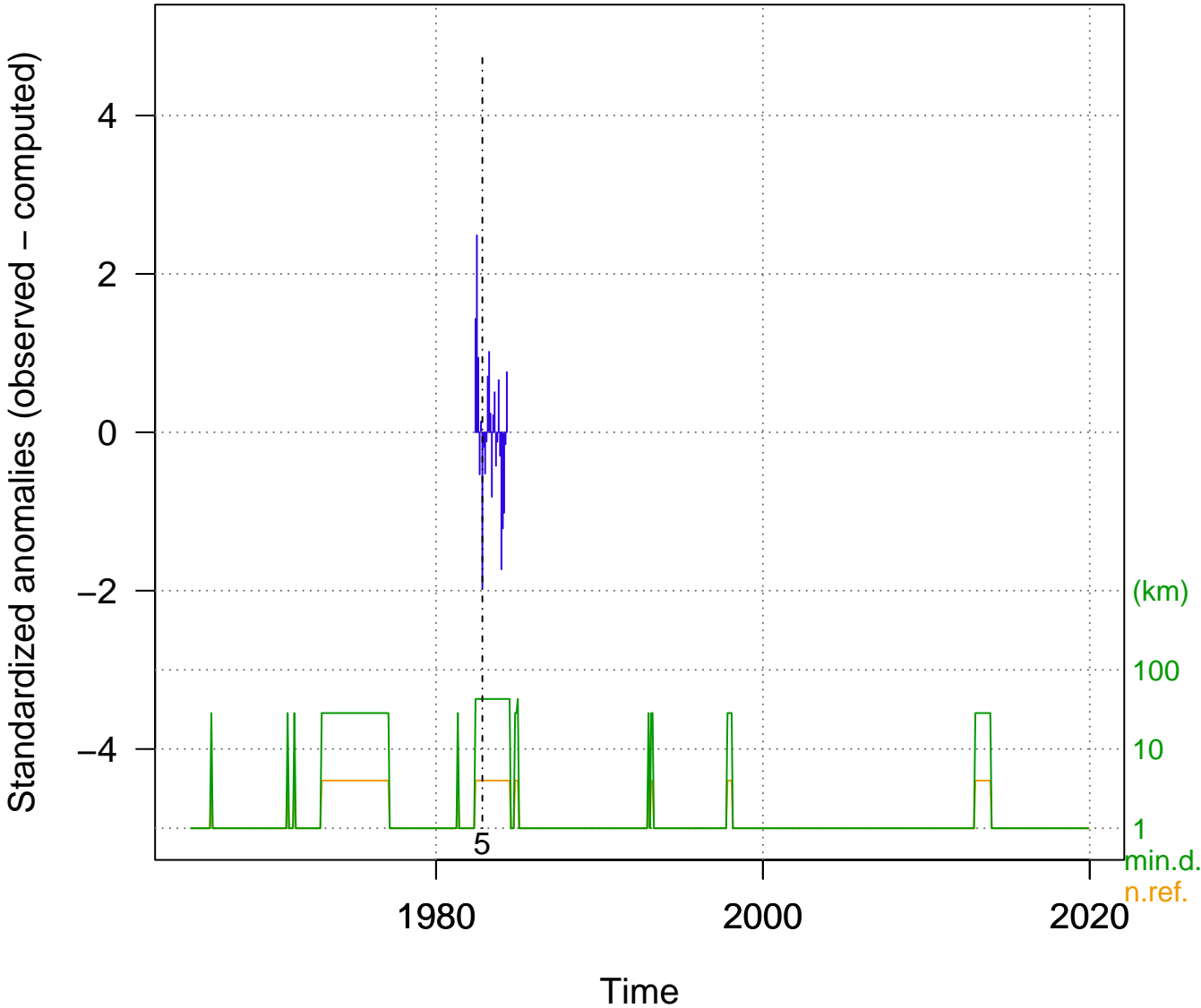
MUNANI



tmax-m 16 (ho00000785-2)
MUNANI-2

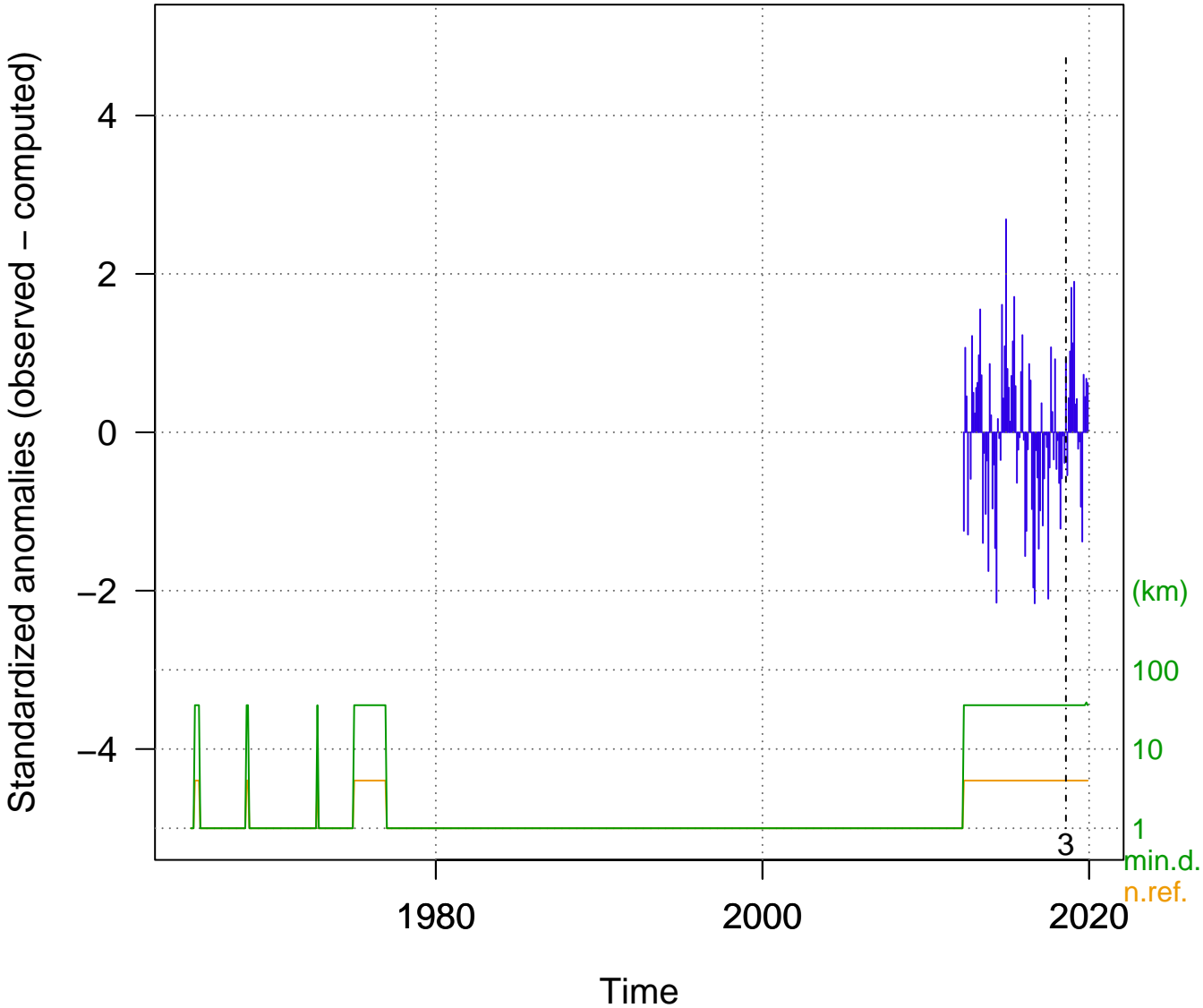


tmax-m 29 (ho00000785-3)
MUNANI-3

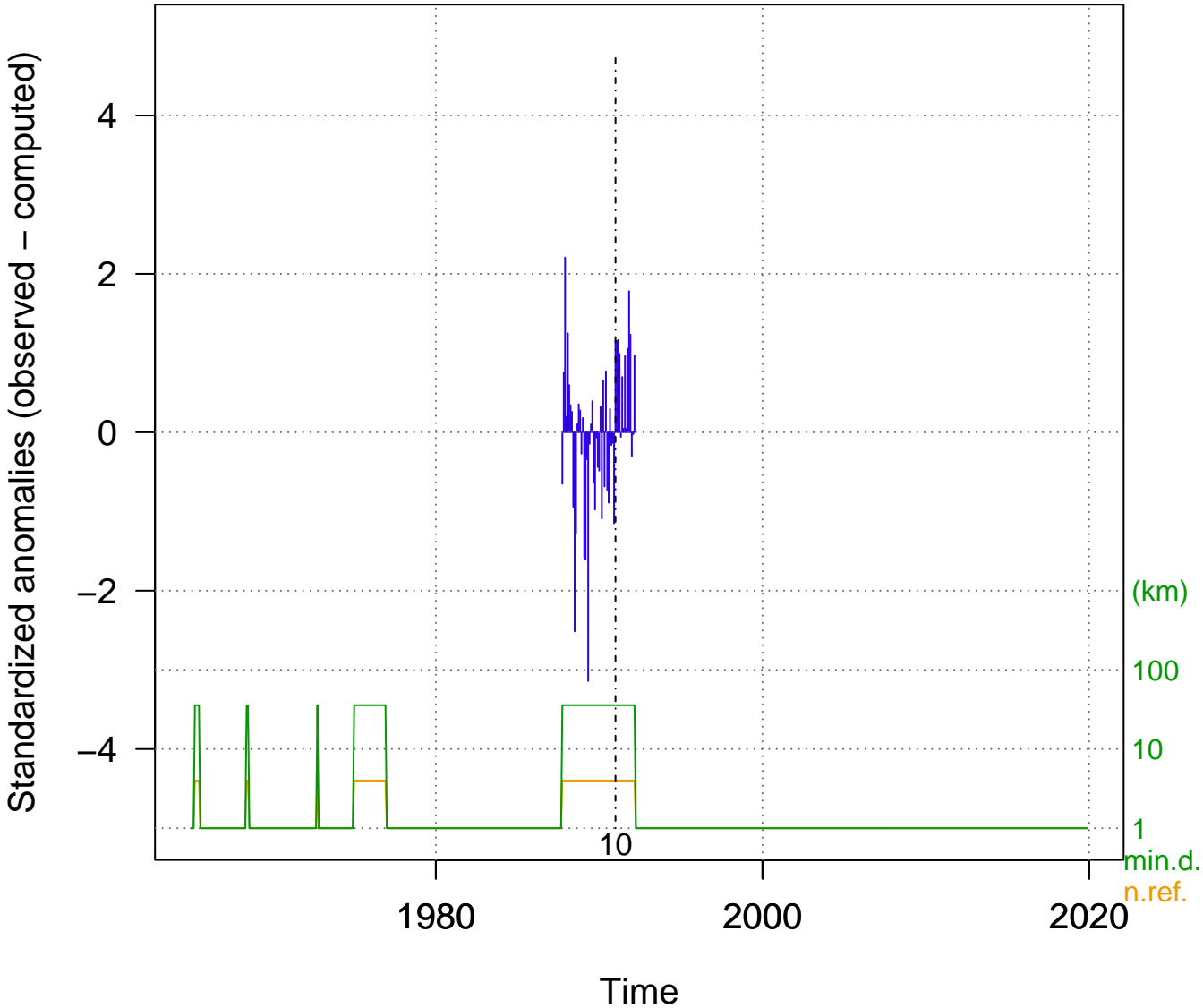


tmax-m 7 (ho00000786)

HUANCANE

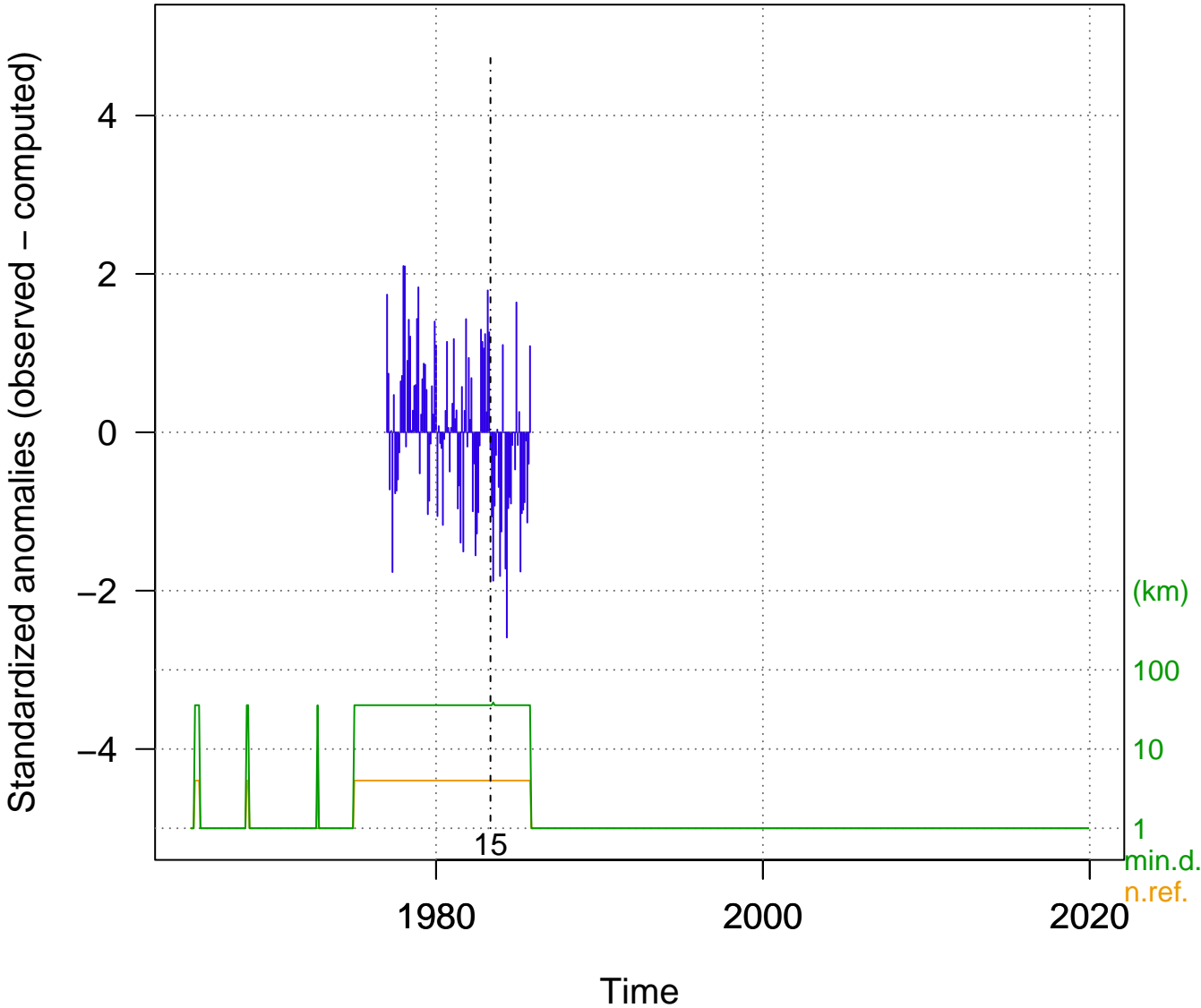


tmax-m 10 (ho00000786-2)
HUANCANE-2



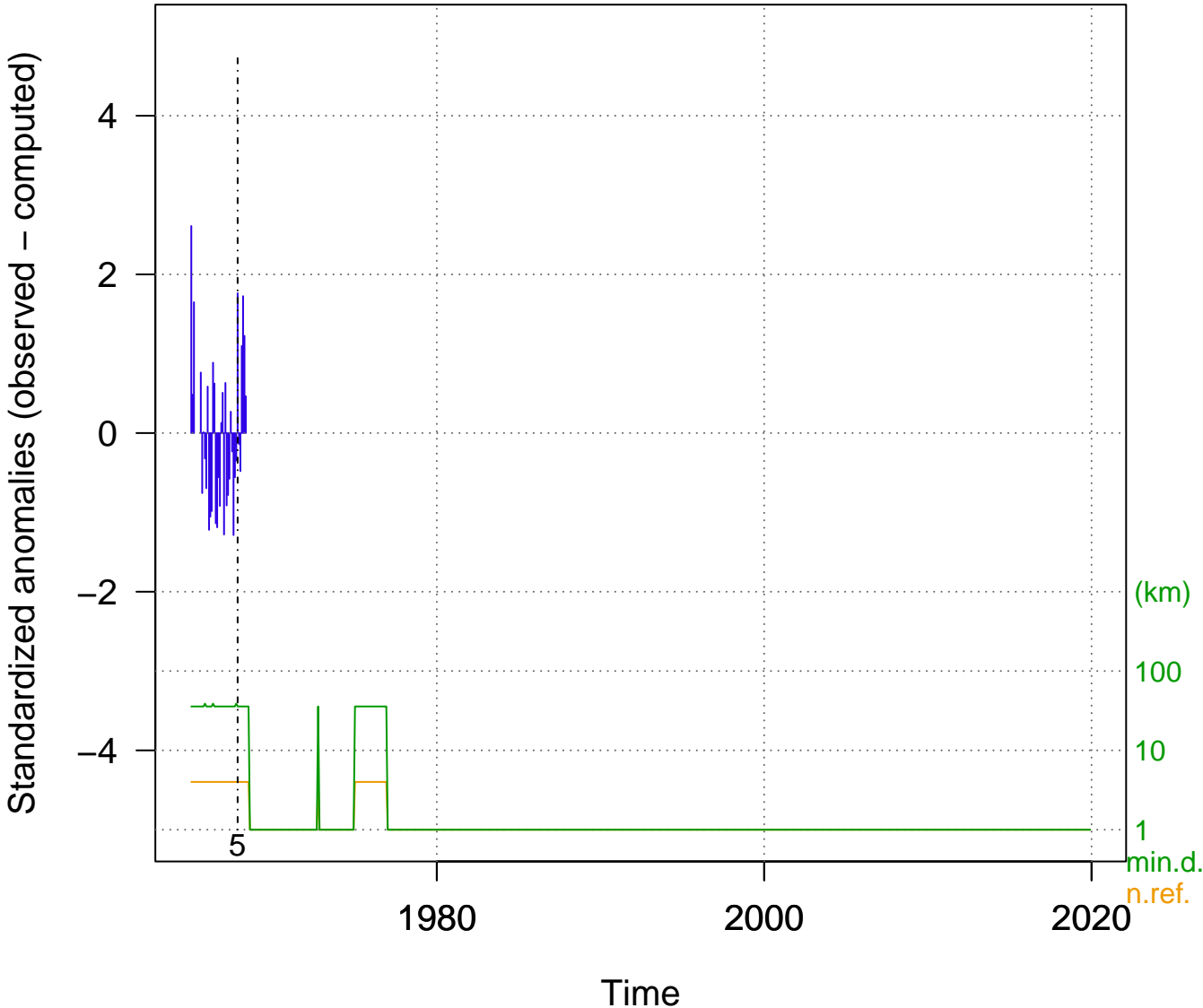
tmax-m 11 (ho00000786-3)

HUANCANE-3



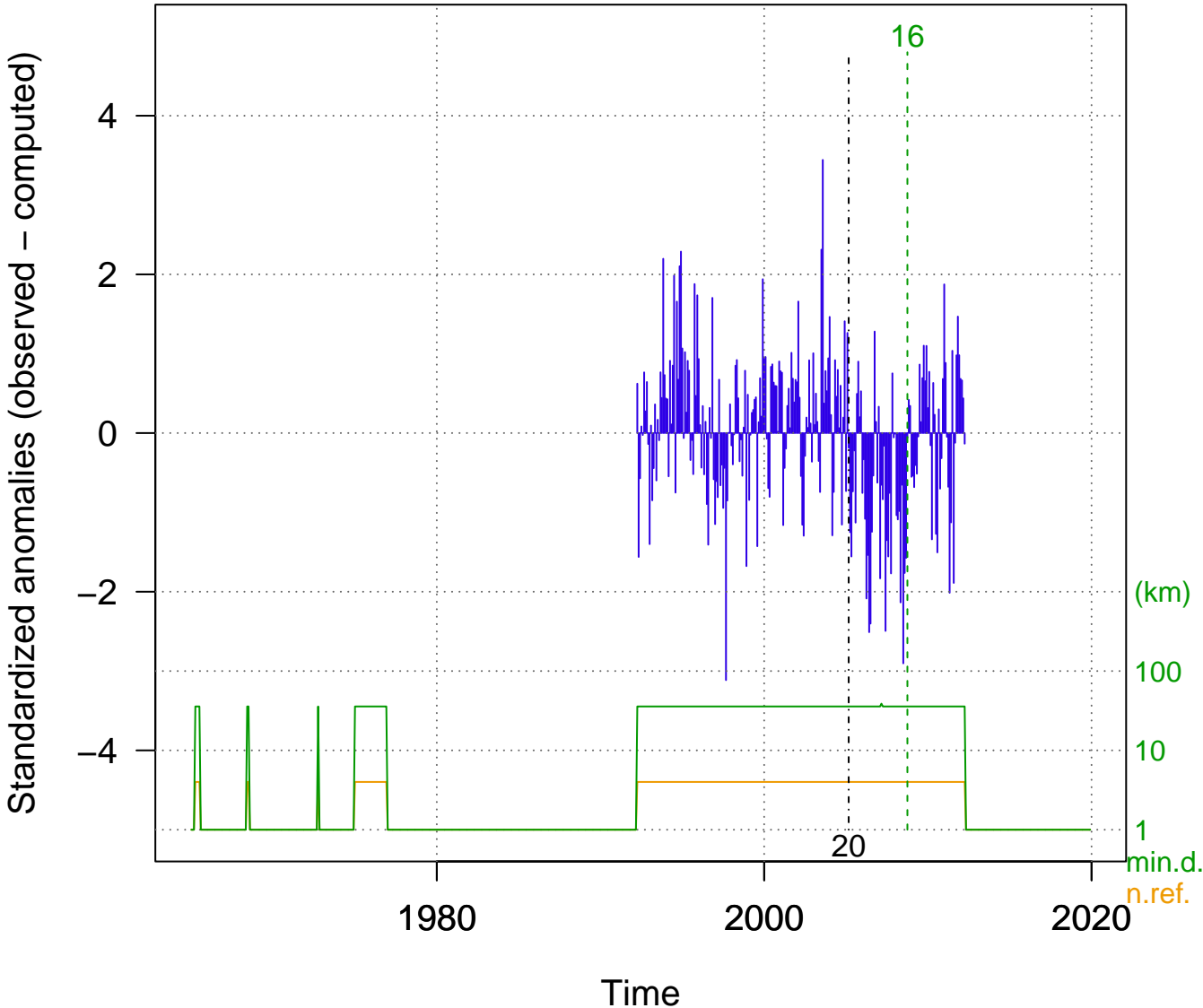
tmax-m 32 (ho00000786-4)

HUANCANE-4



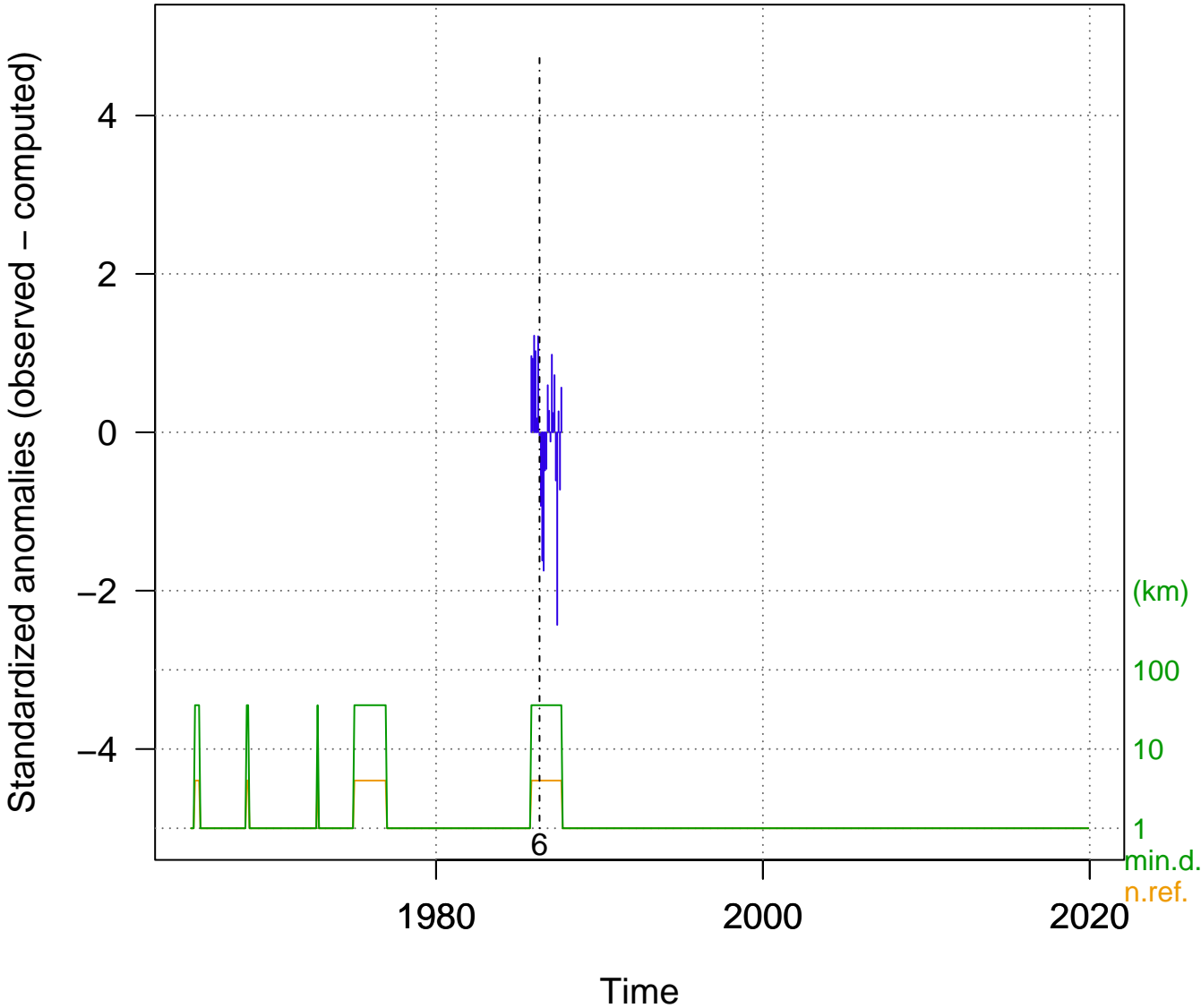
tmax-m 38 (ho00000786-5)

HUANCANE-5

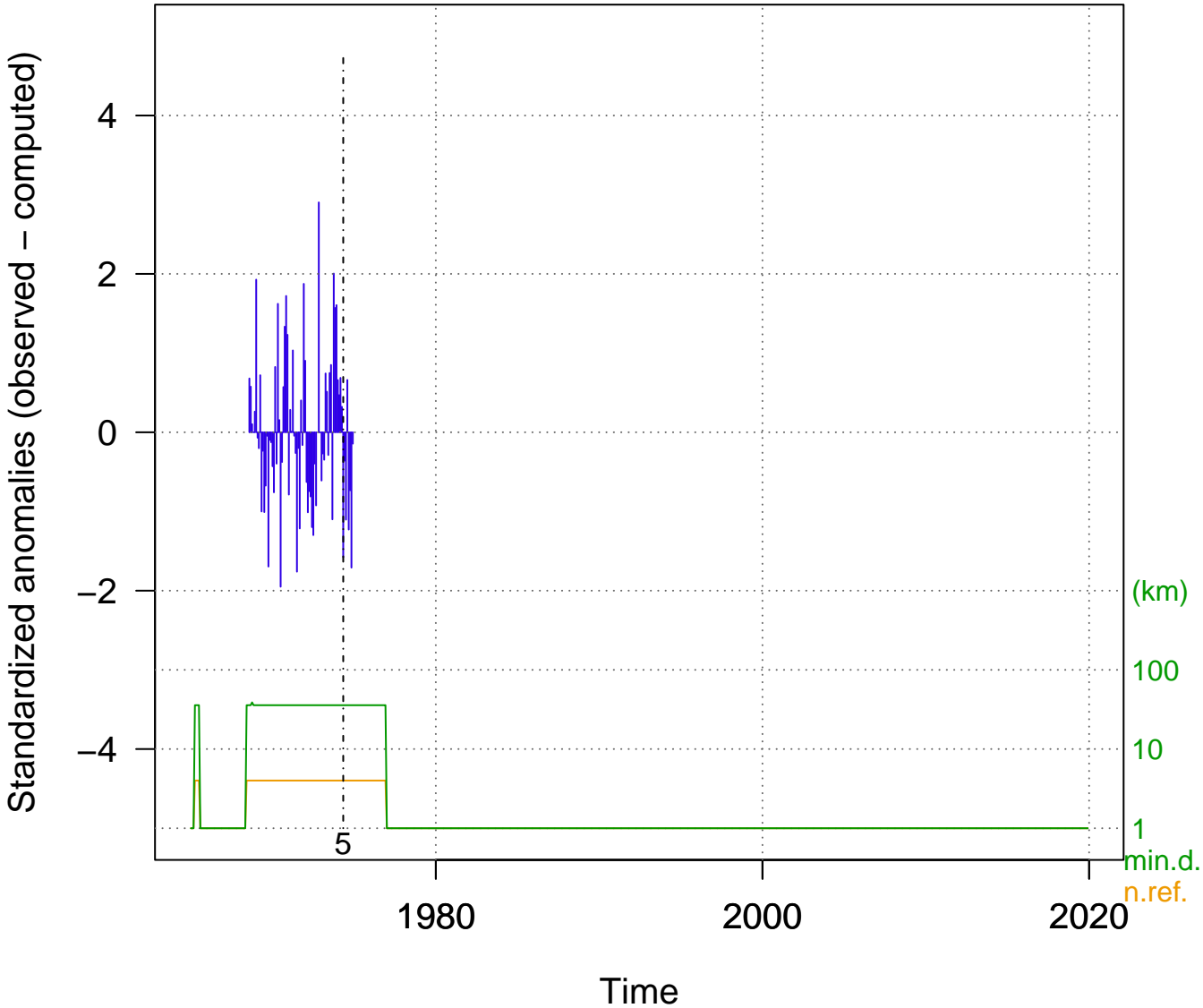


tmax-m 42 (ho00000786-6)

HUANCANE-6

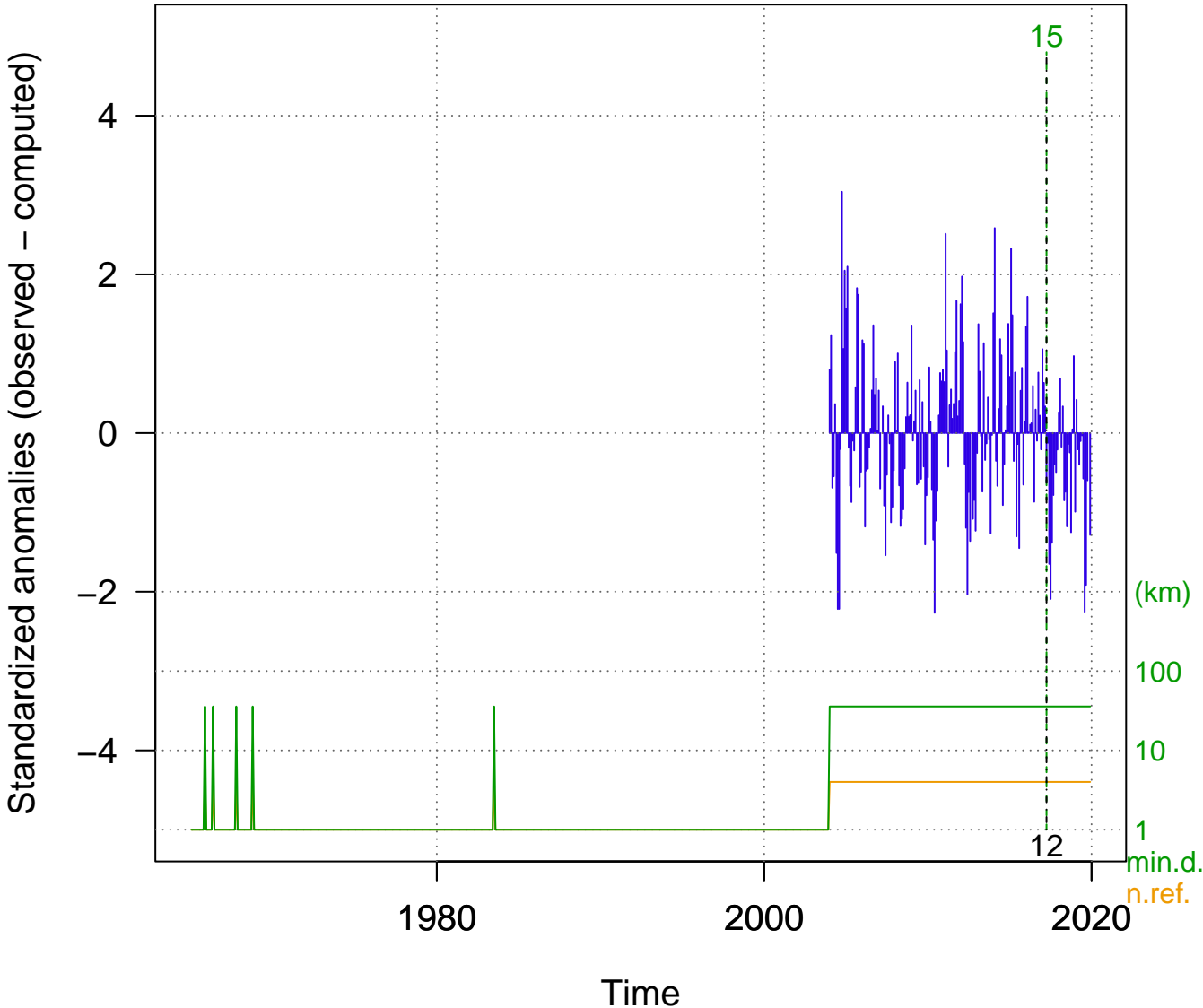


tmax-m 43 (ho00000786-7)
HUANCANE-7



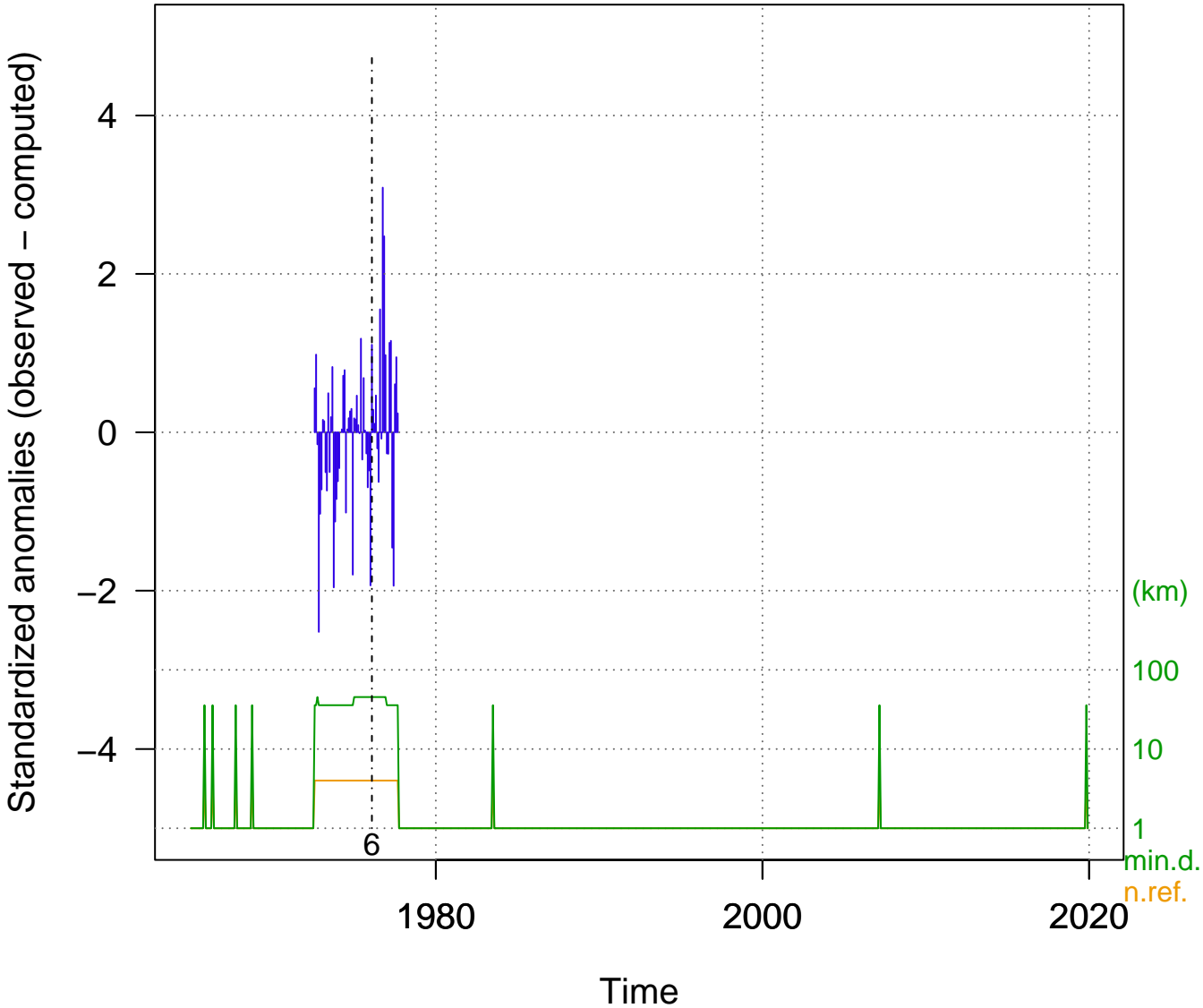
tmax-m 8 (ho00000787)

HUARAYAMOHO



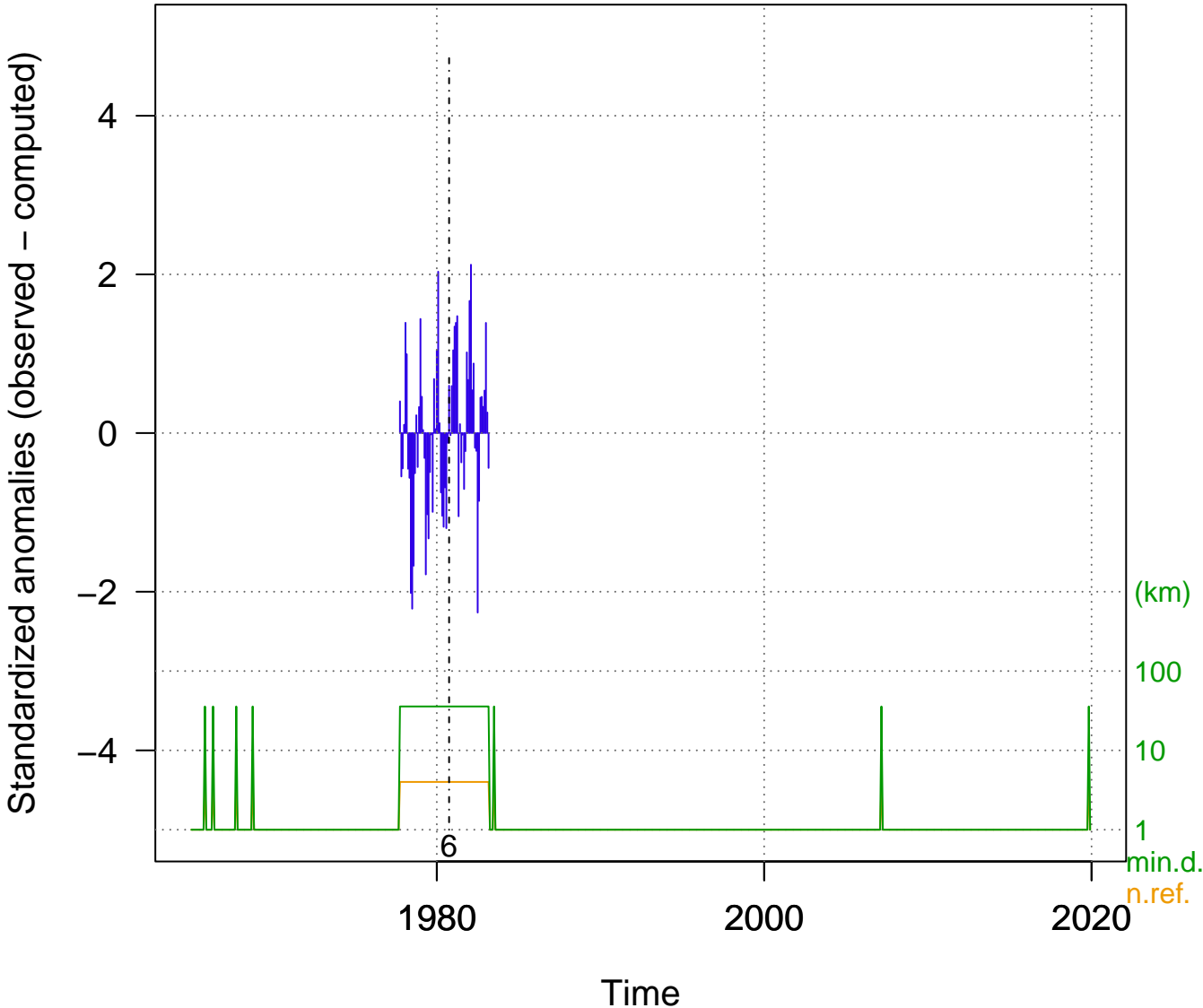
tmax-m 15 (ho00000787-2)

HUARAYAMOHO-2



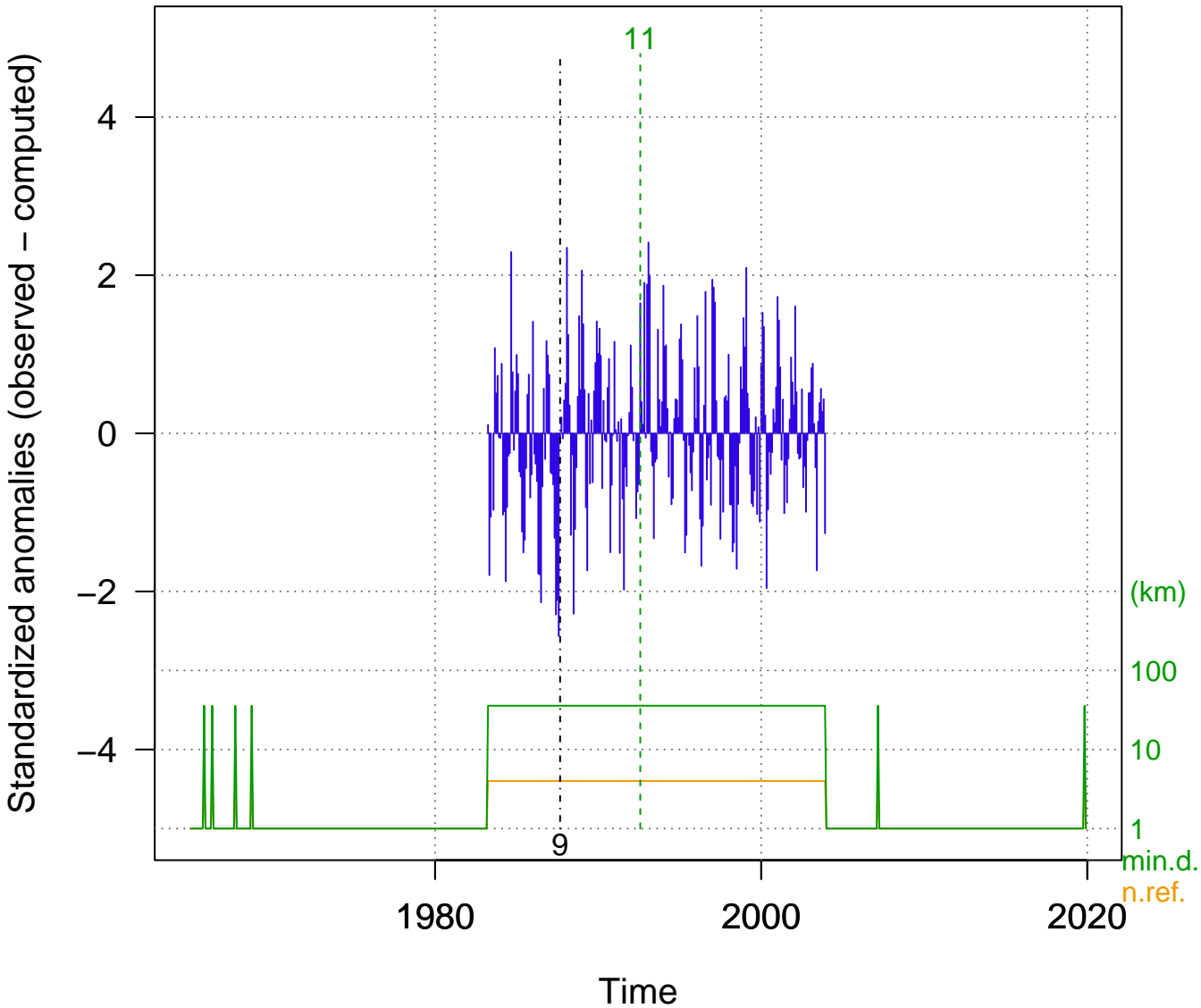
tmax-m 31 (ho00000787-3)

HUARRAYAMOHO-3



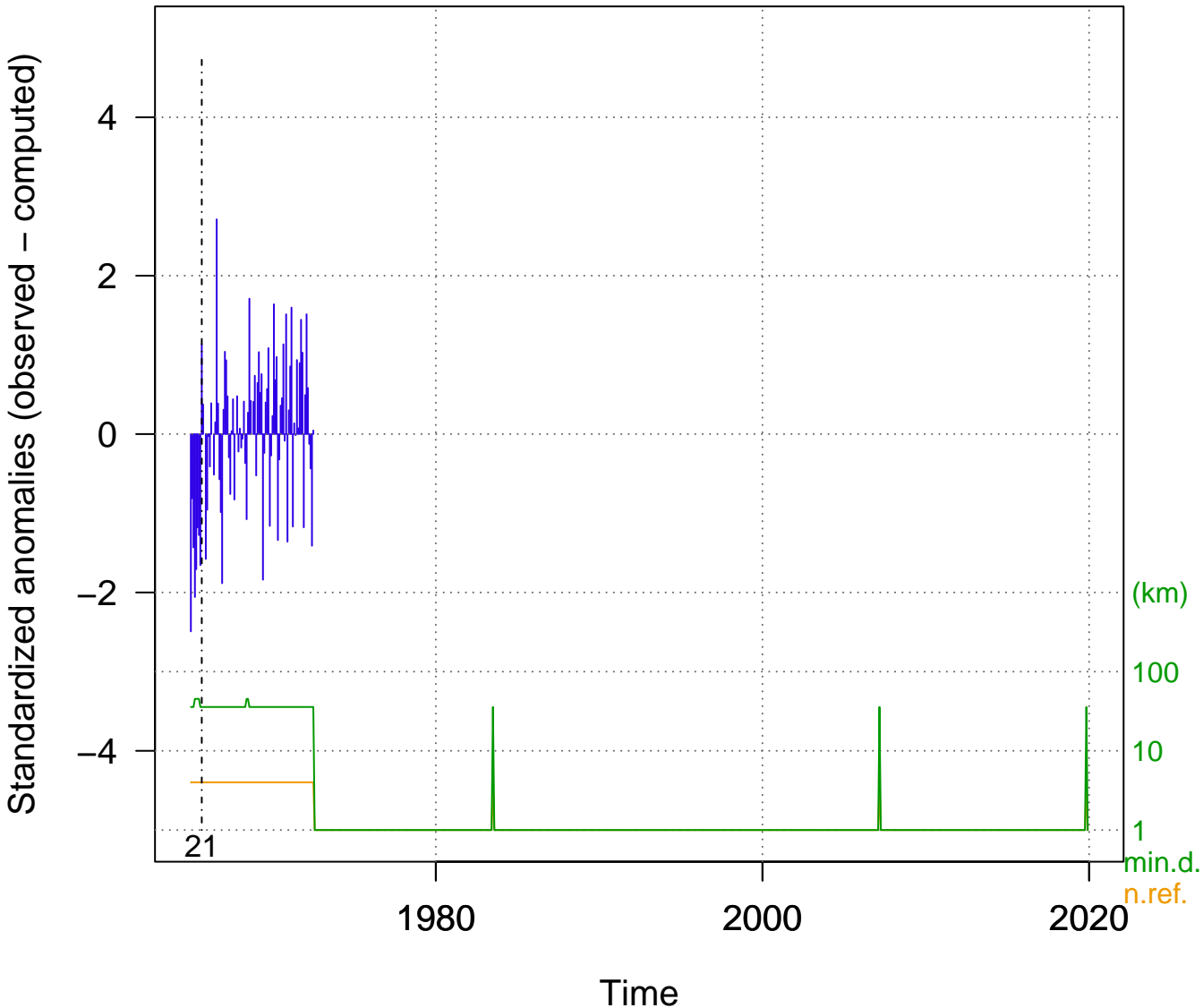
tmax-m 37 (ho00000787-4)

HUARAYAMOHO-4



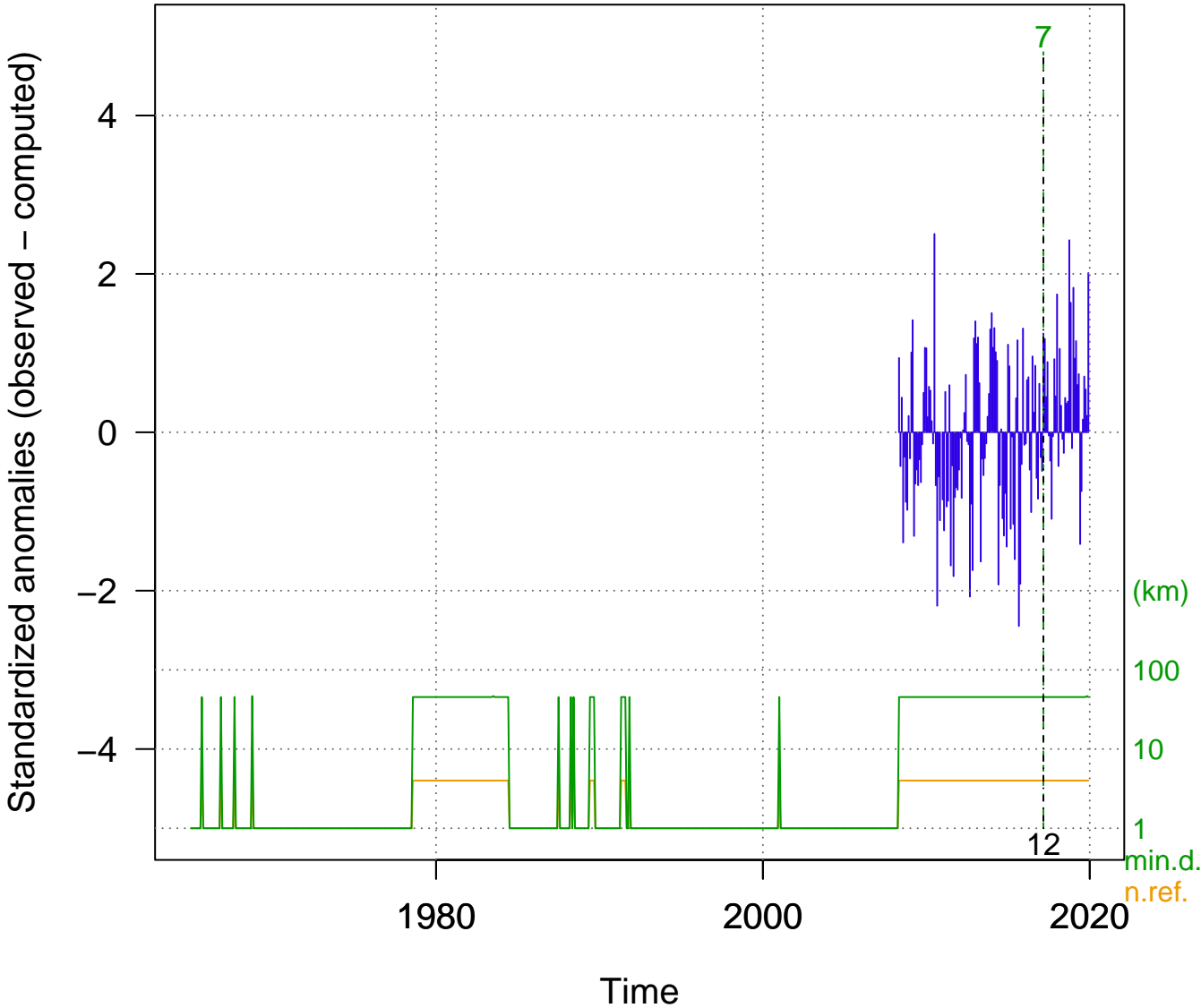
tmax-m 41 (ho00000787-5)

HUARAYAMOHO-5

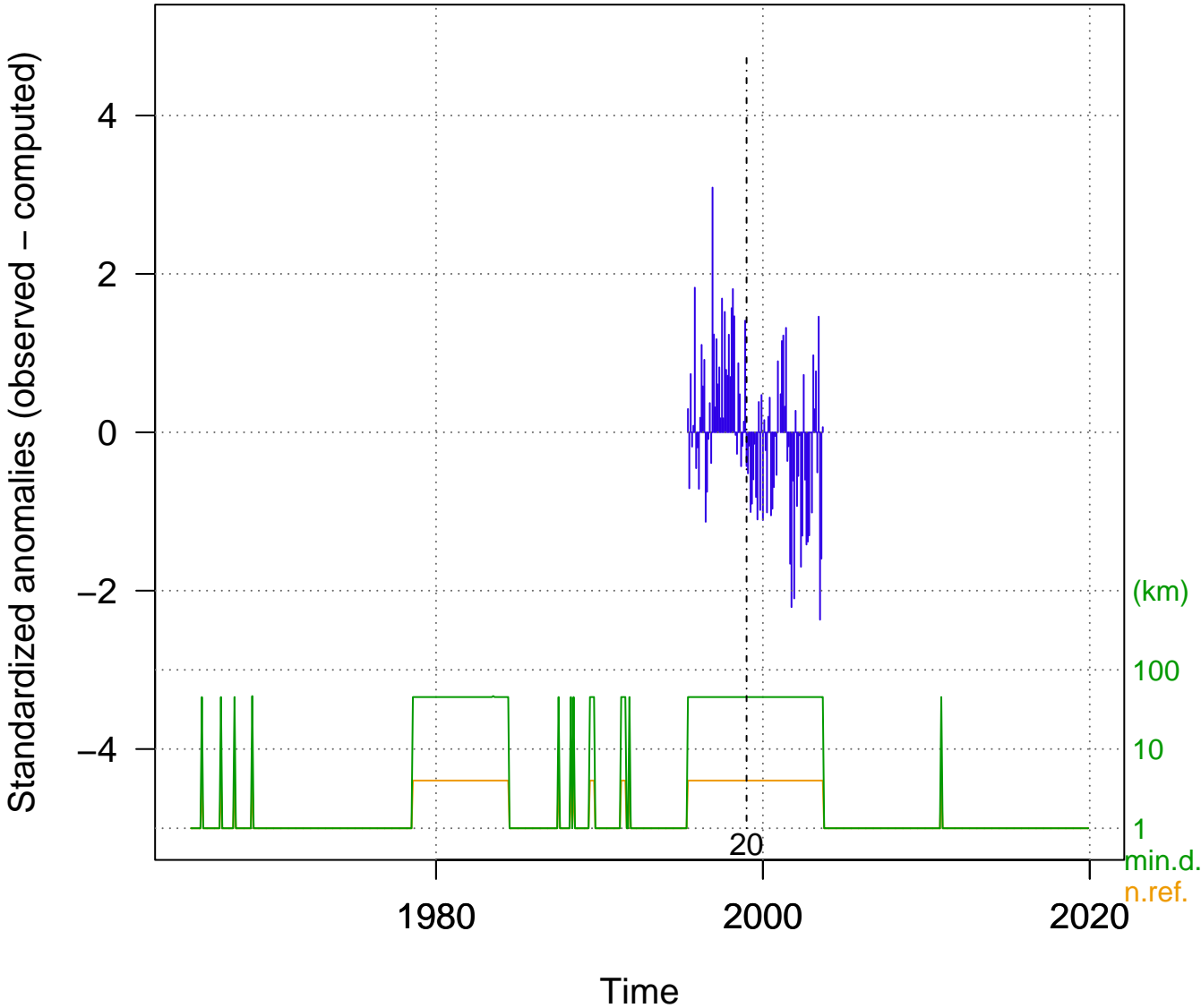


tmax-m 9 (ho00000788)

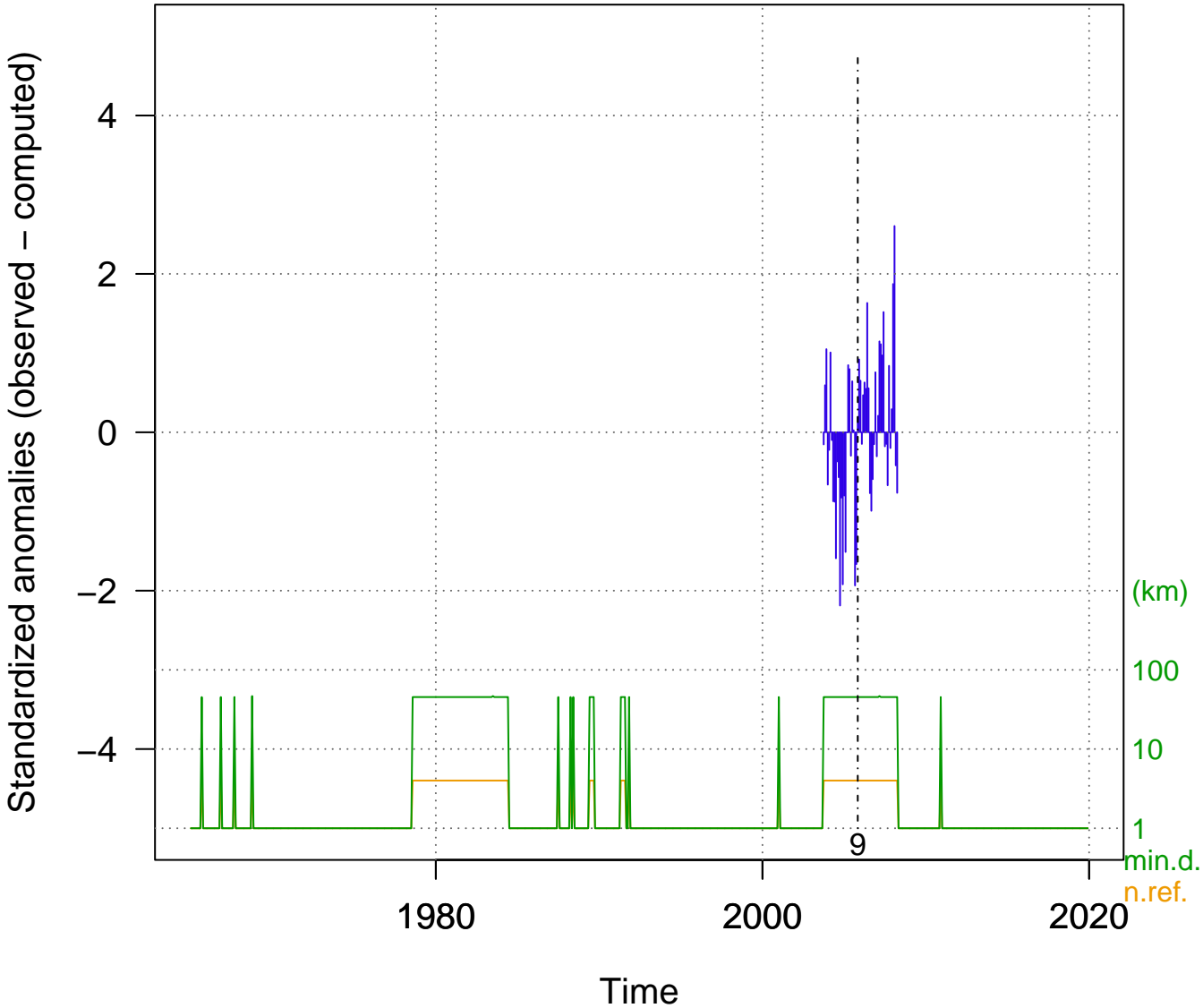
CAPACHICA



tmax-m 14 (ho00000788-2)
CAPACHICA-2

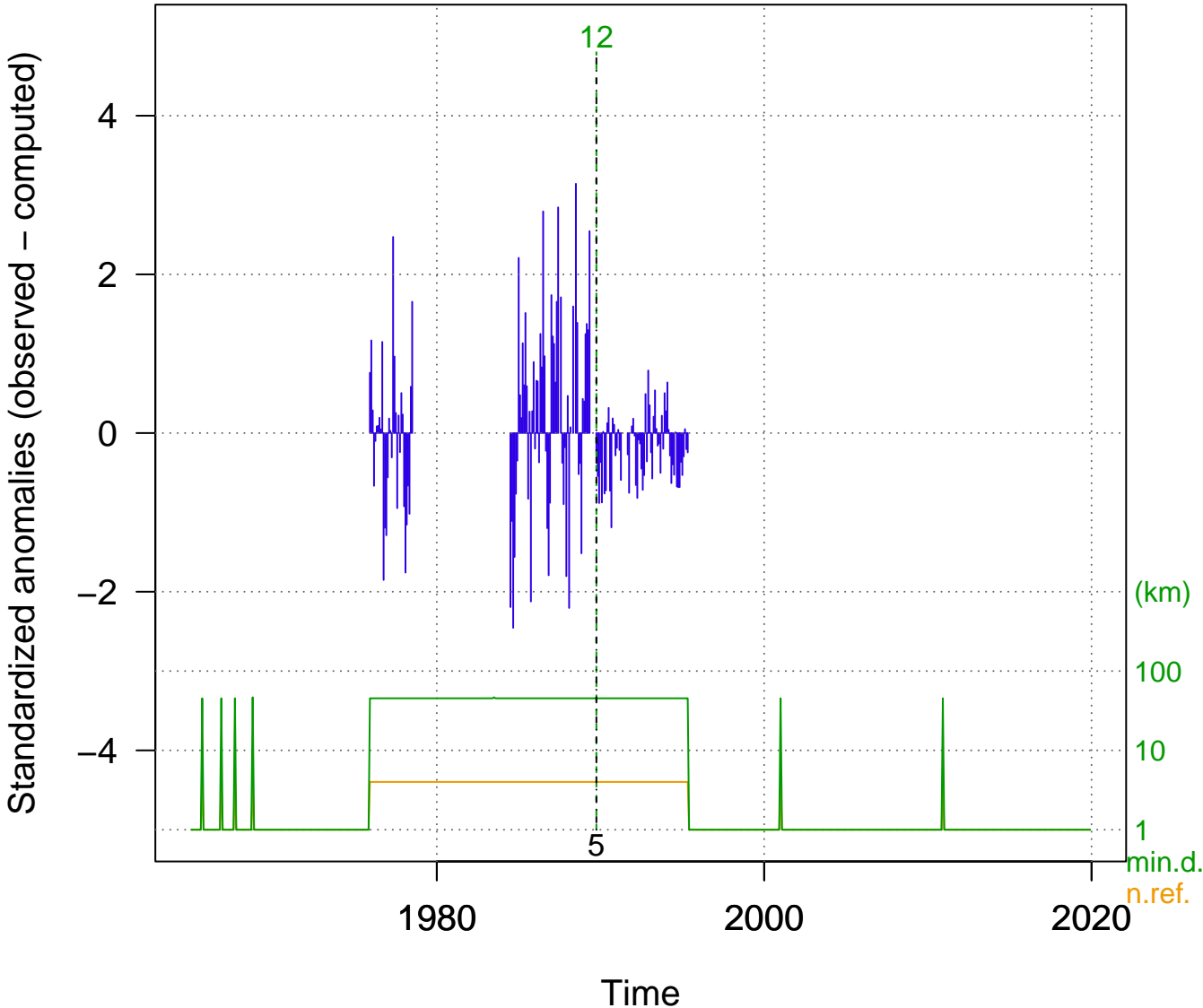


tmax-m 20 (ho00000788-3)
CAPACHICA-3



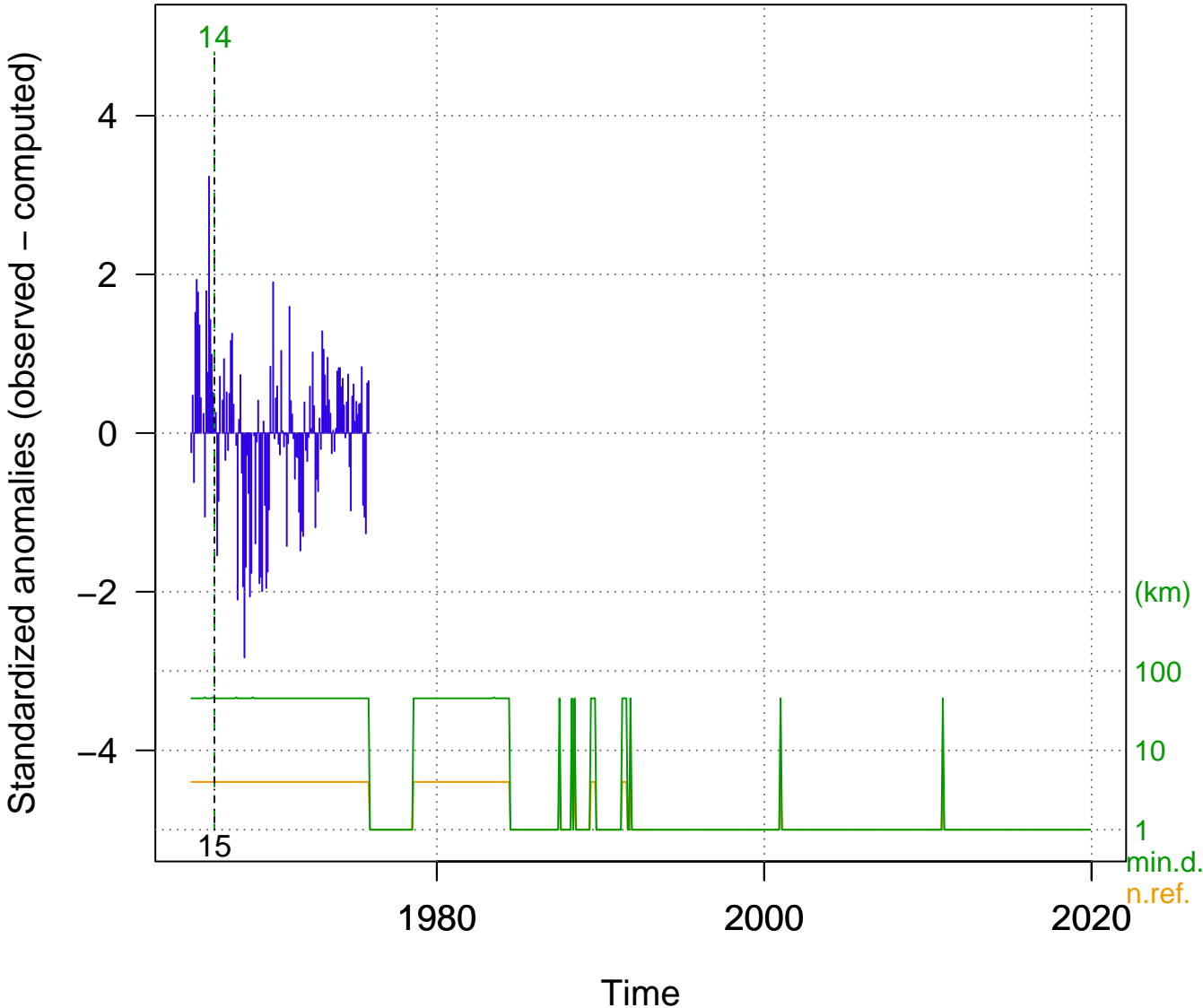
tmax-m 28 (ho00000788-4)

CAPACHICA-4



tmax-m 40 (ho00000788-5)

CAPACHICA-5

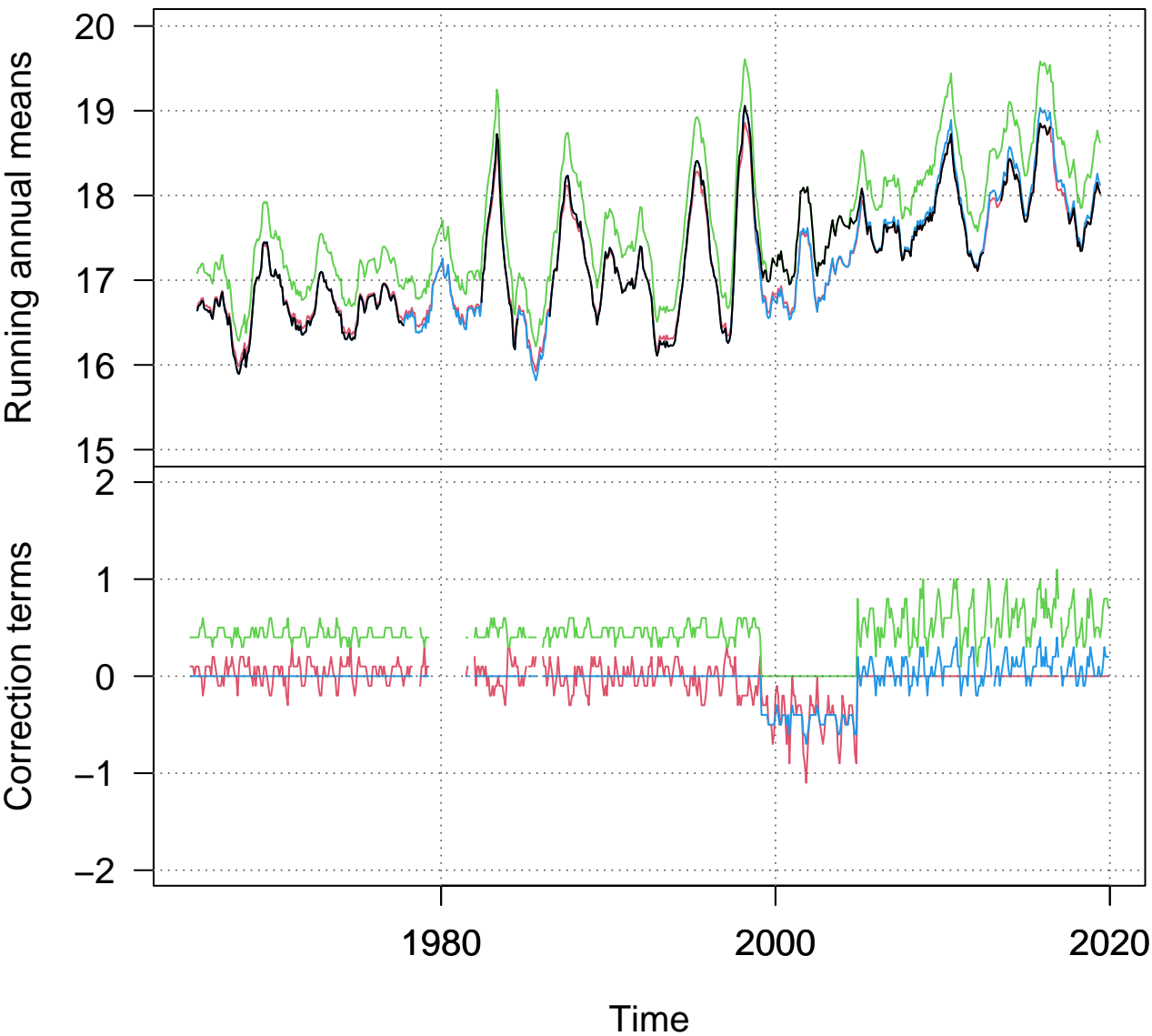


Final graphics

Adjusted series and
applied corrections

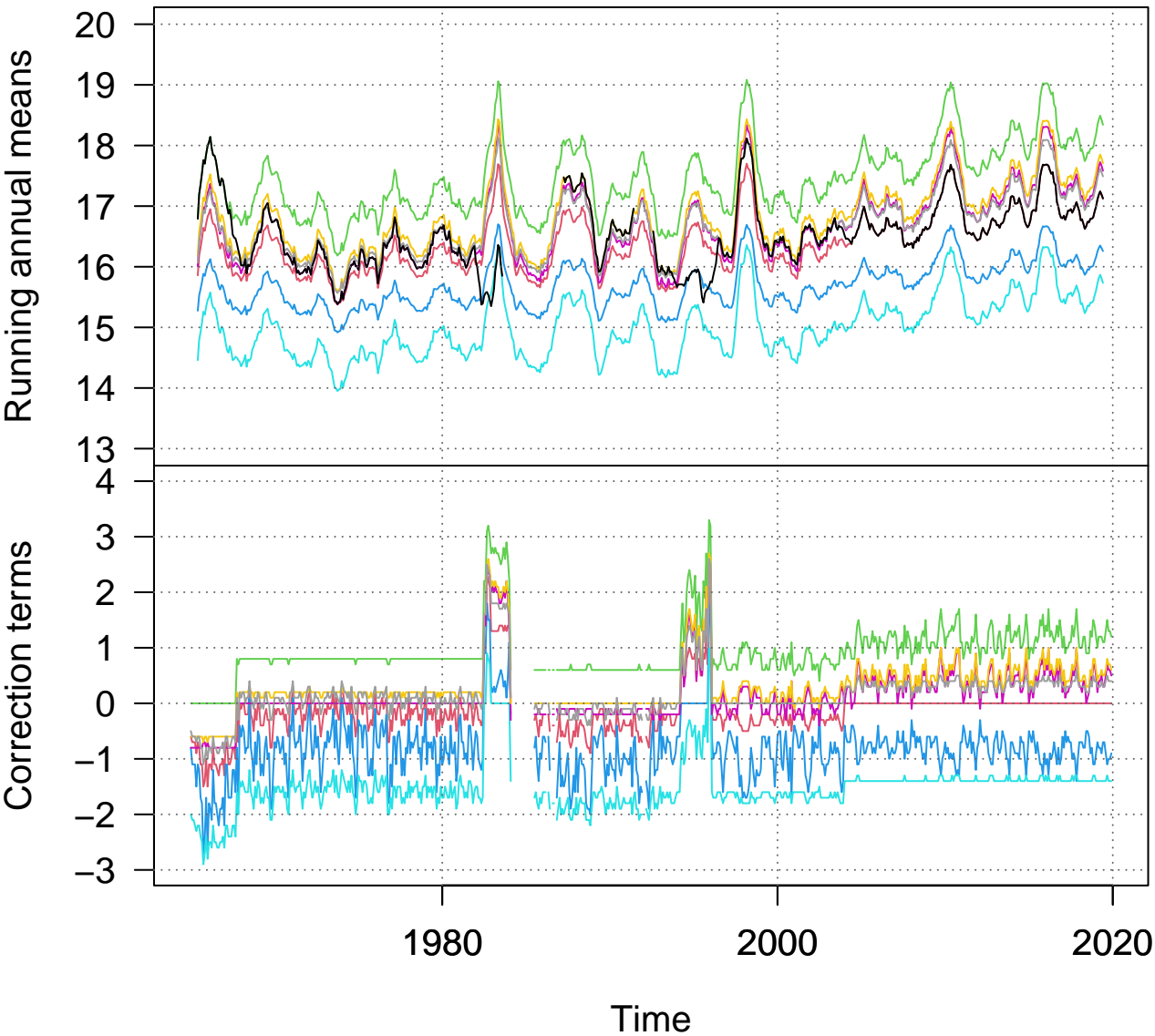
tmax-m 1 (ho00000776)

AYAVIRI



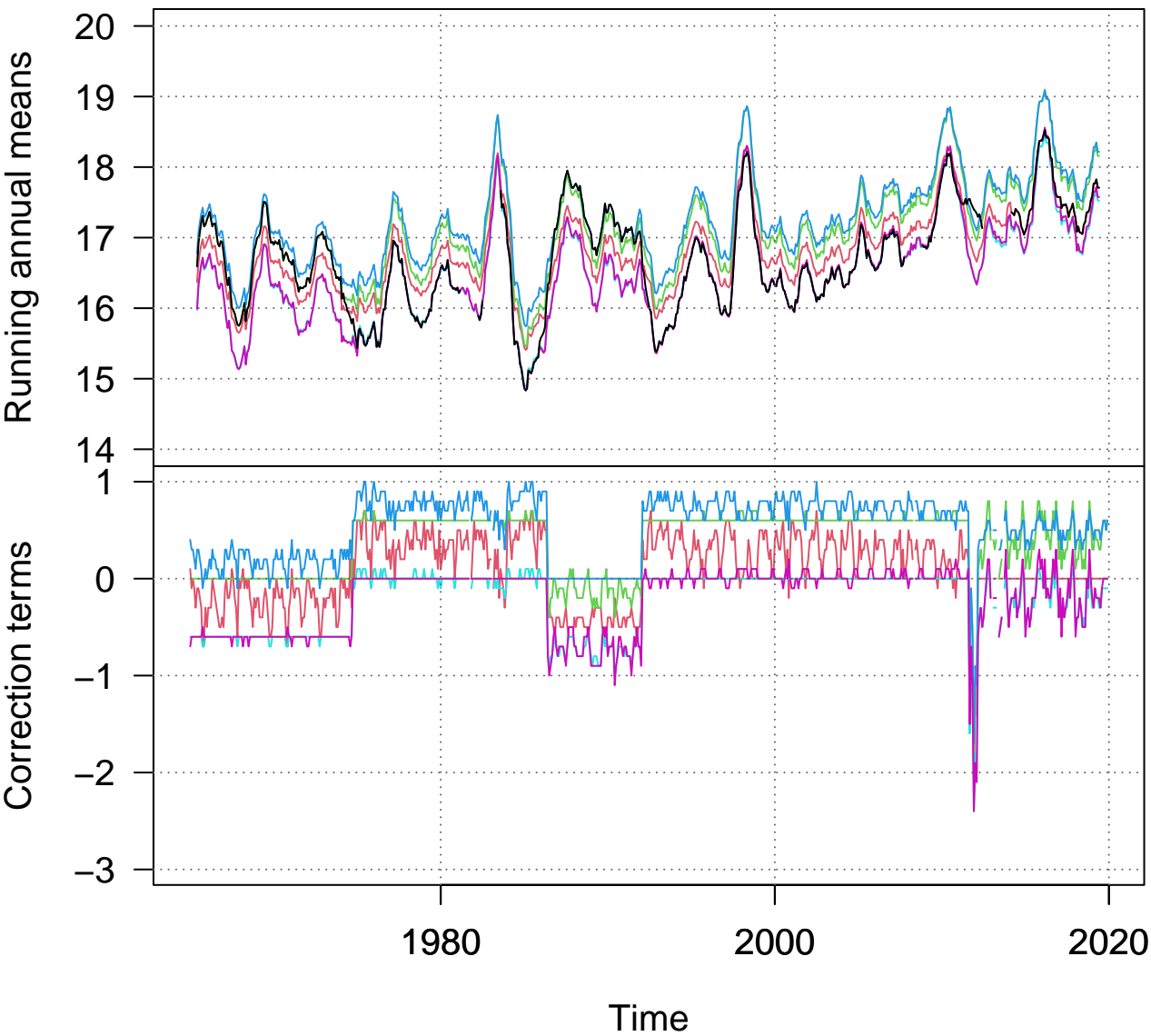
tmax-m 2 (ho00000778)

PROGRESO



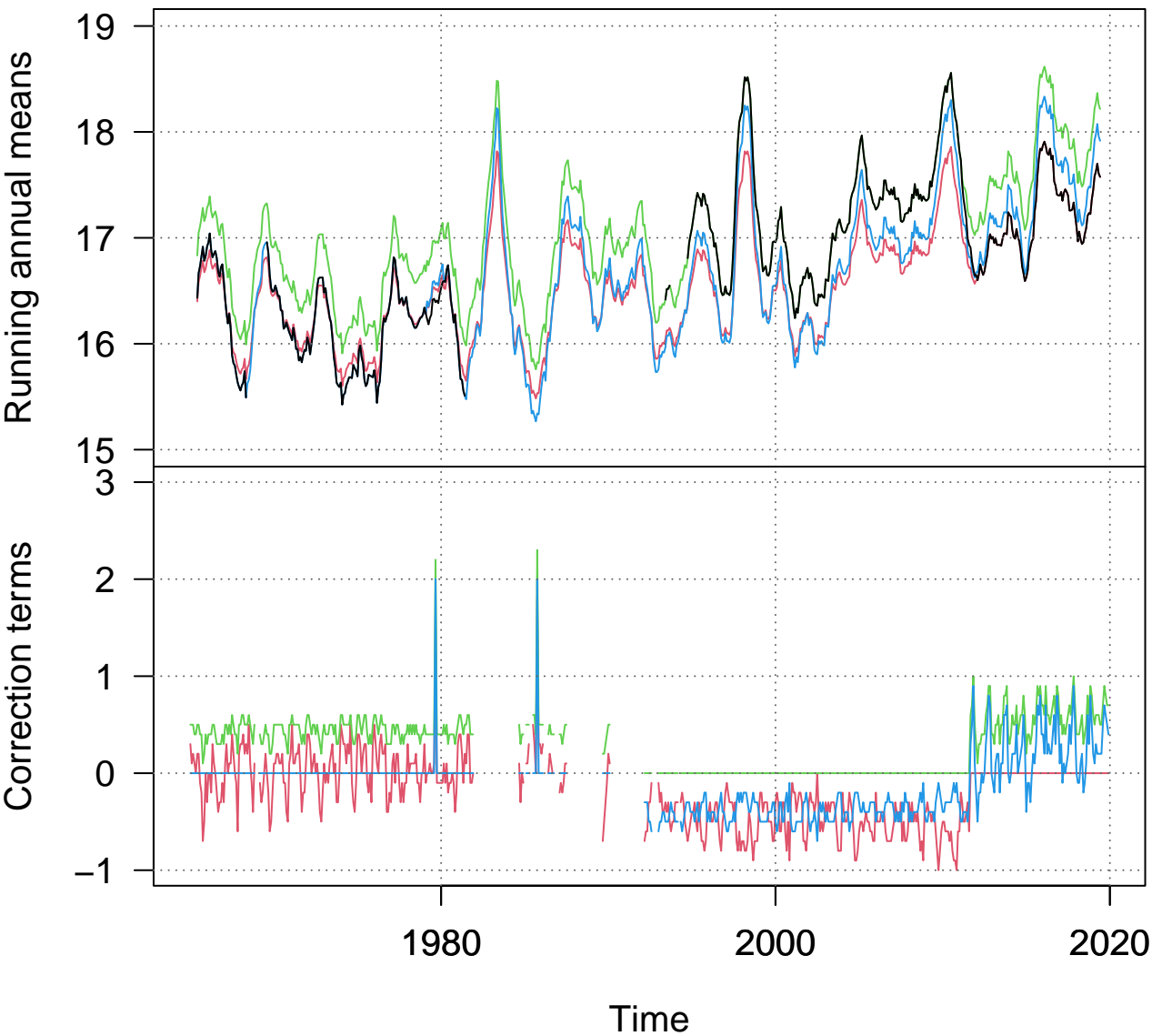
tmax-m 3 (ho00000779)

LAMPA



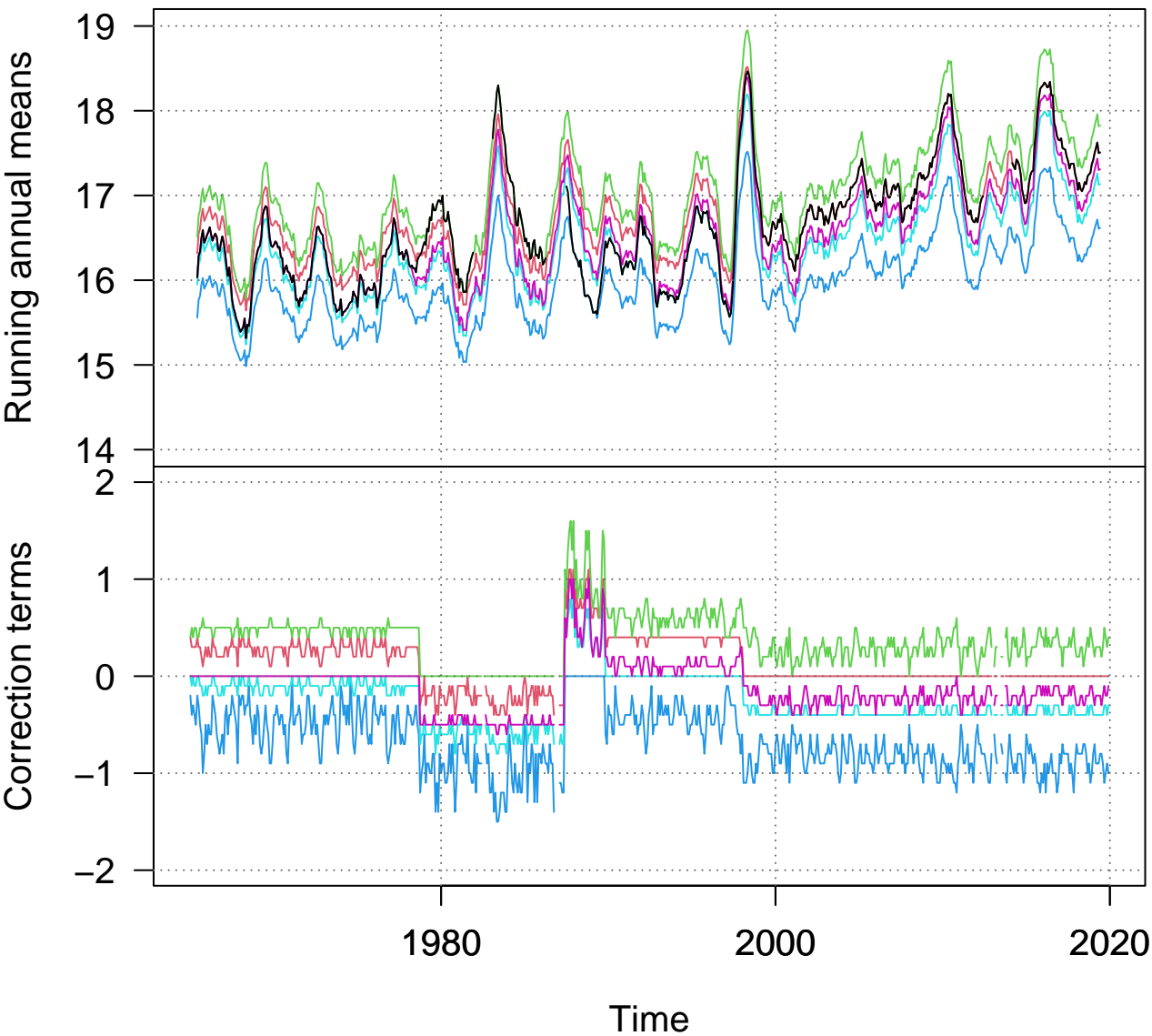
tmax-m 4 (ho00000781)

AZANGARO



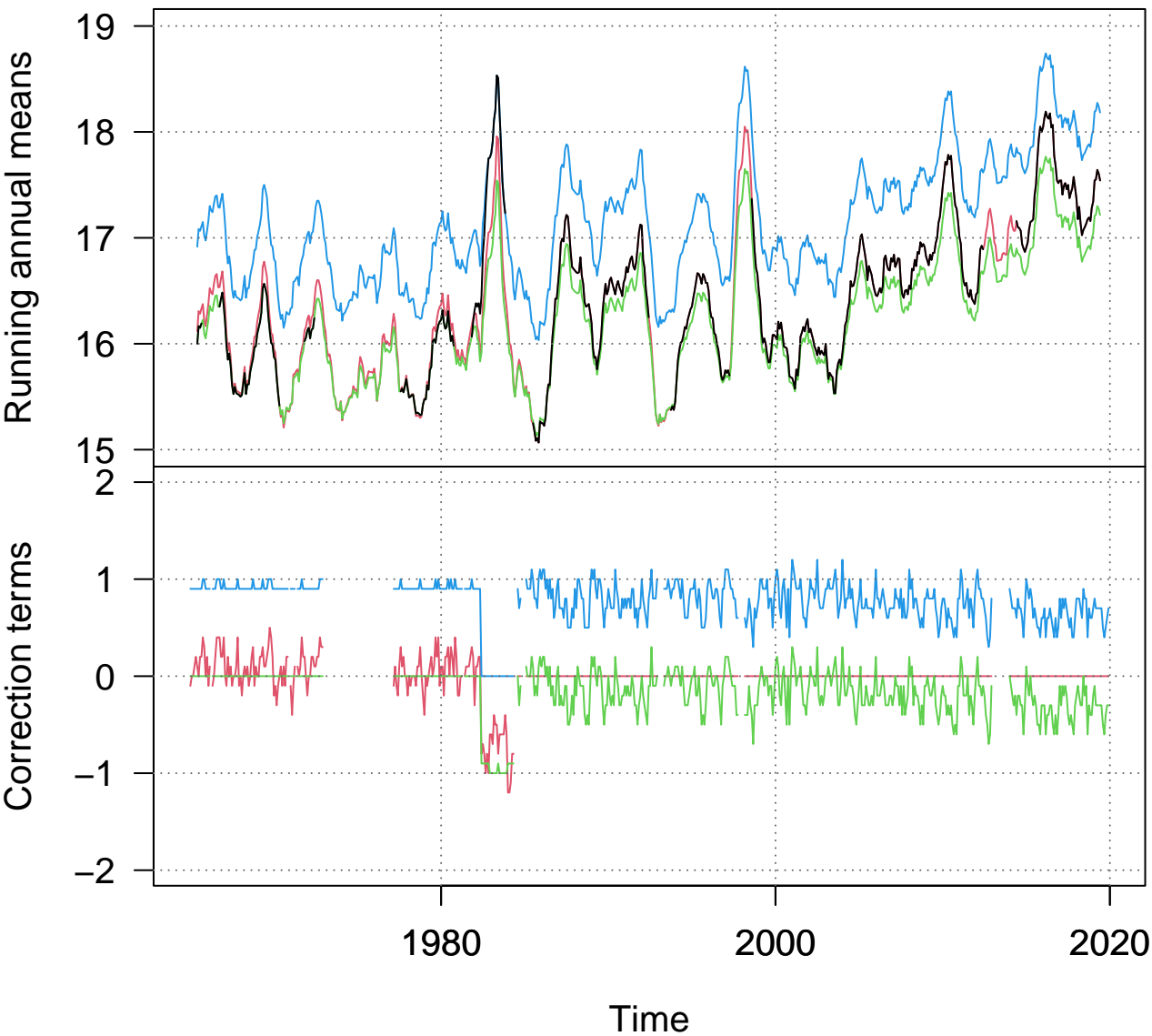
tmax-m 5 (ho00000783)

ARAPA



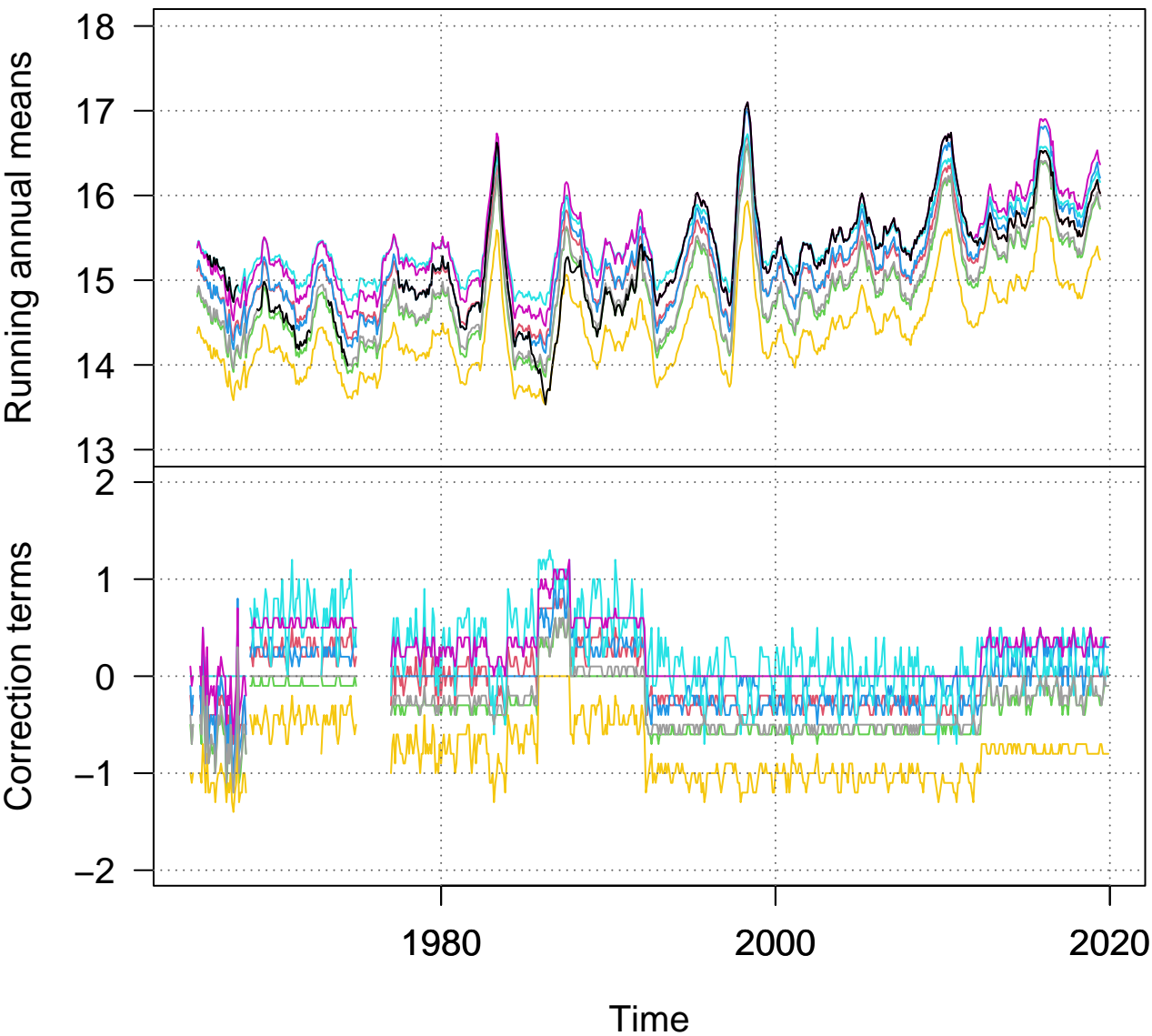
tmax-m 6 (ho00000785)

MUNANI



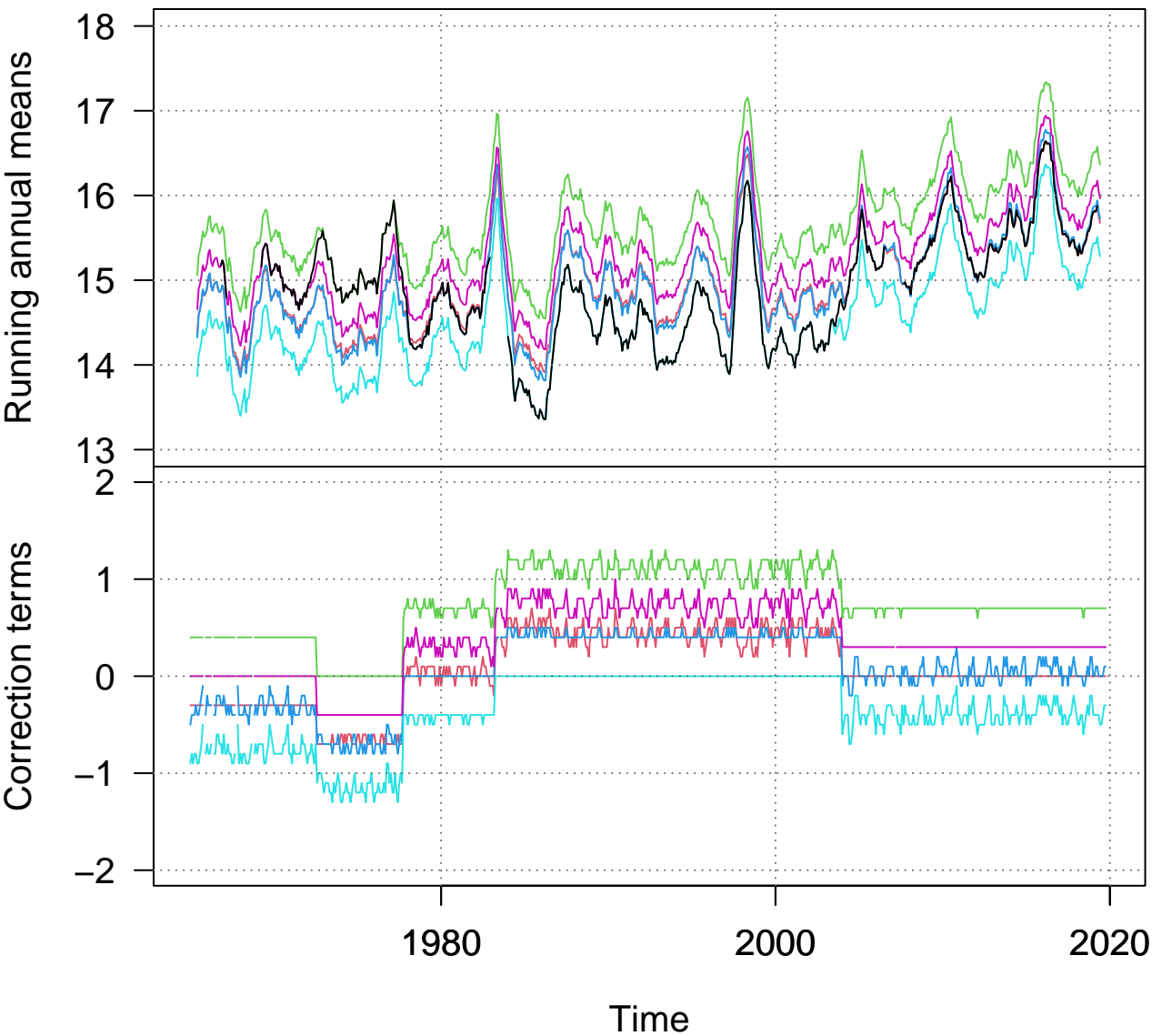
tmax-m 7 (ho00000786)

HUANCANE



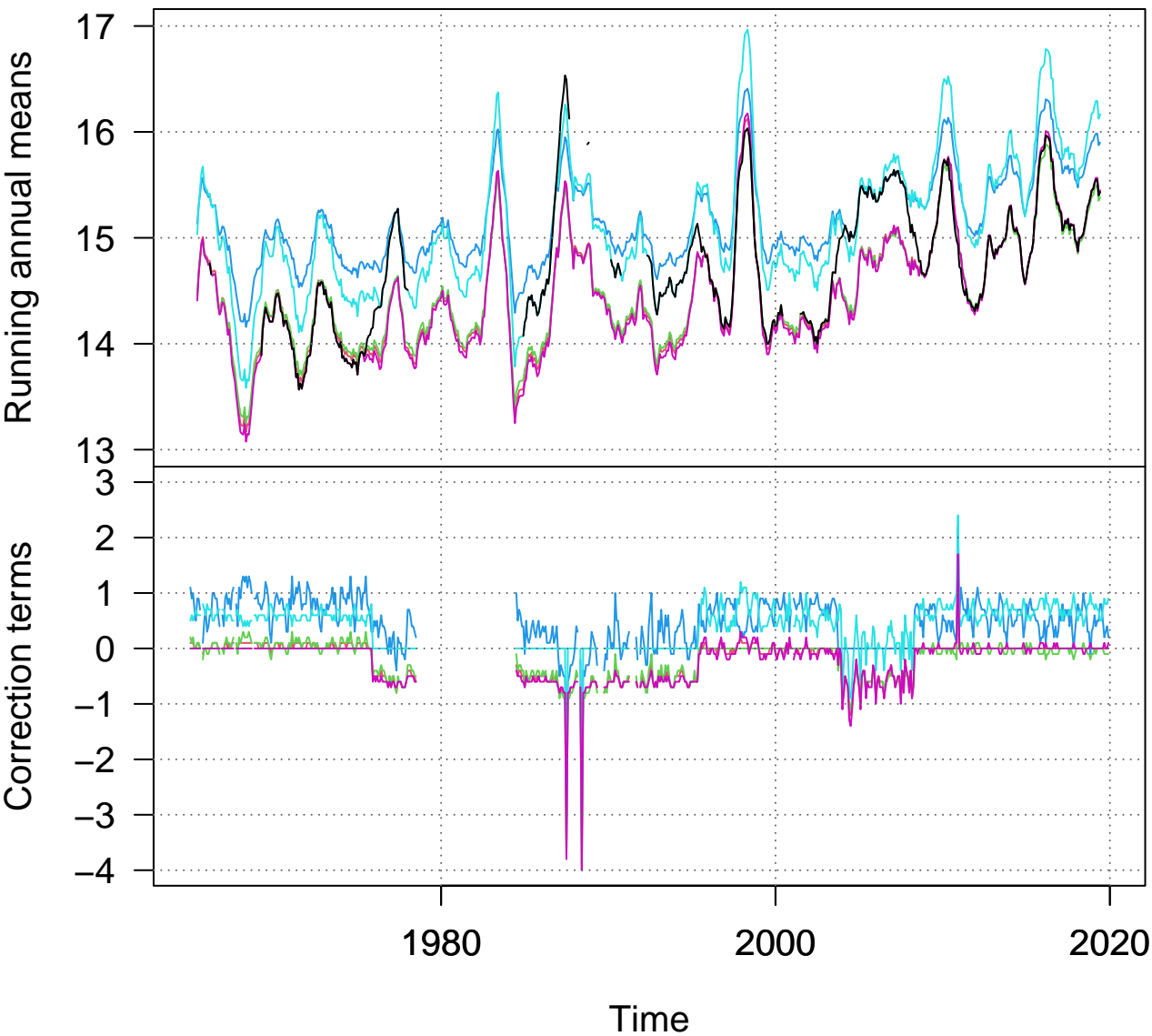
tmax-m 8 (ho00000787)

HUARAYAMOHO

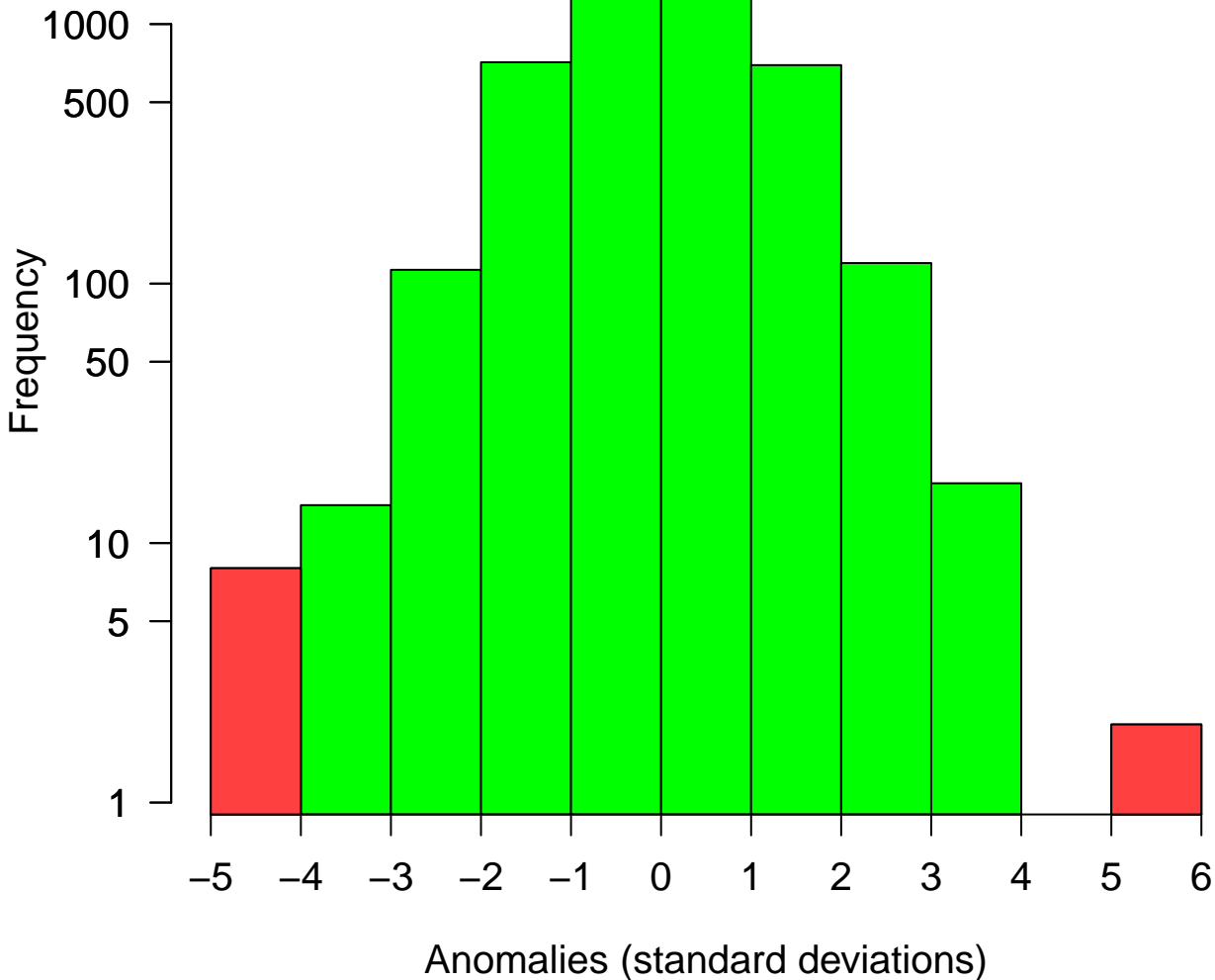


tmax-m 9 (ho00000788)

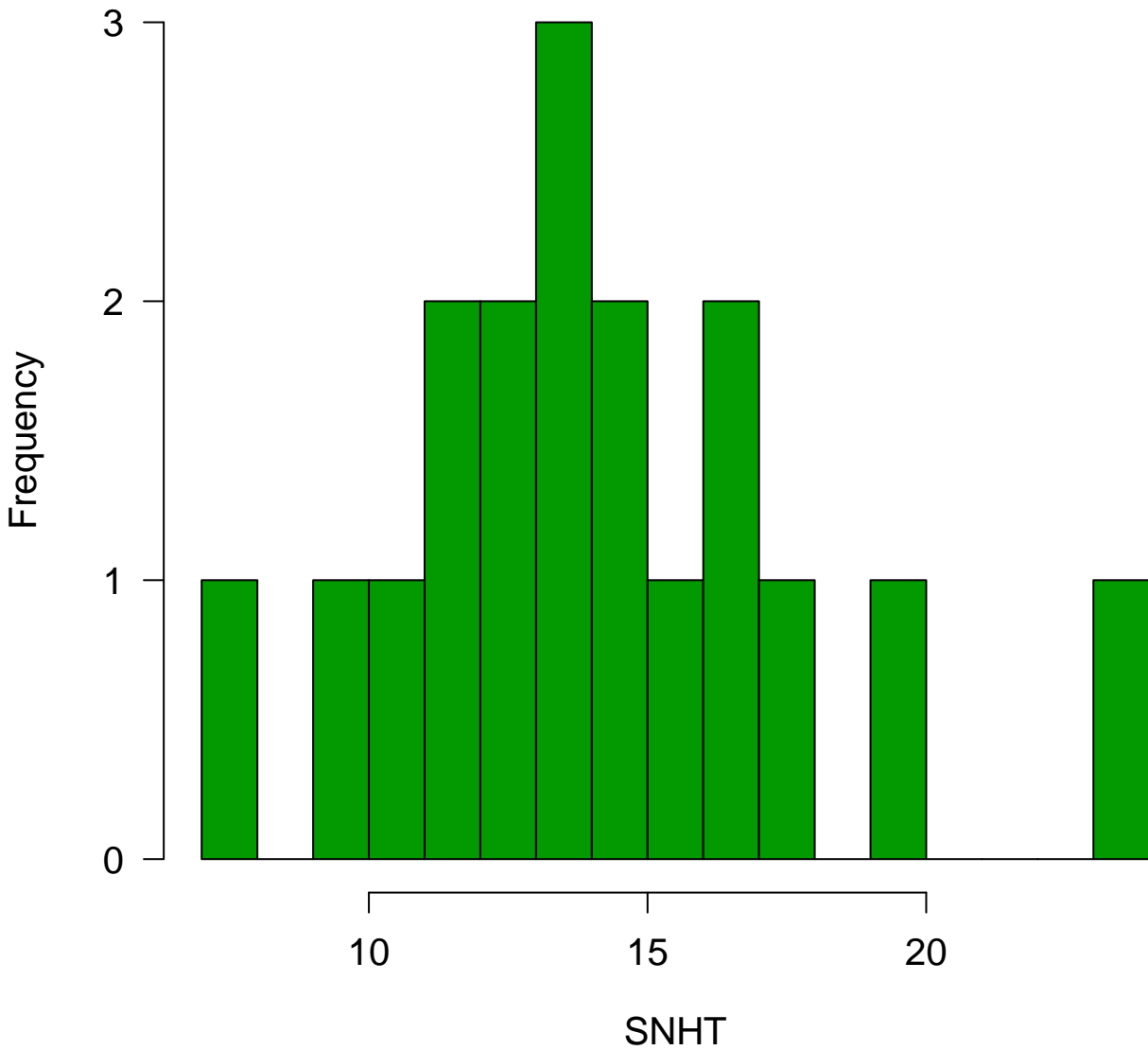
CAPACHICA



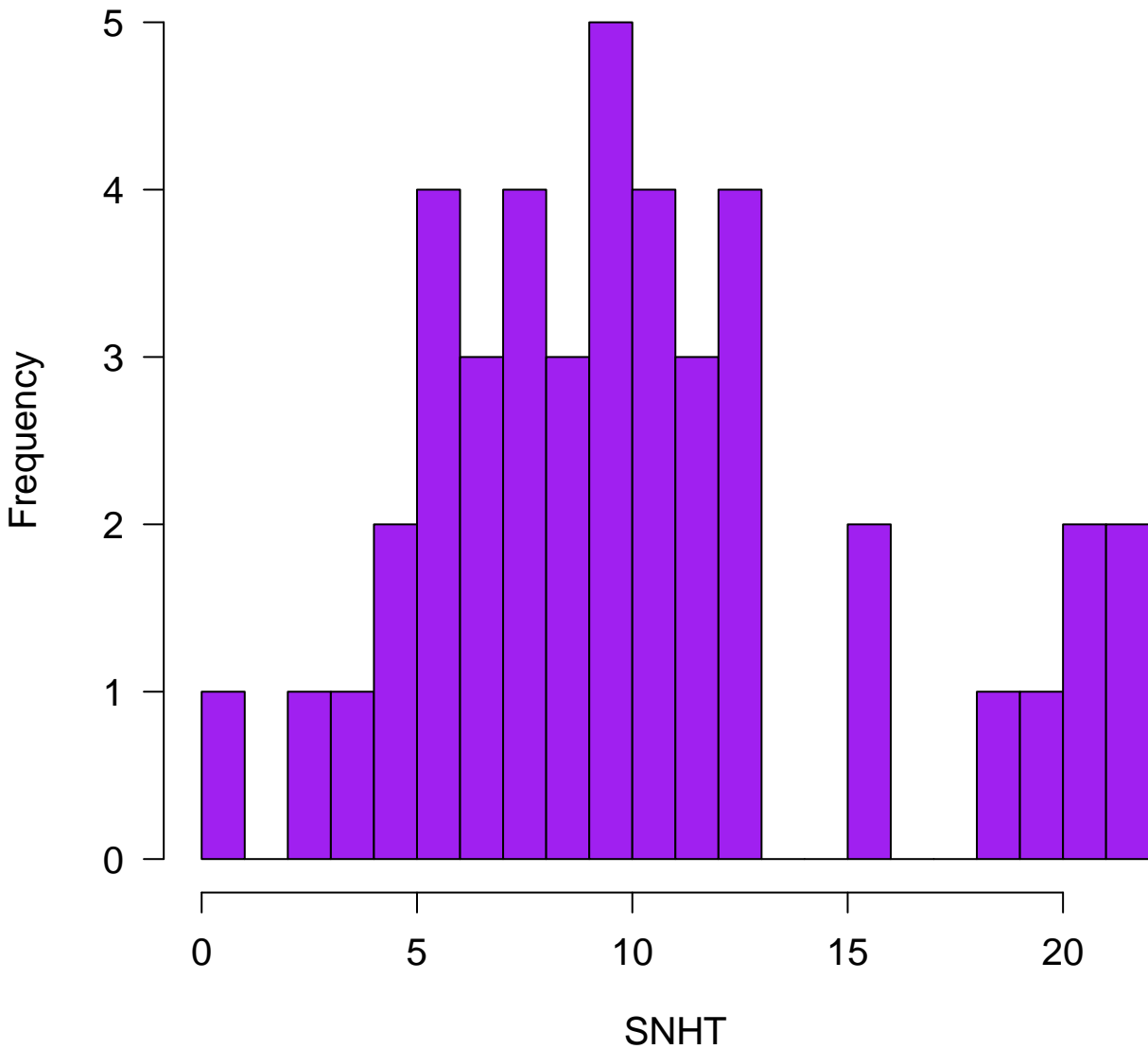
Histogram of standardized anomalies



Histogram of maximum windowed SNHT



Histogram of maximum global SNHT



Station's quality/singularity

